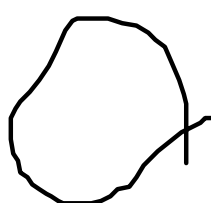


- 1. circuito lineare
- 2. microcontrollore



## Elettronica di Potenza

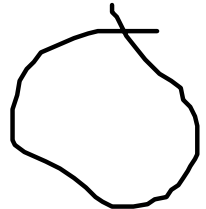
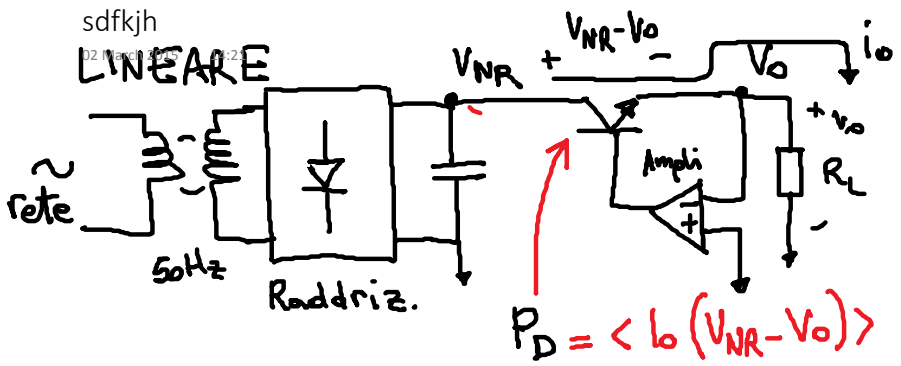
ha il compito di **PROCESSARE** e **CONTROLLARE**

il flusso di **ENERGIA ELETTRICA**

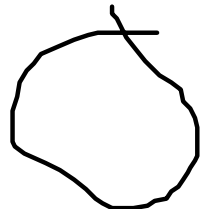
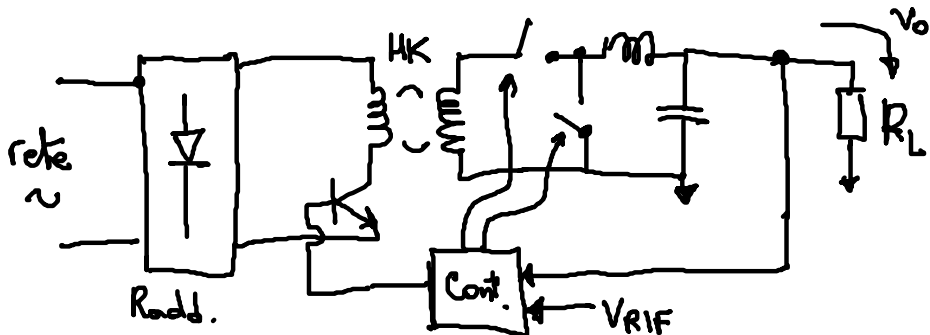
formando **TENSIONI** e **CORRENTI**

in **FORMA OTTIMIZZATA**

per il carico utente



## REGOLATORE SWITCHING



Criteri di merito per un sistema di elettronica di potenza  
02 March 2015 14:13

- CONSUMI
    - costo dell'energia
    - raffreddamento e ingombro
    - affidabilità
  - COSTO DEL SISTEMA
  - PESO E INGOMBRO
- Non utilizzare sistemi in funzionamento lineare

# Dispositivi Elettronici di Potenza

- GRADO DI CONTROLLABILITÀ

- 1) ON dipende dal circuito  
OFF dipende dal circuito → DIODI
- 2) ON segnale di controllo  
OFF dipende dal circuito → TIRISTORI  
[SCR Silicon Controlled Rectifier (1952)]
- 3) ON segnale di controllo  
OFF segnale di controllo → INTERRUTTORI CONTROLLABILI (CONTROLLED SWITCH)  
[MOSFET, BJT, GTO, MCT, IGBT (1982)]

Diodi\_e\_transistori Pagina 7

## Applicazioni tipiche

- DC Power Supply
- PLC
- UPS Uninterruptable Power Supply
- Controllo di processi industriali
- Trasporti
- Applicazioni per distribuzione energie elettrica
  - interconnessione solare ed eolico
  - linee HVDC
- Applicazioni Termoelettrica

# DIODO SENZA PUNCHTHROUGH

04 March 2015 09:10

- la zolla di svuotamento NON raggiunge la regione  $n^+$
- APPROX: tutto il pot. cade nella regione di deriva.

W spessore delle zone di svuotamento

$$E_{\max} = \frac{qN_D W}{\epsilon_0 \epsilon_r} \leftrightarrow \phi = \frac{1}{2} \frac{qN_D W^2}{\epsilon_0 \epsilon_r}$$

$$\boxed{\phi = \frac{1}{2} E_{\max} W} \rightarrow \text{al BREAK DOWN} \quad \boxed{V_{BD} = \frac{1}{2} E_{BD} W}$$

(W  $\leq d$ )

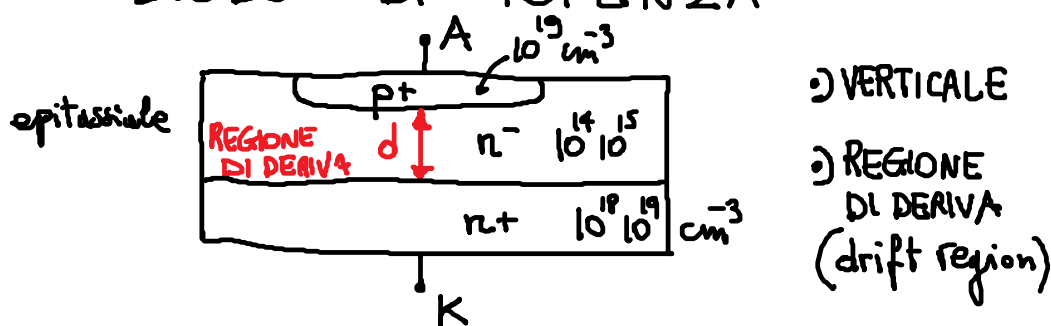
spessore della regione di deriva

(Si)  $E_{BD} = 2 \cdot 10^5 \text{ V/cm}$  Voglio una  $V_{BD} = 1000 \text{ V}$   
 $W = 100 \mu\text{m}$   $d \geq 100 \mu\text{m}$   $N_D = \frac{E_{\max} \cdot \epsilon_0 \cdot \epsilon_r}{qW} = 1,3 \cdot 10^{15} \text{ cm}^{-3}$

Diodi\_e\_transistori Pagina 10

04 March 2015 08:57

# DIODO DI POTENZA



Regione di deriva

• ALTA RESISTIVITÀ

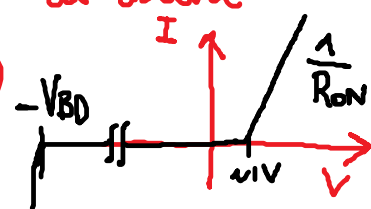
• tutta la V inversa  
cade sulla regione

Effetti

↳ Aumentare la  $V_{BD}$   
(Break Down)

↳ di deriva

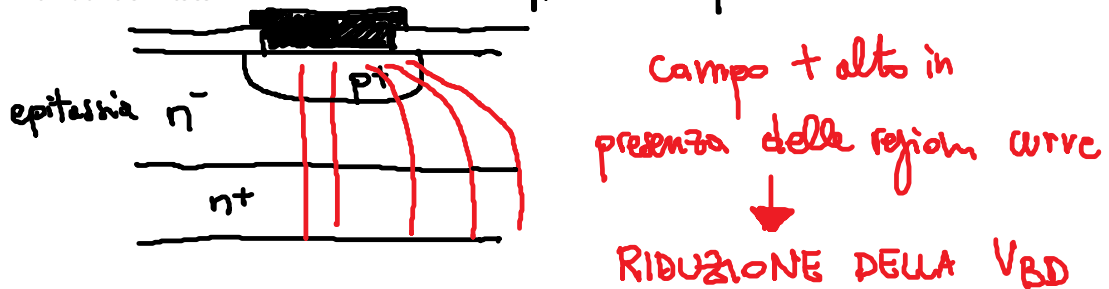
↳ Aumenta la  $R_{ON}$



Diodi\_e\_transistori Pagina 8

## CURVATURA della diffusione p<sup>+</sup>

04 March 2015 09:38



Campo + alto in  
presenza delle regioni curve

RIDUZIONE DELLA V<sub>BD</sub>

;) PER RIDURRE solo del 10% la V<sub>BD</sub> è necessario

$$R_{curvatura} > 6 \text{ W}$$

aumenterebbe troppo lo sponore delle regione

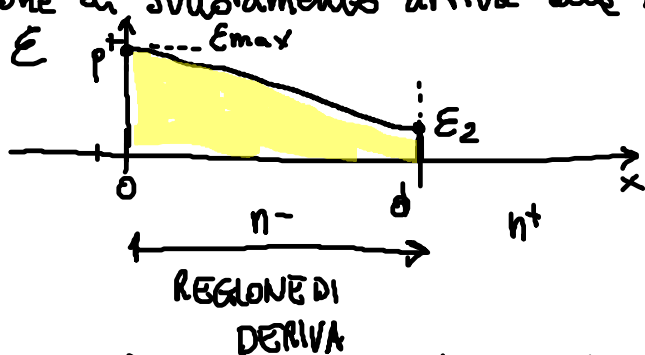
↪ si fa solo per base V<sub>BD</sub> (< 60V) =  
epitomiale  
altrimenti ↪ ELETTRIDI FLOTTANTI o  
ANELLI DI GUARDA

Diodi\_e\_transistori Pagina 12

## Diodi CON PUNCH THROUGH

04 March 2015 09:28

;) La regione di svuotamento arriva alle zone n<sup>+</sup>



$$\Phi = \frac{(E_{max} + E_2)d}{2}$$

$$\frac{dE}{dx} = -\frac{qN_D}{\epsilon_0 \epsilon_r}$$

;) Caso Limite ( $N_D \rightarrow 0 \rightarrow E_2 \approx E_{max}$ )

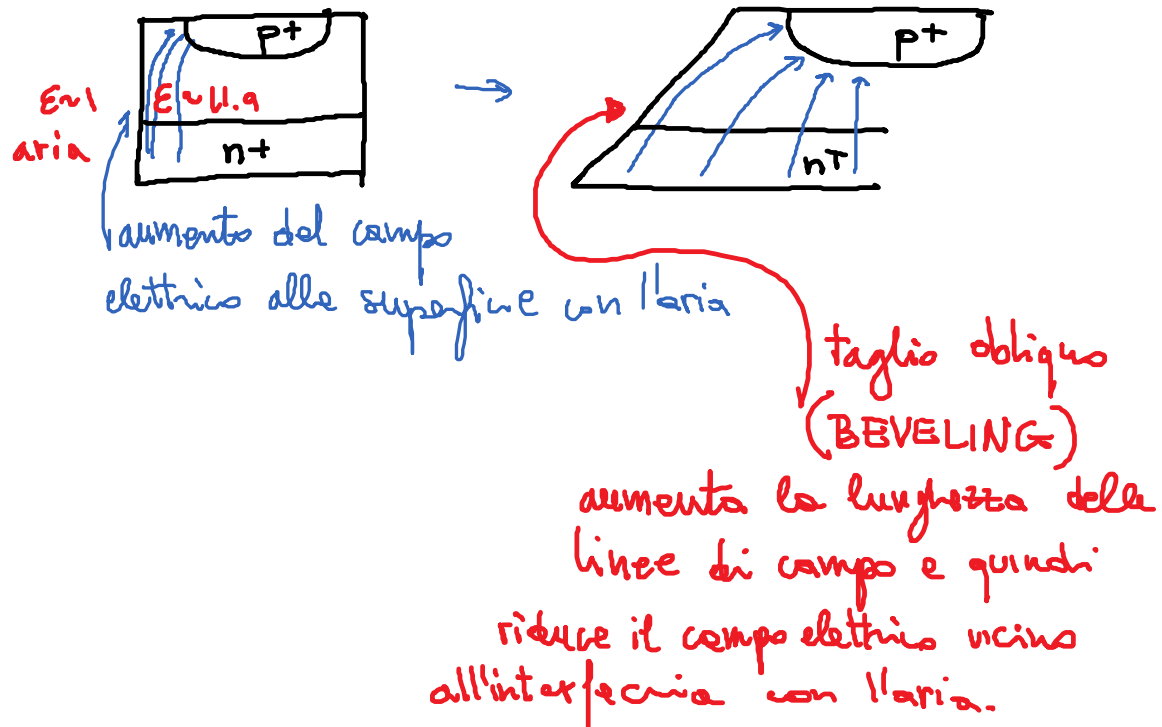
$$\Phi = E_{max}d \rightarrow al BREAK DOWN \cdot V_{BD} = E_{BD}d$$

A PARITA di d e E<sub>BD</sub> abbiamo V<sub>BD</sub> = 2x il voto precedente

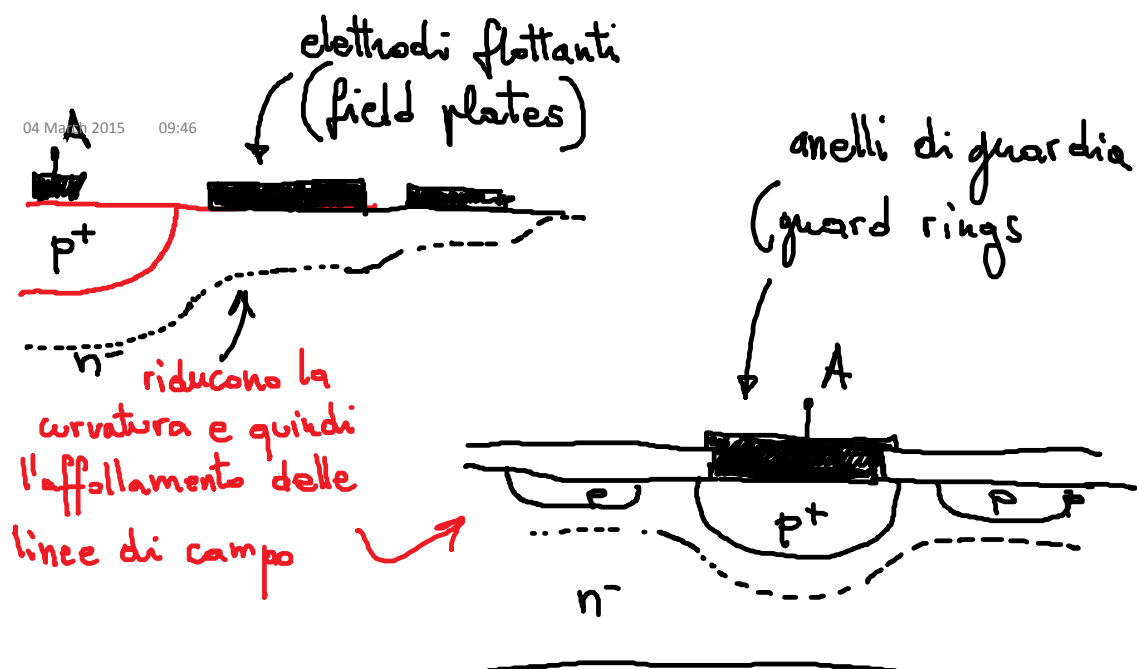
Diodi\_e\_transistori Pagina 11

# GESTIONE DELLA SUPERFICIE

04 March 2015 09:54



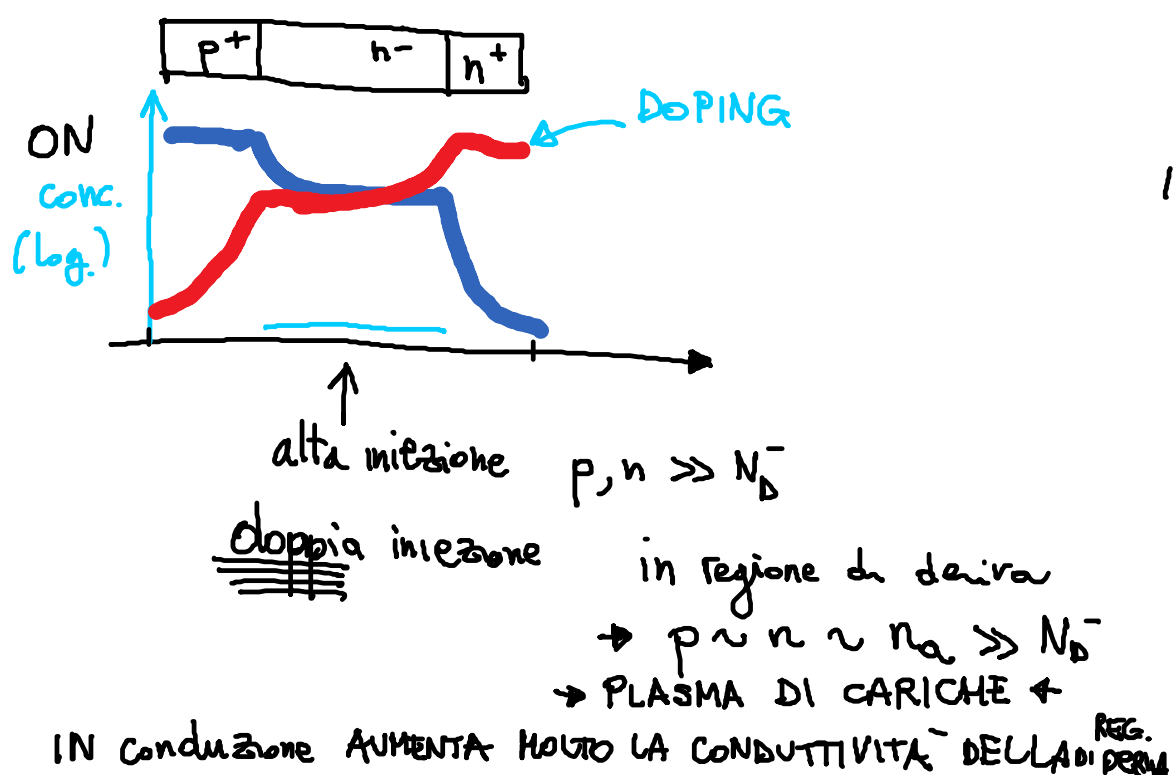
Diodi\_e\_transistori Pagina 14



Diodi\_e\_transistori Pagina 13

## MODULAZIONE DELLA CONDUTTIVITÀ

04 March 2015 09:59



# RECAP EFFETTO SPESSORE REGIONE DI DERIVA

04 March 2015 10:19

d

$$V_{BD} \propto d$$

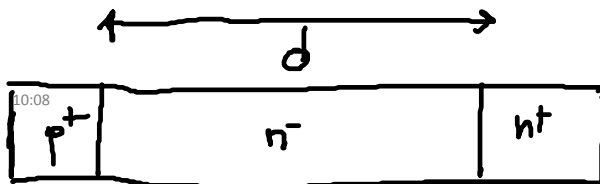
$$V_{ON} = V_d + V_J$$

$$\underline{V_d \propto d^2}$$

- $V_d \sim$  non dipende dal drogaggio  
per le modulazioni delle condutività

Diodi\_e\_transistori Pagina 18

04 March 2015 10:08



Caduta di tensione  
nella regione di  
deriva  $V_d$

corrente nella regione di deriva

corrente di deriva:

$$I = A q \mu_n n \left( \frac{V_d}{d} \right) + A q \mu_p p \left( \frac{V_d}{d} \right) =$$

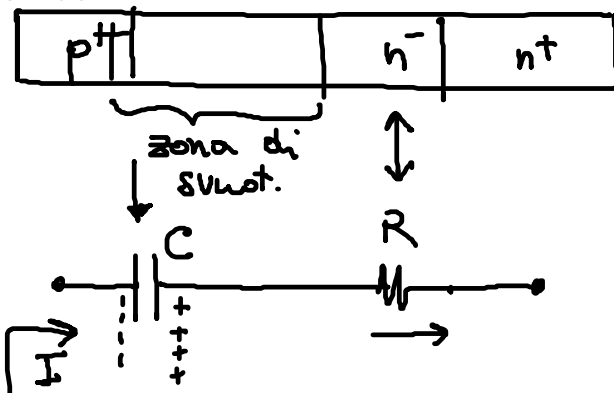
$$I = q (\mu_n + \mu_p) n_a \left( \frac{V_d}{d} \right) A \quad \begin{matrix} \text{NON DIPENDE DA } n_a \\ \downarrow \\ V_d \propto d^2 \end{matrix}$$

riconversione

$$I = \frac{Q}{\tau} = \frac{q n_a d A}{\tau} \Rightarrow V_d = \frac{d}{\tau (\mu_n + \mu_p)} \quad \begin{matrix} \uparrow \\ \text{(dipendenza da } n_a \text{)} \end{matrix}$$

## Accensione

04 March 2015 10:29



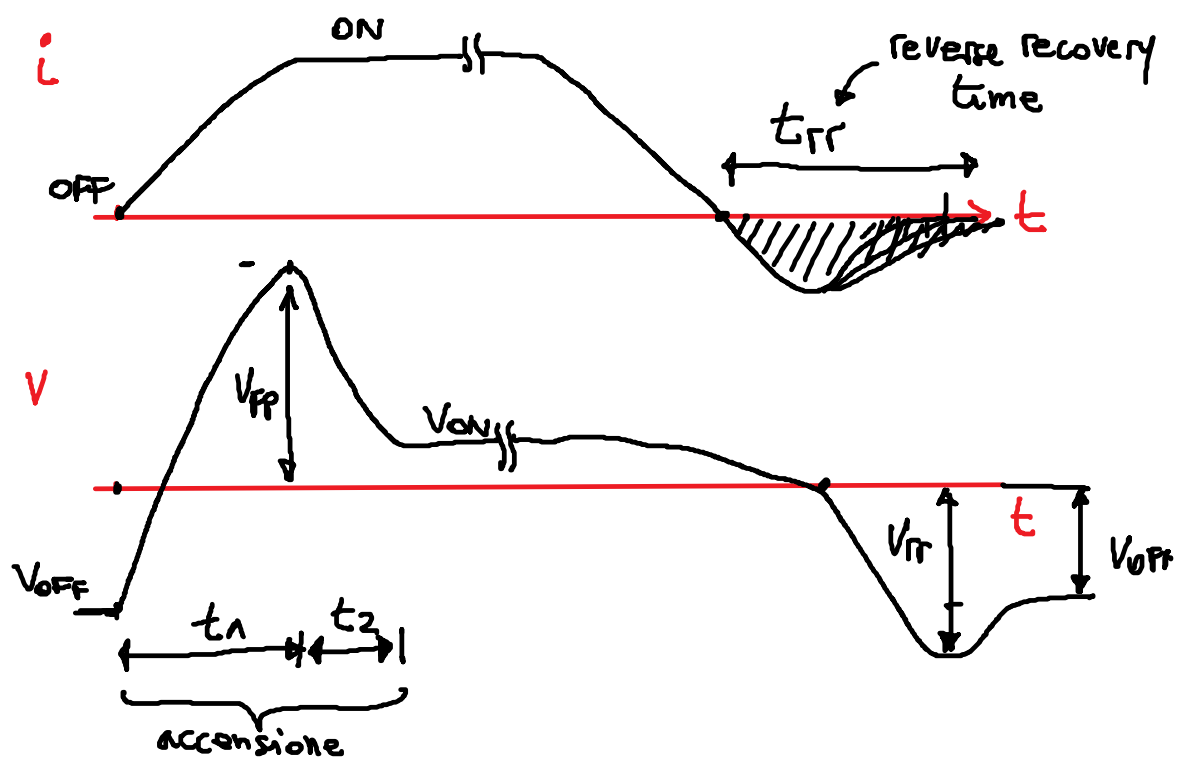
$t_1$  (ns) eliminazione delle zone di vuotamento  
alta resistività delle regioni di deriva

$t_2$  ( $\mu$ s) formazione del plasma  
riduzione della resistività delle regioni di deriva

Diodi\_e\_transistori Pagina 20

## COMMUTAZIONE (SWITCHING)

04 March 2015 10:23

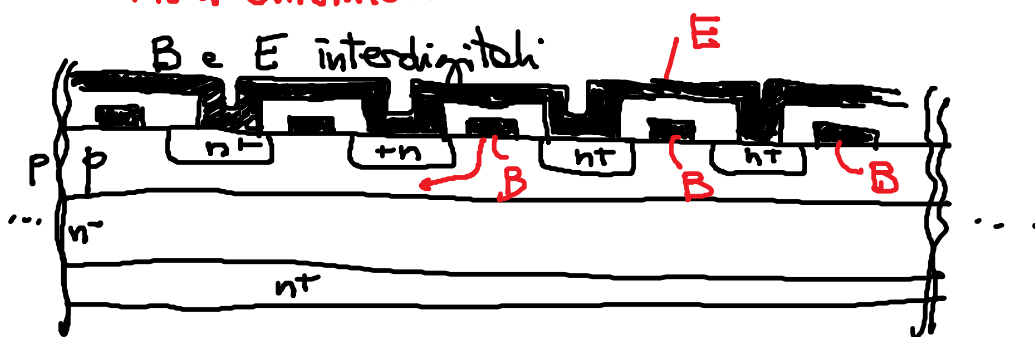


Diodi\_e\_transistori Pagina 19

## Geometria a

11 March 2015 09:14

### Mult. emettitori

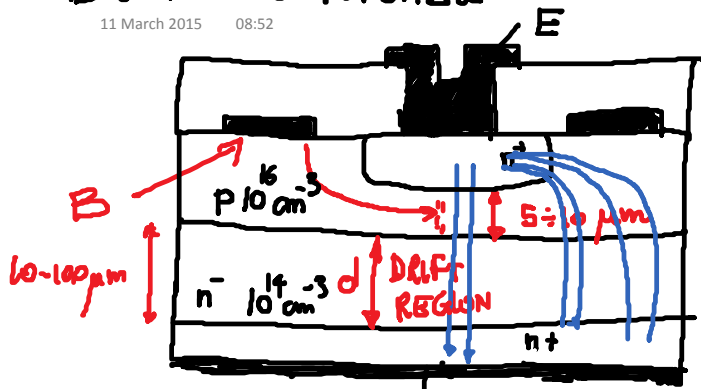


- ▷ Riduce la  $r_b$  del transistore
- ▷ Riduce il fenomeno di "CURRENT CROWDING"
  - ↳ Mitiga il rischio di FUGA TERMICA
  - ↳ evita luogo al BREAKDOWN SECONDARIO

Diodi\_e\_transistori Pagina 22

## BJT di Potenza

11 March 2015 08:52



$$n^+ \sim 10^{19} \text{ cm}^{-3}$$

STRUTTURA VERTICALE

- ▷ Alta sezione di conduzione

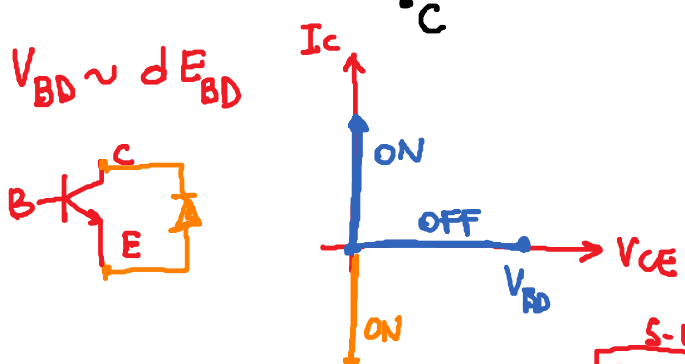
▷ Buona resistenza ferie

▷ Bassa resistenza termica

▷ SPESORE della base

5-10  $\mu\text{m}$  per evitare RONCHITRONG (REACH THROUH)

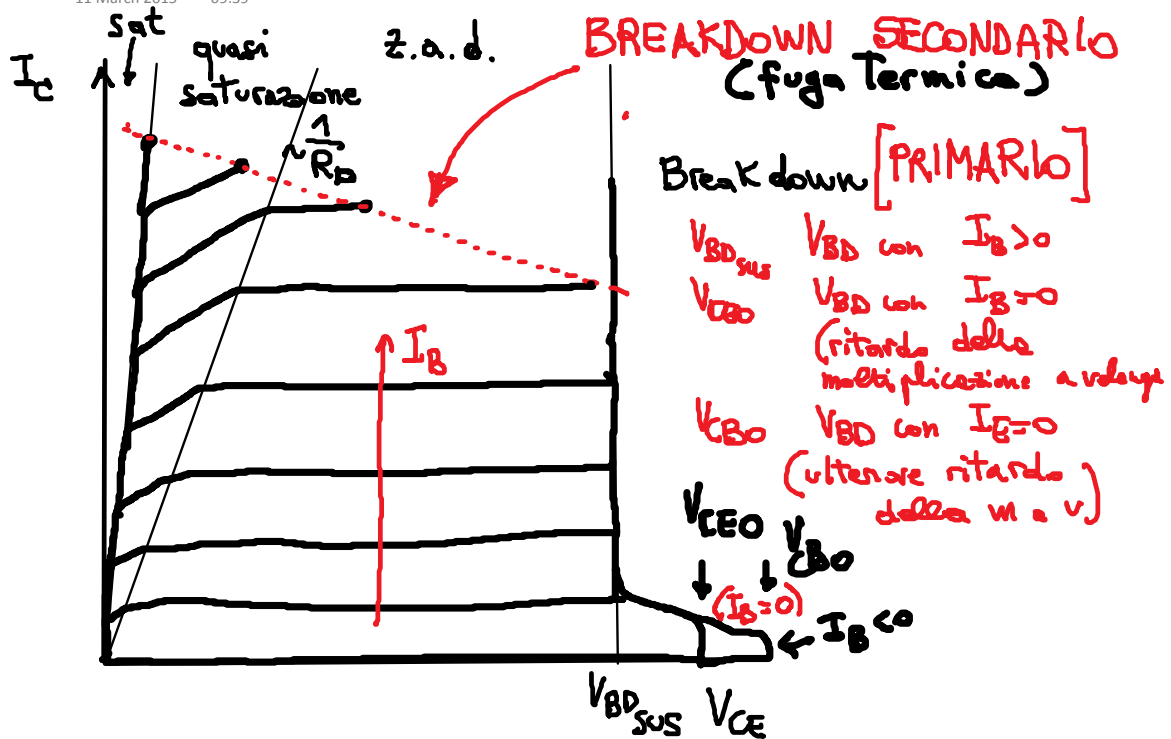
$$\rightarrow \boxed{\beta_F < 10}$$



Diodi\_e\_transistori Pagina 21

# Caratteristiche di Mscnta

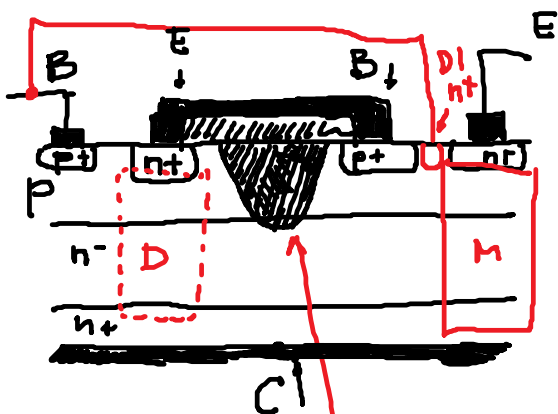
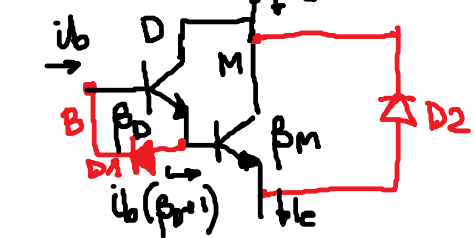
11 March 2015 09:39



Diodi\_e\_transistori Pagina 24

## BJT Darlington

11 March 2015 09:24

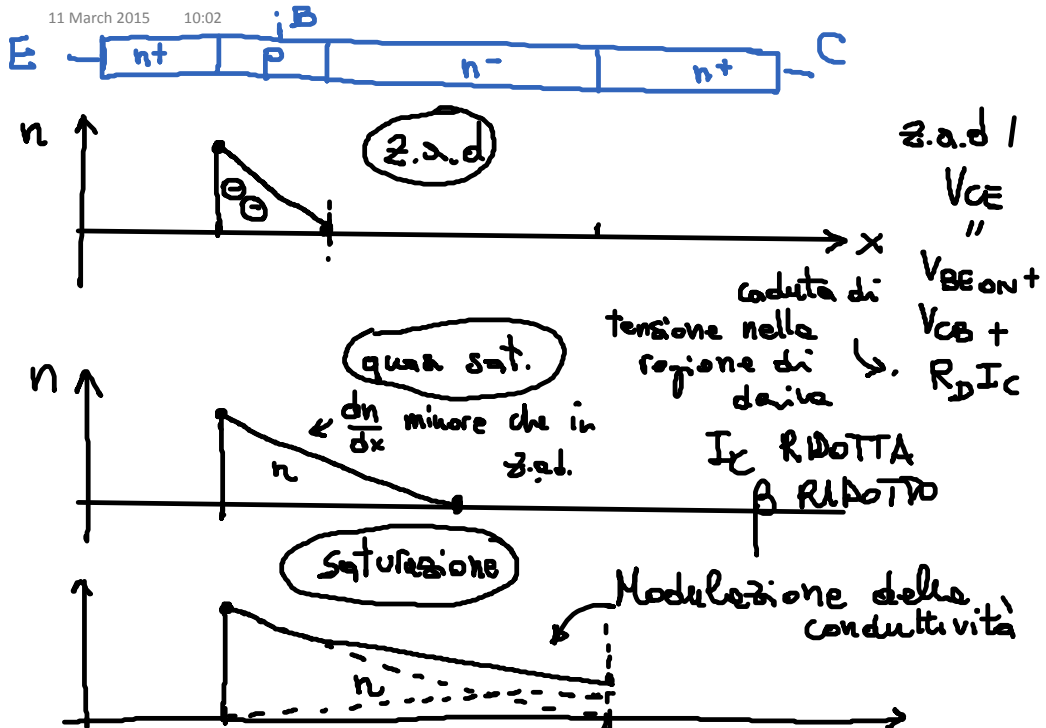


D1: Per applicare  $i_{b^{co}}$  al Master (ridurre il tempo di spegnimento di M)  
 D2: diodo di ricircolo

Diodi\_e\_transistori Pagina 23

## Quasi saturazione

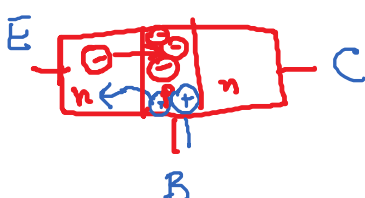
11 March 2015 10:02



Diodi\_e\_transistori Pagina 26

## Alta iniezione

11 March 2015 09:55

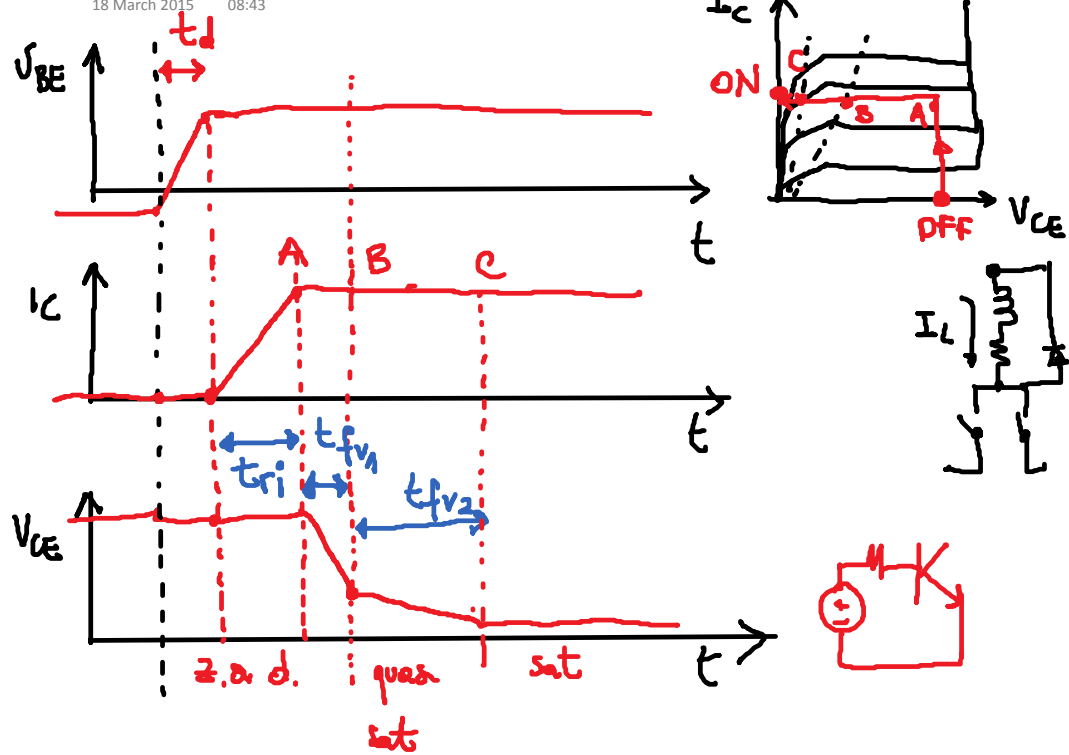


in alta iniezione la concentrazione di elettroni in base è così alta da causare l'aumento dell'iniezione di cariche dal contatto di base  
 ↳ aumenta le correnti di base e tr. base e emettore ( $I_B$ )

Diodi\_e\_transistori Pagina 25

# Transistorio di accensione

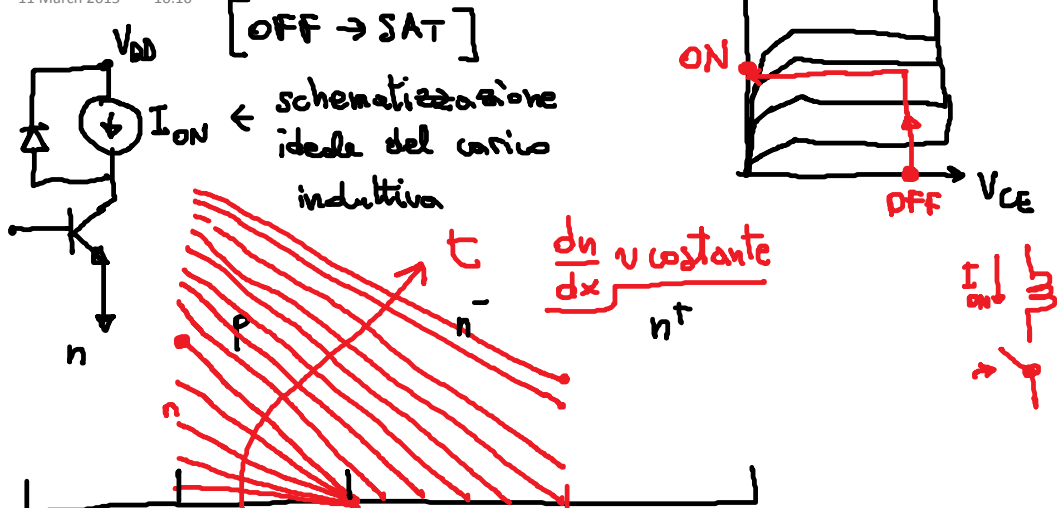
18 March 2015 08:43



Diodi\_e\_transistori Pagina 28

# Transistorio di accensione

11 March 2015 10:16

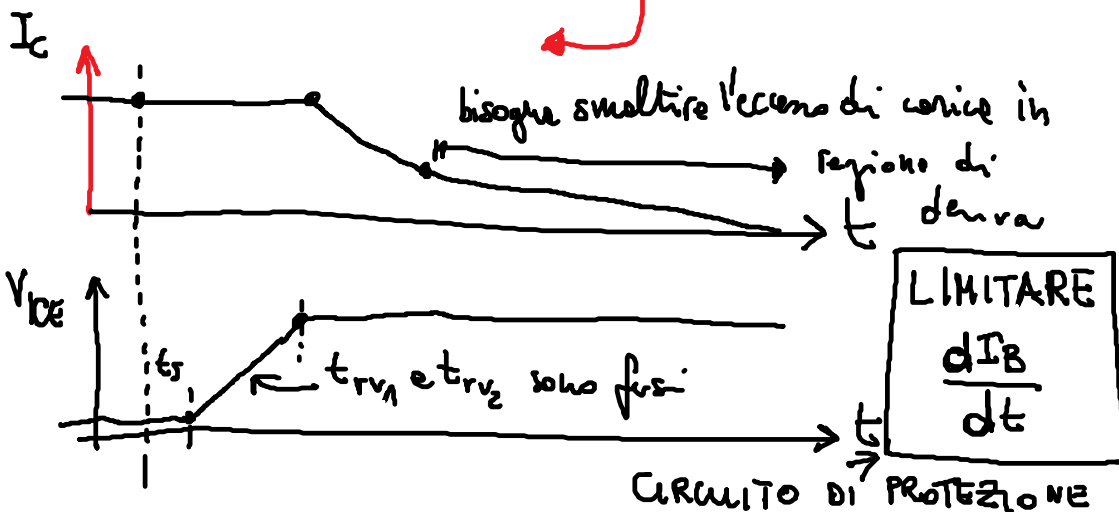


Diodi\_e\_transistori Pagina 27

# Spegnimento non controllato

18 March 2015 09:15

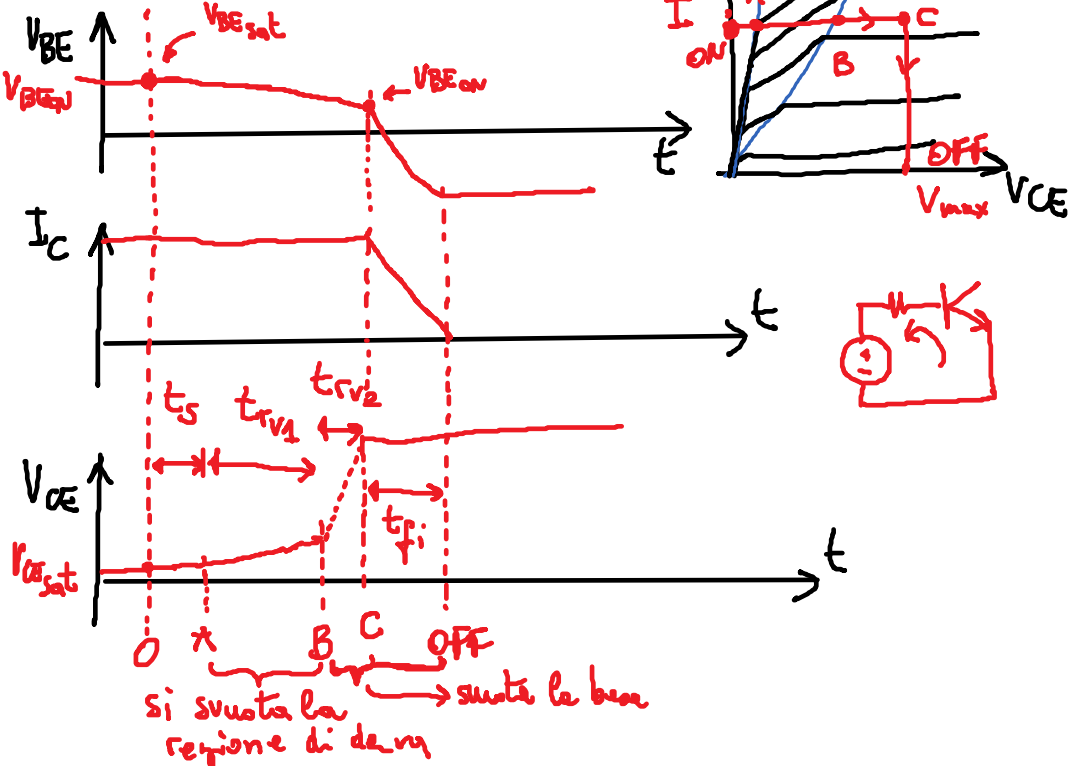
concentrazione di elettroni nella base estesa



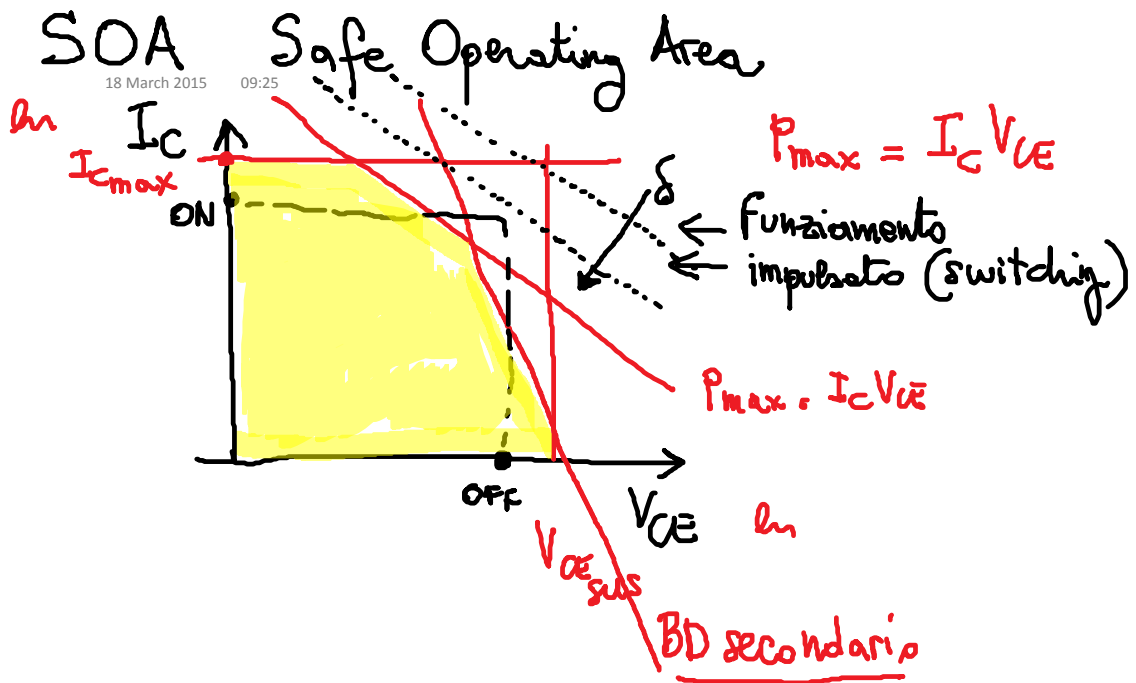
Diodi\_e\_transistori Pagina 30

# Transistorio di spegnimento

18 March 2015 09:00

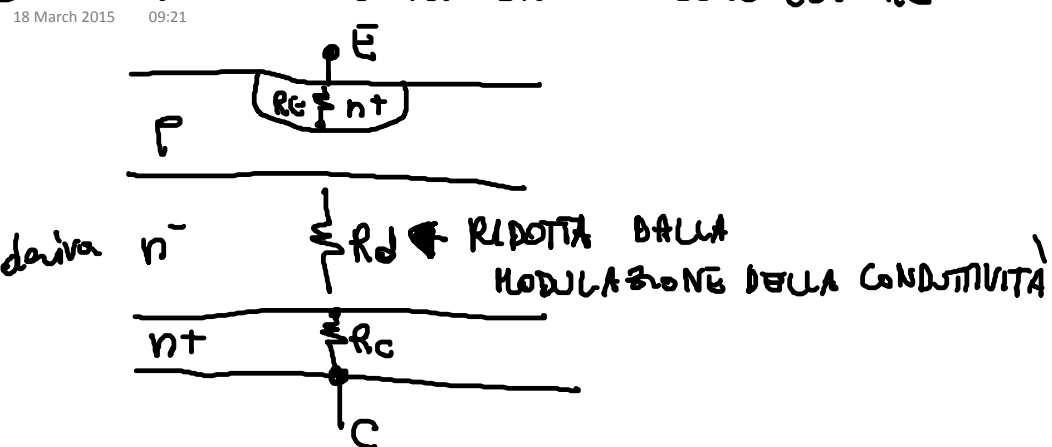


Diodi\_e\_transistori Pagina 29



Diodi\_e\_transistori Pagina 32

$V_{ON}$  caduta di tensione in conduzione



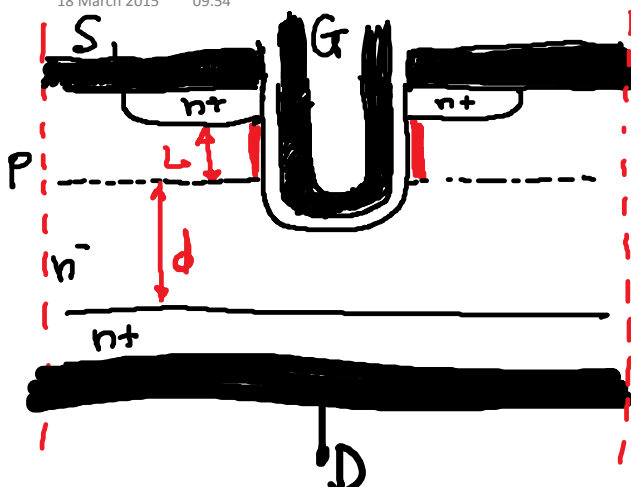
$$V_{ON} = V_{CE_{sat}} + (R_d + R_c + R_E) I_{ON} \sim 1 \text{ V}$$

$$\left[ V_{BE_{sat}} - V_{BC_{sat}} \right] \sim 0.1-0.2 \text{ V}$$

Diodi\_e\_transistori Pagina 31

## U MOSFET

18 March 2015 09:54

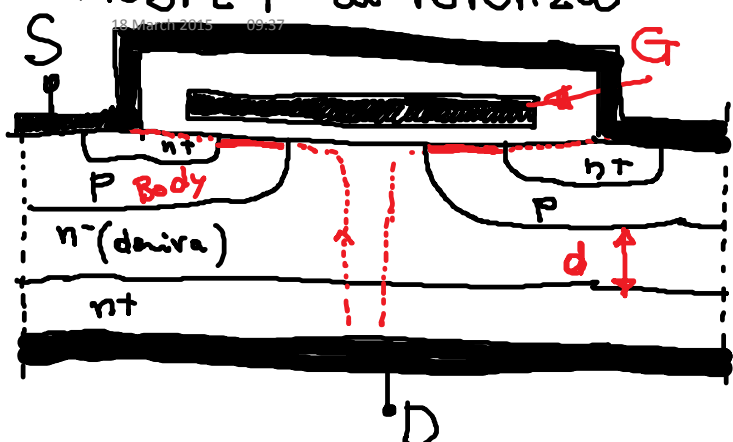


$$W_{\text{eff}} = W \cdot N$$

↑  
numero di  
celle in parallelo

Diodi\_e\_transistori Pagina 34

## MOSFET di Potenza



VD-MOSFET

80  
Vertically  
Diffused  
 $V_{BD} \approx d E_{\text{max}}$

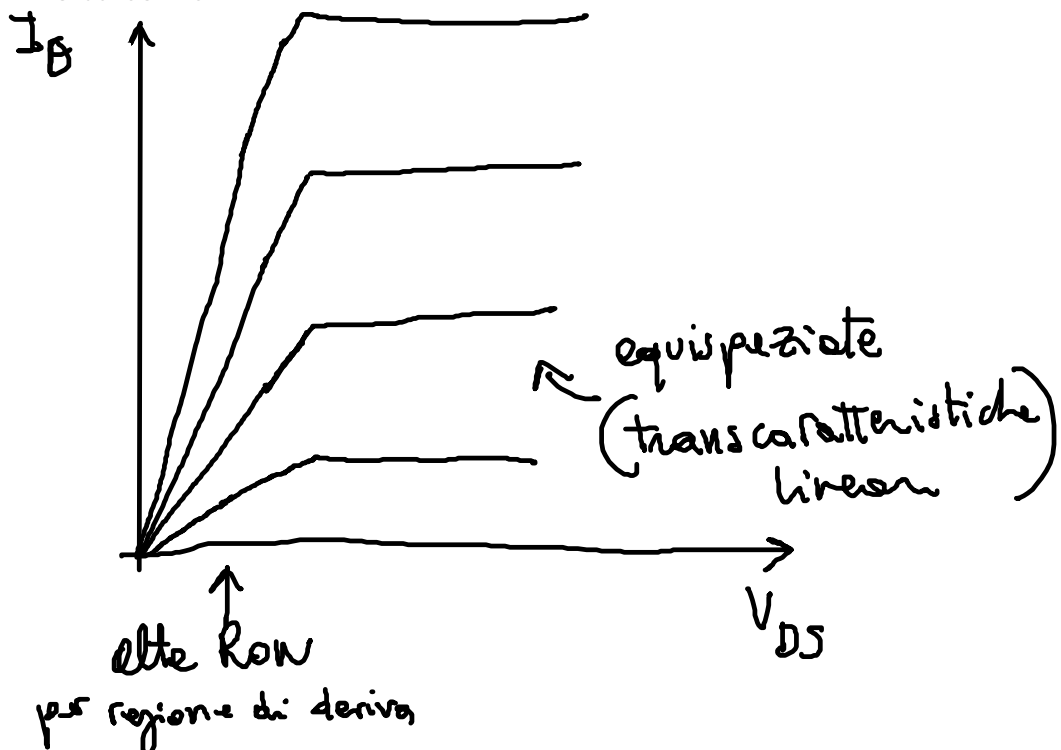
- Body è source in CC [per spegnere non parassita]
- Gate su regione di drain
  - in ON : Riduce resistenze serie
  - in OFF : fa da field plate

NON SI HA  
MODULAZIONE  
DELLA CONDUTTIVITÀ  
→ più veloce → alto RoN

Diodi\_e\_transistori Pagina 33

# Caratteristiche di uscita

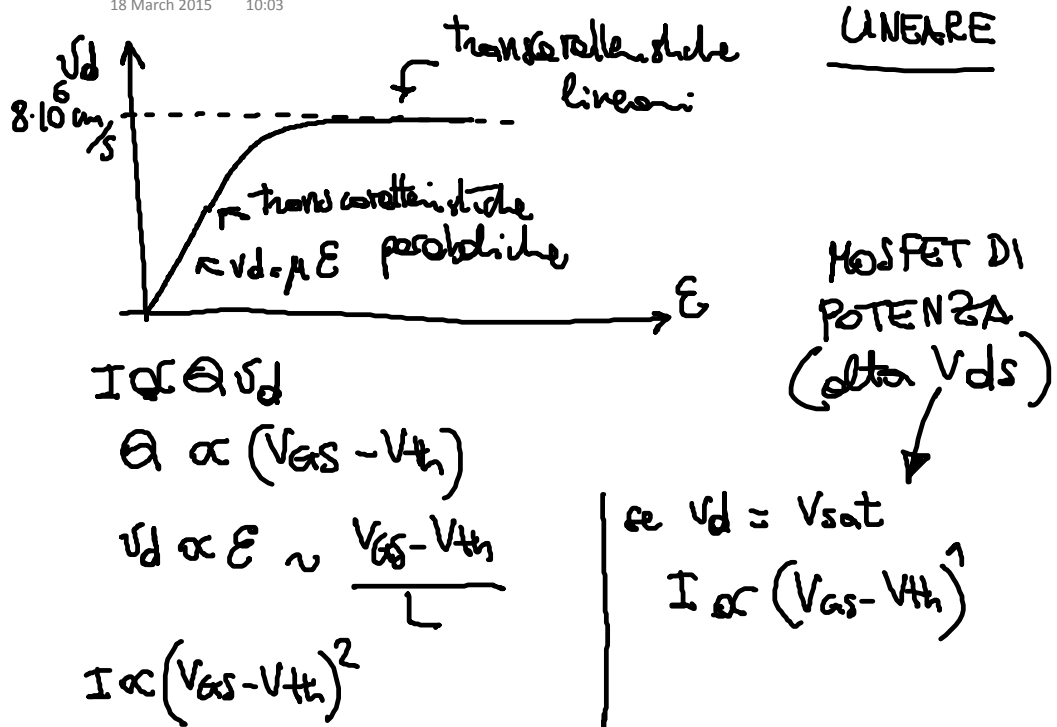
18 March 2015 10:12



Diodi\_e\_transistori Pagina 36

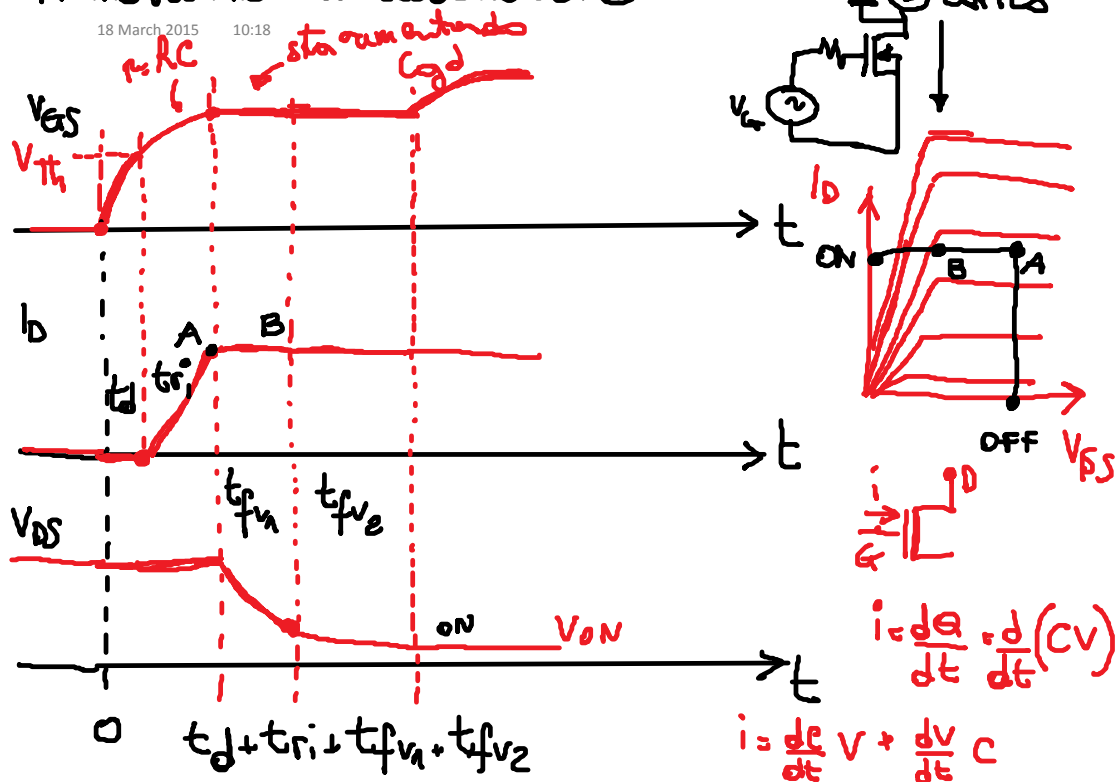
Saturazione delle velocità  $\rightarrow$  TRANSCARATTERISTICA

18 March 2015 10:03



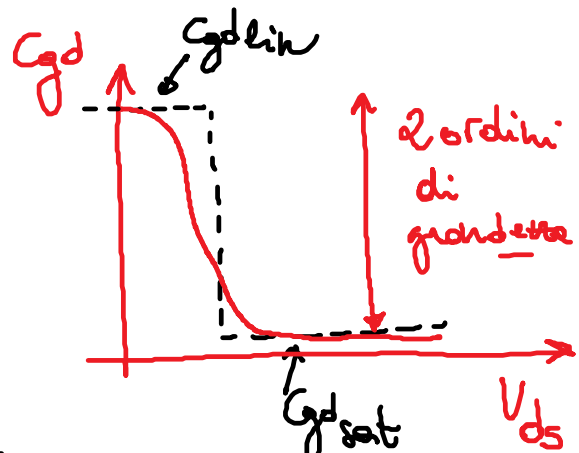
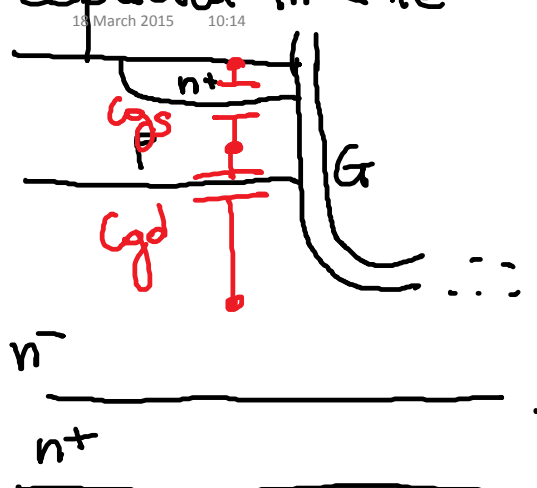
Diodi\_e\_transistori Pagina 35

## Transitorio di accensione



Diodi\_e\_transistori Pagina 38

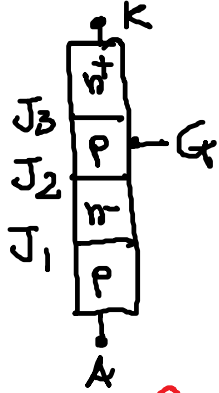
## Capacità interne



Diodi\_e\_transistori Pagina 37

# Tiristore ideale

25 March 2015 09:09

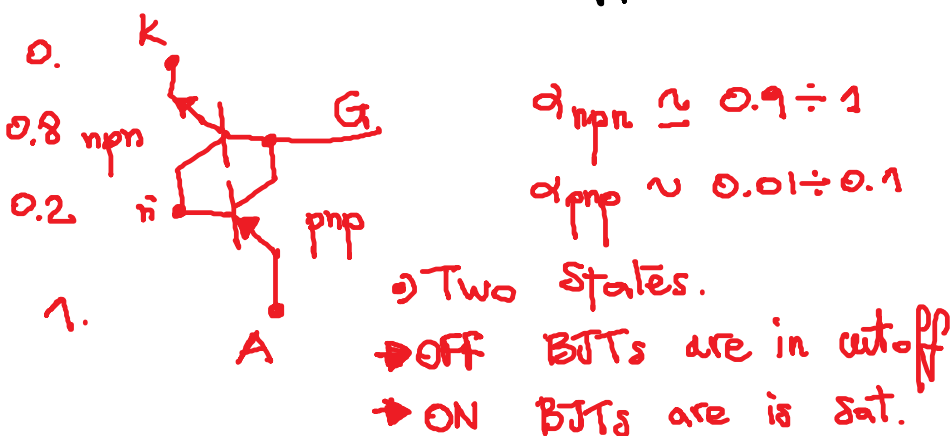


Forward Blocking

$V_{AK} > 0$   $J_2$  supports  $V_{AK}$

Reverse Blocking

$V_{AK} < 0$   $J_1$  supports  $V_{AK}$



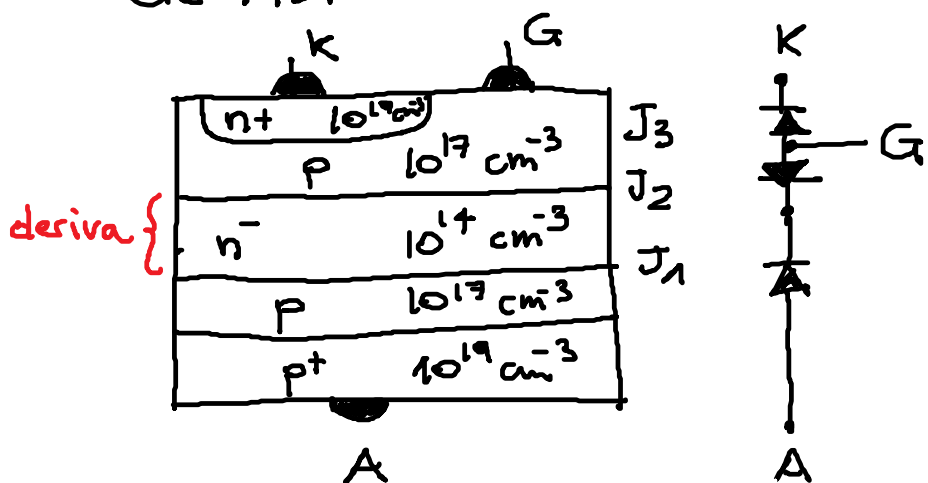
Tiristori Pagina 40

# Tiristori (Thyristor)

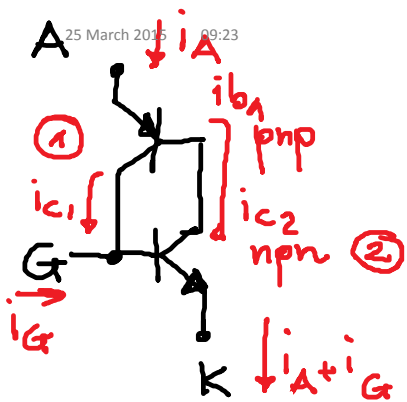
25 March 2015 09:01

SCR Silicon Controlled Rectifier

GE 1957



Tiristori Pagina 39



$$i_A = i_{C1} + i_{C2}$$

$$i_A = \alpha_{pnp} i_A - I_{CO1} + \alpha_{npo} (i_A + i_G) + I_{CO2}$$

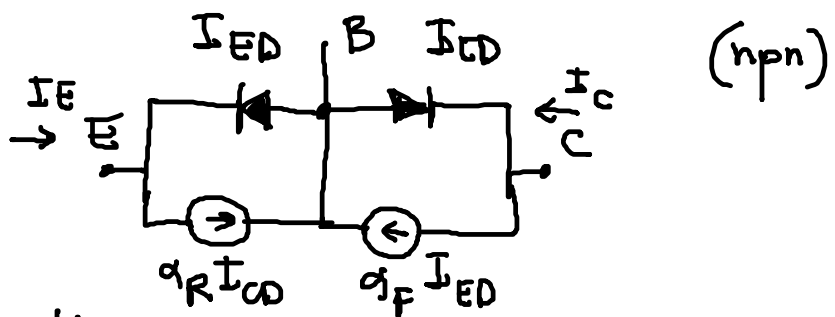
$$i_A = \frac{\alpha_{npo} i_A - I_{CO1} + I_{CO2}}{1 - (\alpha_{pnp} + \alpha_{npo})}$$

if  $(\alpha_{pnp} + \alpha_{npo}) < 1$  OFF  
 if  $(\alpha_{pnp} + \alpha_{npo}) = 1$  ON

Tiristori Pagina 42

## EBERS-MOLL MODEL of the BJT

25 March 2015 09:18



in the active zone:

$$I_{CD} = -I_{CS}$$

$$\cdot I_E = -I_{ED} - \alpha_R I_{CS}$$

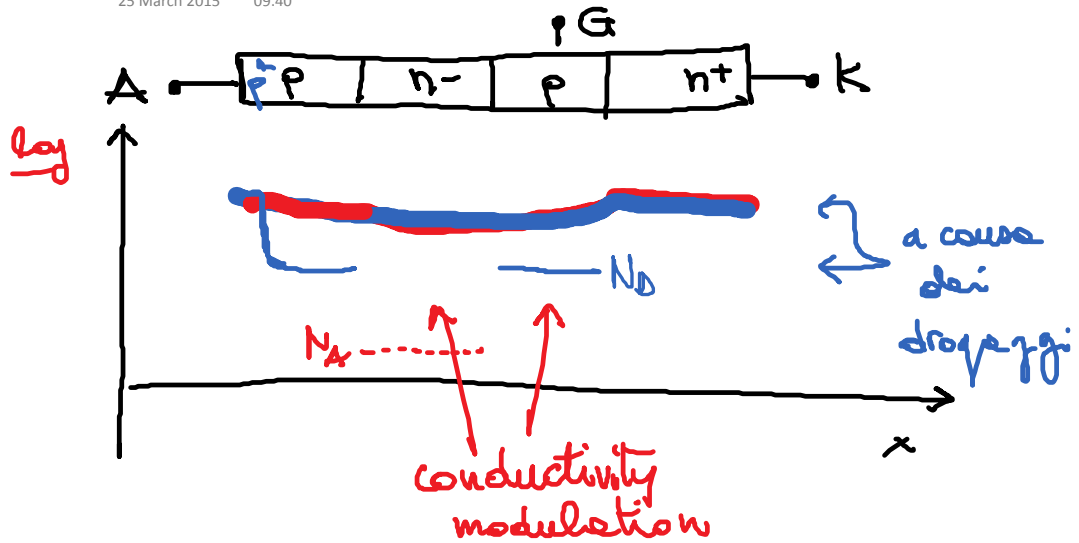
$$\cdot I_C = \alpha_F I_{ED} + I_{CS} = -\alpha_F I_E + I_{CS} (1 - \alpha_R \alpha_F)$$

$$I_C = -\alpha_F I_E + I_{CS}$$

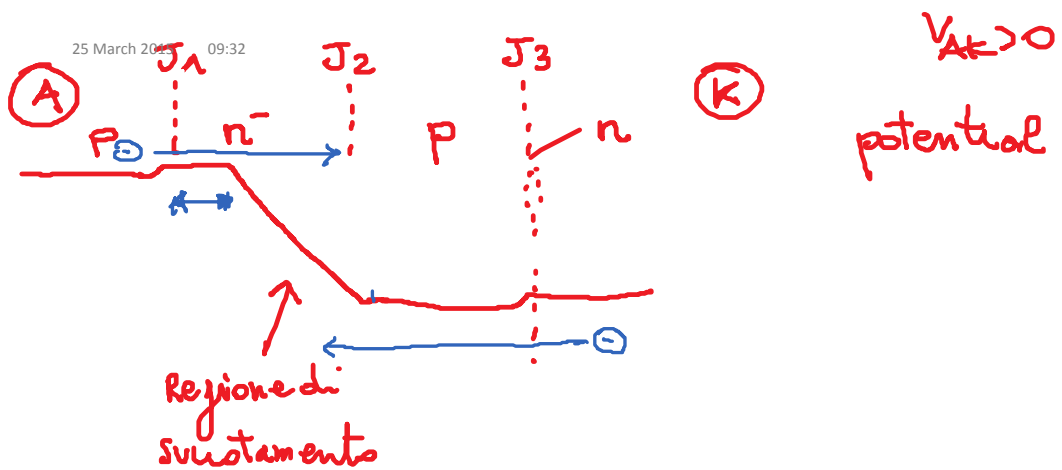
Tiristori Pagina 41

# ON STATE OPERATION

25 March 2015 09:40



Tiristori Pagina 45

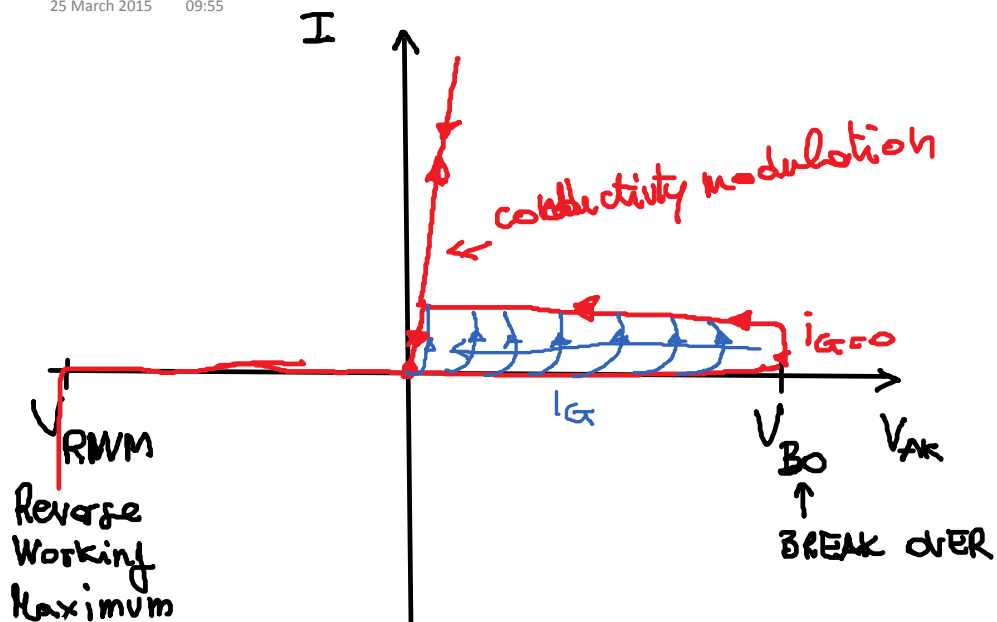


- When  $\underline{\underline{V_{AK}} \uparrow}$ , the effective base of the pnp shrinks  
 $\sigma_{pnp} \uparrow \rightarrow ON \uparrow$
- When  $\underline{\underline{I_G \uparrow}}$ ,  $\sigma_{pnp} \uparrow \rightarrow ON \uparrow$

Tiristori Pagina 44

# DC characteristics

25 March 2015 09:55

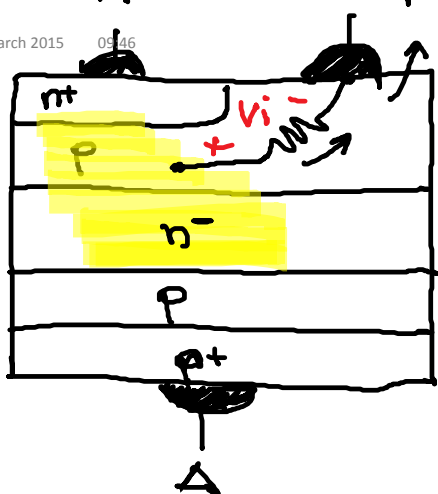


$$V_{RHM} \approx V_{BO} \text{ (or d drift region)}$$

Tiristori Pagina 47

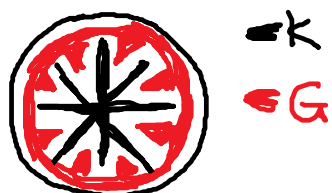
25 March 2015 09:46

K Turn off G



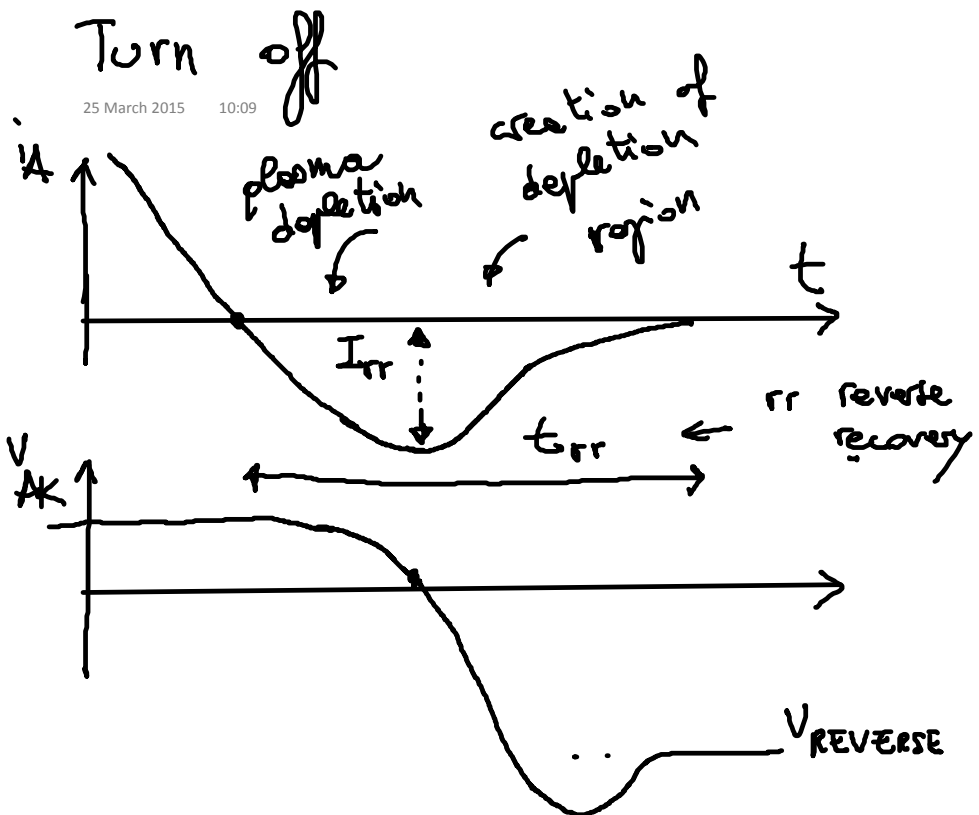
$i_G < 0$   
cannot deplete  
the p and n regions.  
—  
Too high voltage drop  $V_G$

SCR is turned off  
with  $V_{AK} \approx$

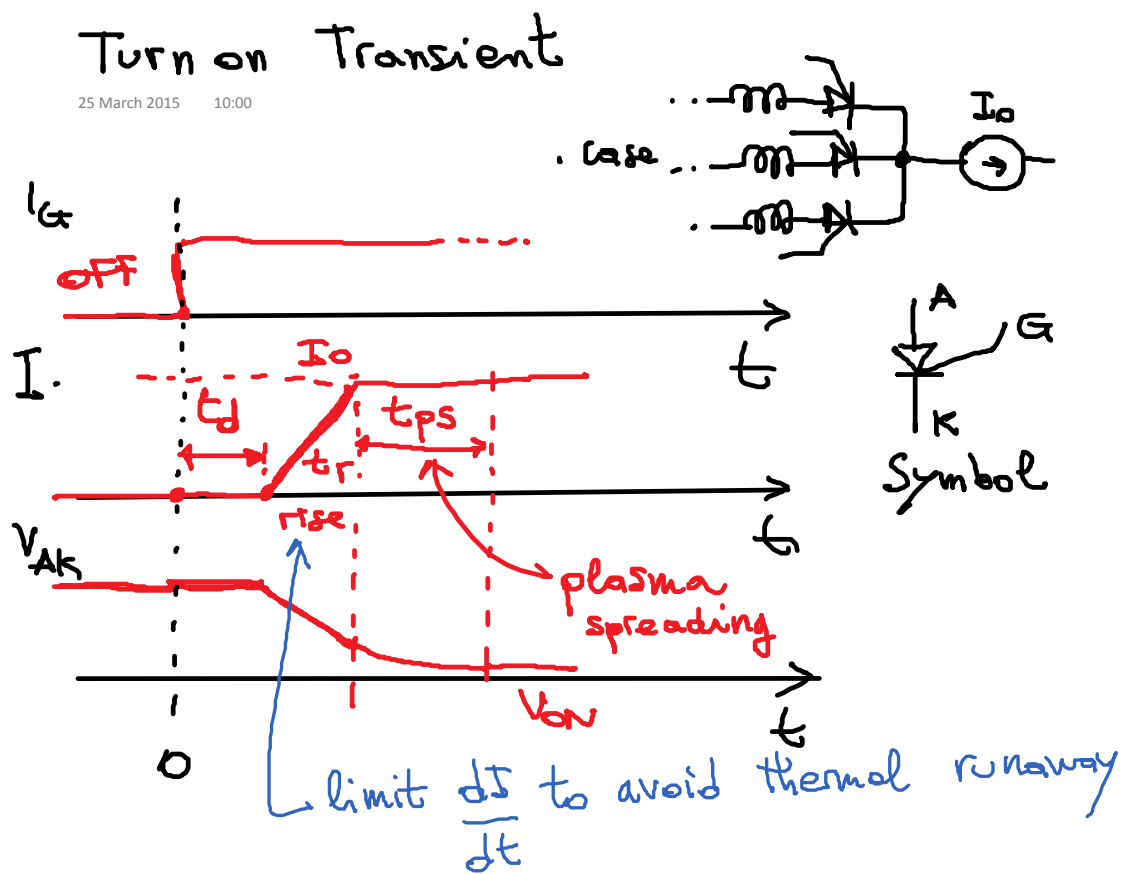


Interdigitated cathode

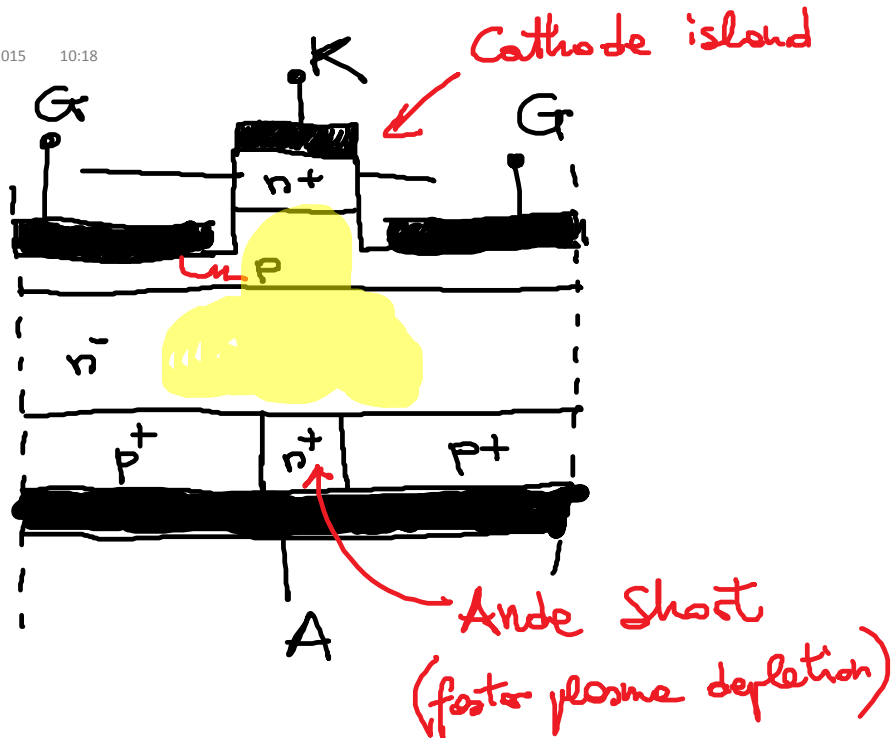
Tiristori Pagina 46



Tiristori Pagina 49



Tiristori Pagina 48



Tiristori Pagina 51

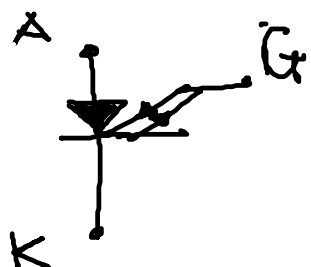
## GTO Thyristor

25 March 2015 10:15

↑  
Gate TurnOff

turnoff :  $i_{GCO}$

- ⇒ 1. Highly interdigitated structure (1K cell)
- 2. Cathode islands
- 3. Anode short

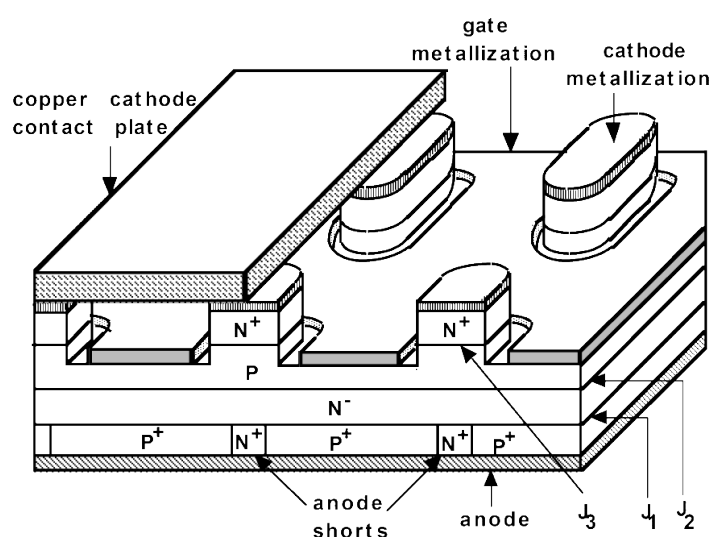


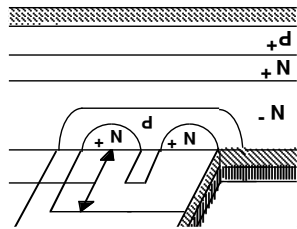
Tiristori Pagina 50

				MOSFET with added junction between D and G to introduce conductance modulation
		LOW V <sub>ON</sub>	SLOW Turn Off	
			(conductance modulation)	
		HIGH V <sub>ON</sub>	Fast Turn Off	(no conductance modulation)
	CON	PRO	MOSFET	BJT

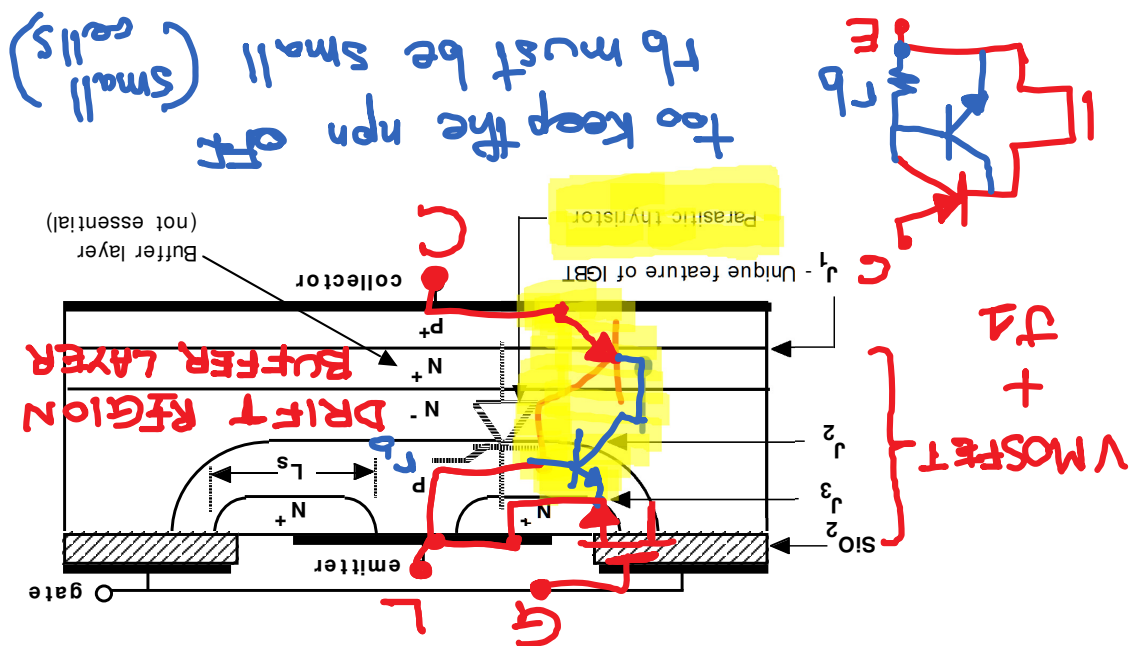
## Insulated-Gate Bipolar Transistor

### IGBT





## Insulated-Gate Bipolar Transistor IGBT



IGBT

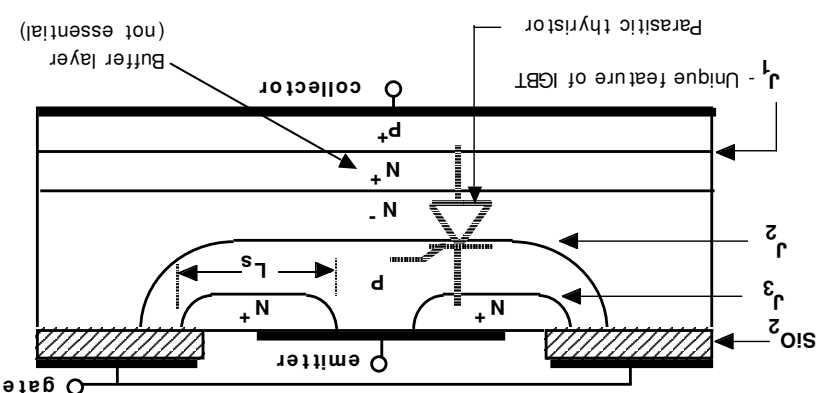
## Symmetric IGBT (non punchthrough IGBT)

- If buffer layer is not present  $\Rightarrow V_{RB} = V_{BD}$

## Asymmetric IGBT (punchthrough IGBT)

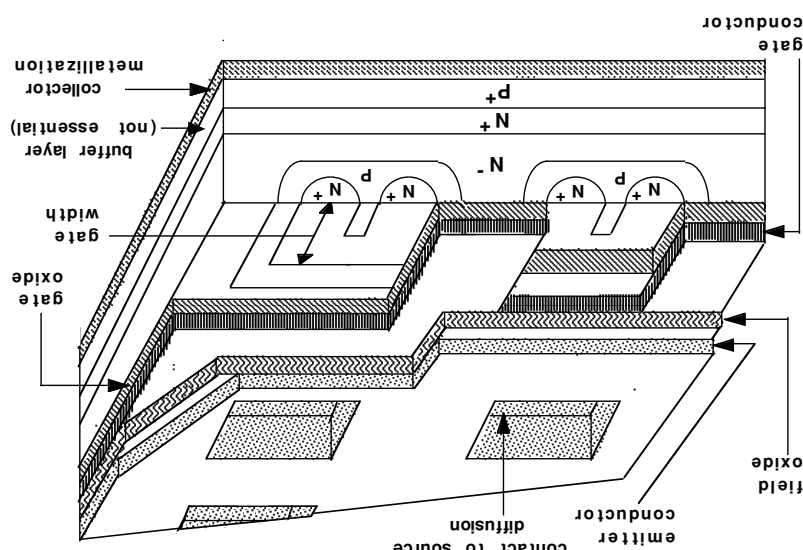
- If buffer layer is present  $\Rightarrow V_{RB}$  only 10-20 V

The buffer layer allows punchthrough:



MOSFET is OFF  
If  $V_{CE} > 0$   
 $V_{CE}$  is sustained by J<sub>2</sub>  
If  $V_{CE} < 0$   
 $V_{CE}$  is sustained by J<sub>1</sub>  
and J<sub>3</sub>

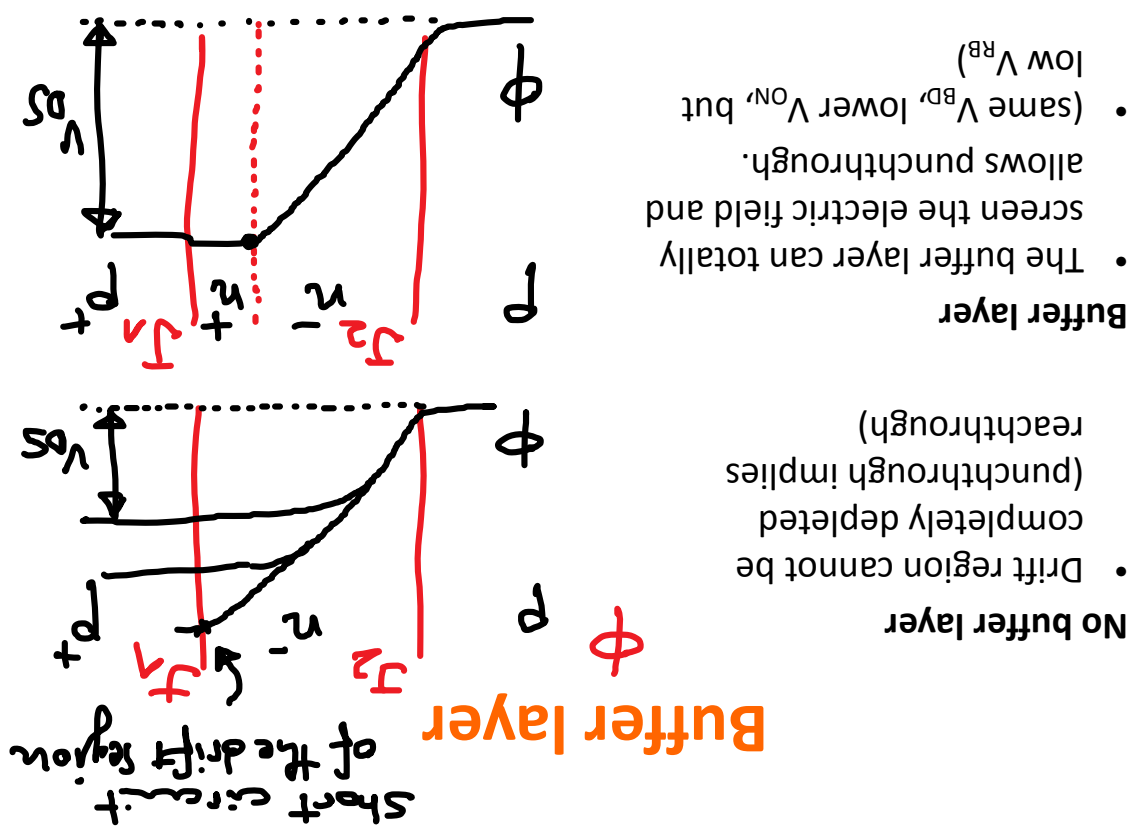
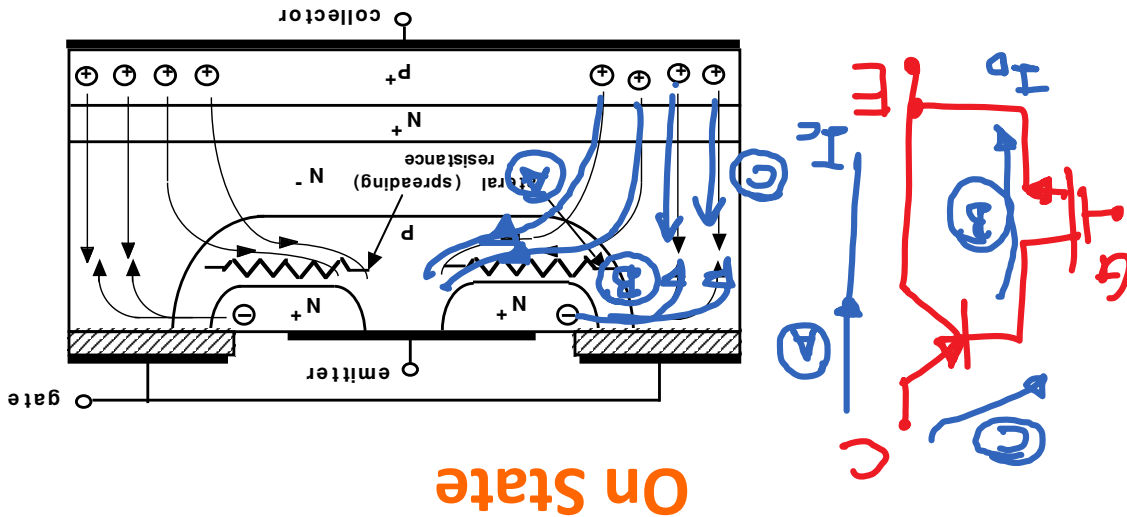
## Blocking state

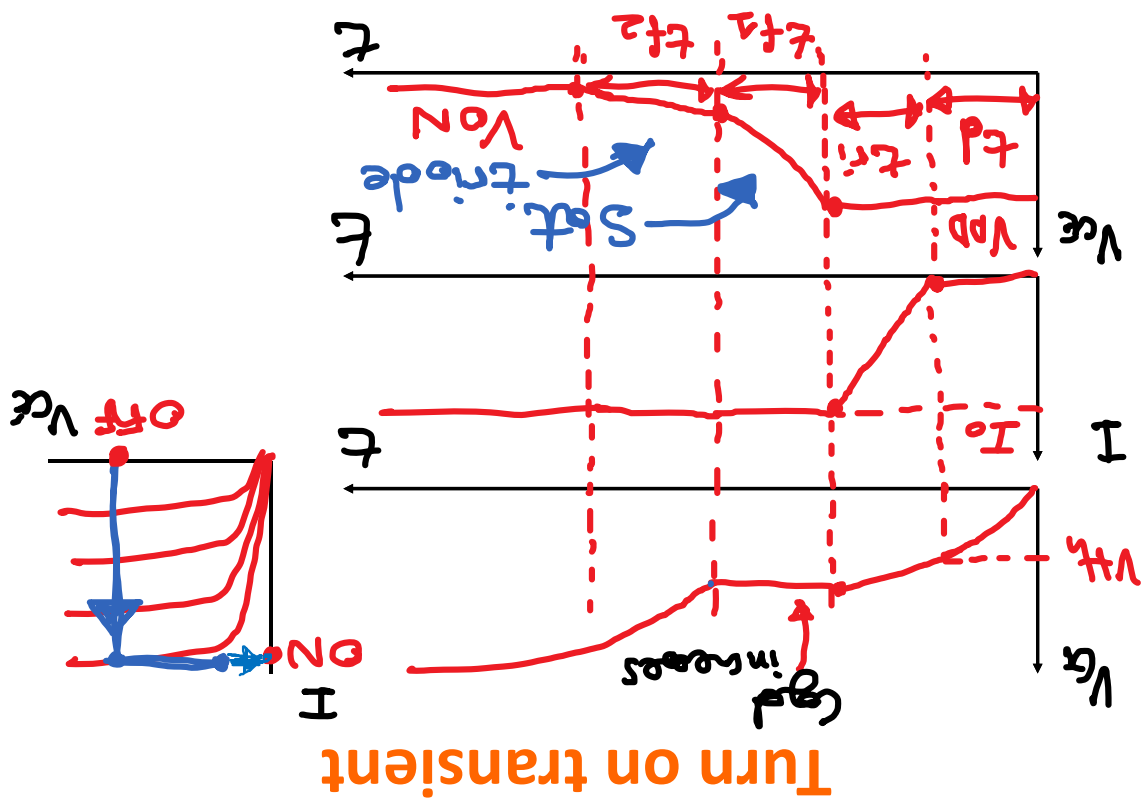


## Insulated-Gate Bipolar Transistor

### IGBT

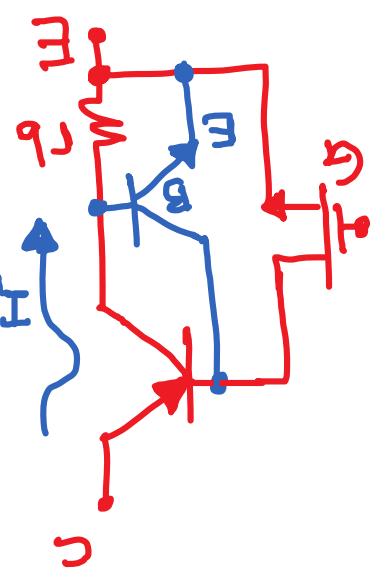
- $V_{ON} = V_{J1} + R_{ON}I = 1 \div 2 V < V_{ON}$  of a MOSFET
- Lower  $V_{ON}$  than the MOSFET because "C" component causes conductivity modulation in the drift region.
- Typically  $I_D > I_C$





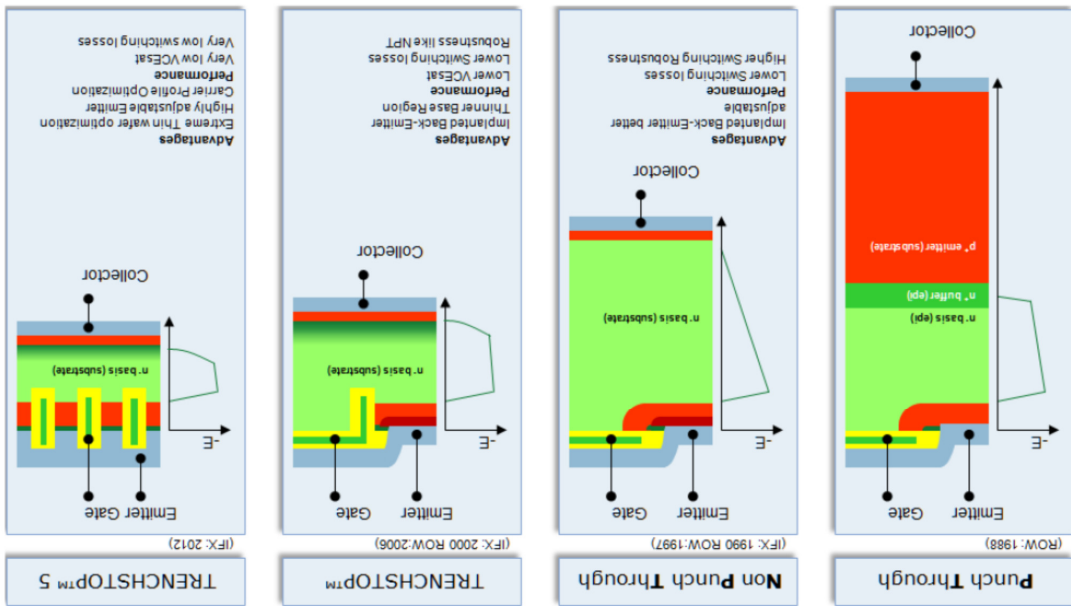
- \* During turn off the MOSFET turns off first  $\rightarrow$  all IGBT current + CB displacement current can pass through  $r_b$

- $|I_{MAX\_DYNAMIC}| < |I_{MAX\_STATIC}/2|$   
(during IGBT turn off\*)
- Dynamic Latch up
- Static Latch up  
 $|I_{MAX\_STATIC}|$
- $V_{BE}$  depends on voltage drop on  $r_b$ .
- The npn BJT must be in cut off

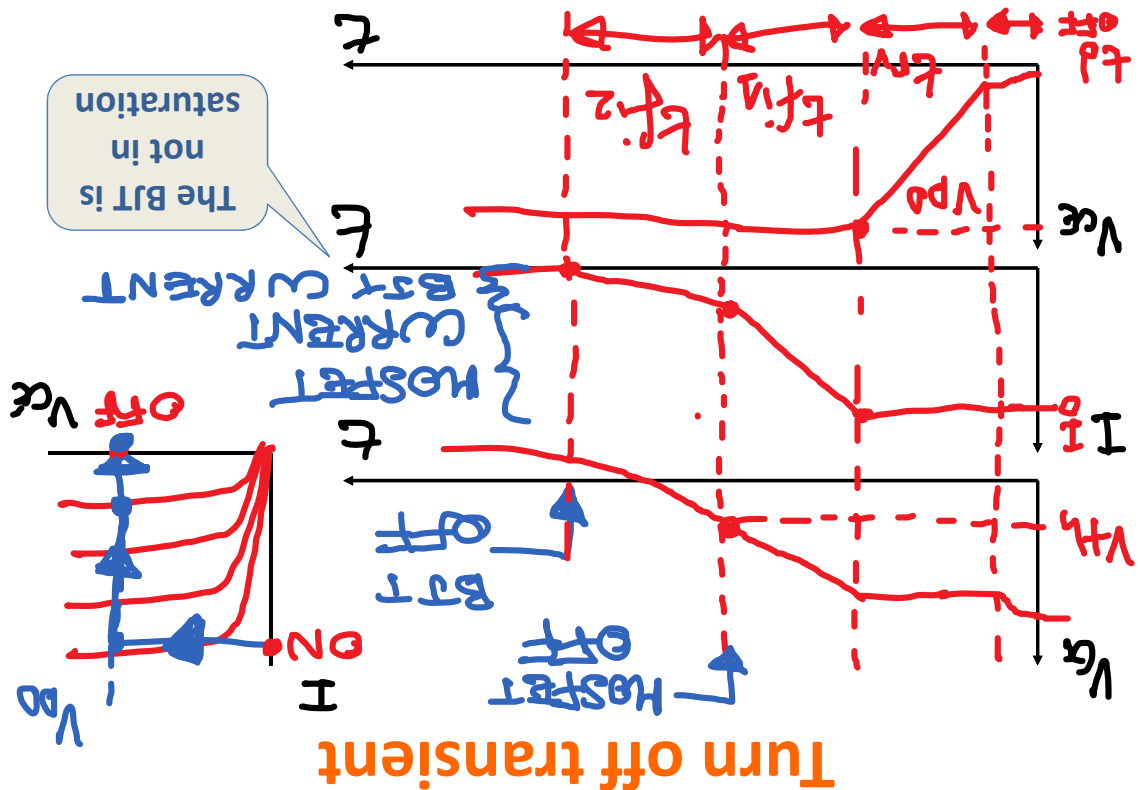


## Latch up

Trenchstop 5:  $I_{max}$  80 A,  $V_{BD}$  650 V,  $V_{ON}$  1.6-2 V,

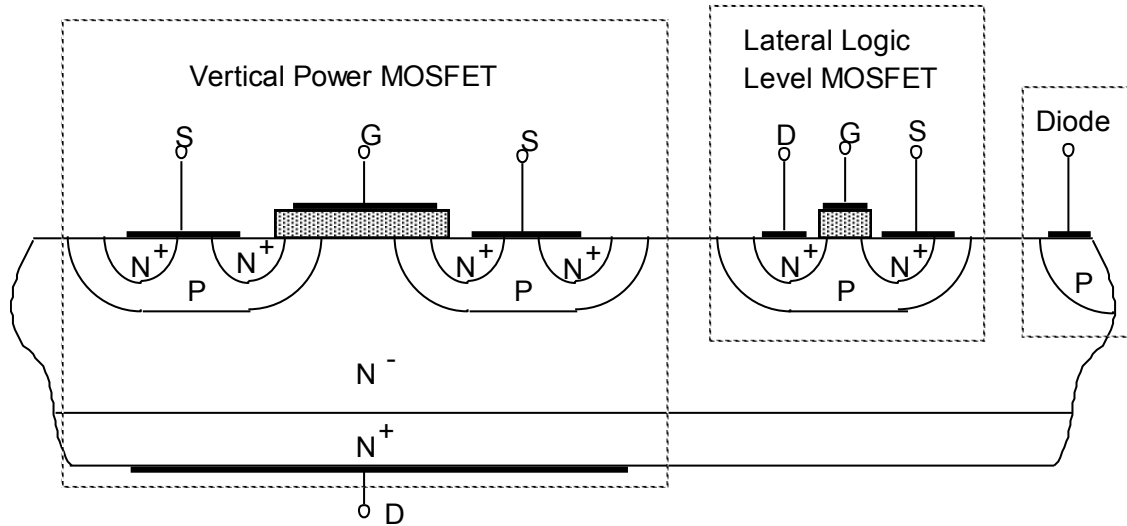


## Example: Infinion LGBTs



# Smart Power / Smart Switches ( $I < 50-100 \text{ A}$ , $V < 1\text{KV}$ ):

Vertical Power devices + Lateral Devices for (some) logic

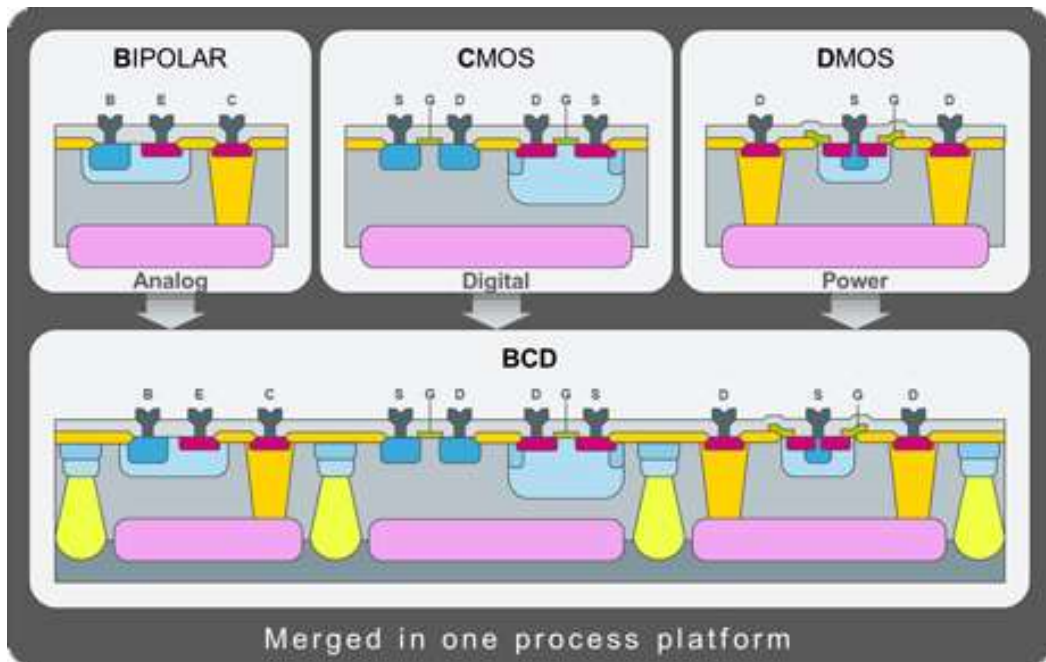


If Drain of Power MOSFET at positive voltage → devices are insulated by the reversed biased p-body - n-drift region junction

## Power Integrated Circuits

1. Discrete Modules (Higher I-V range)
2. Smart Power / Smart Switches ( $I < 50-100 \text{ A}$ ,  $V < 1\text{KV}$ ):
3. High-Voltage Integrated Circuits (e.g. BCD process -  $I < 50-100 \text{ A}$ ,  $V < 1\text{KV}$  )
4. High-density Power Management IC (e.g. high density BCD process –  $V < 100 \text{ V}$ )

# STM BCD Process



# STM BCD Process

Three process technologies on a single chip

- **Bipolar** for precise analog circuits (e.g. bandgap)
- **CMOS** for digital design
- **DMOS** for power and high voltage

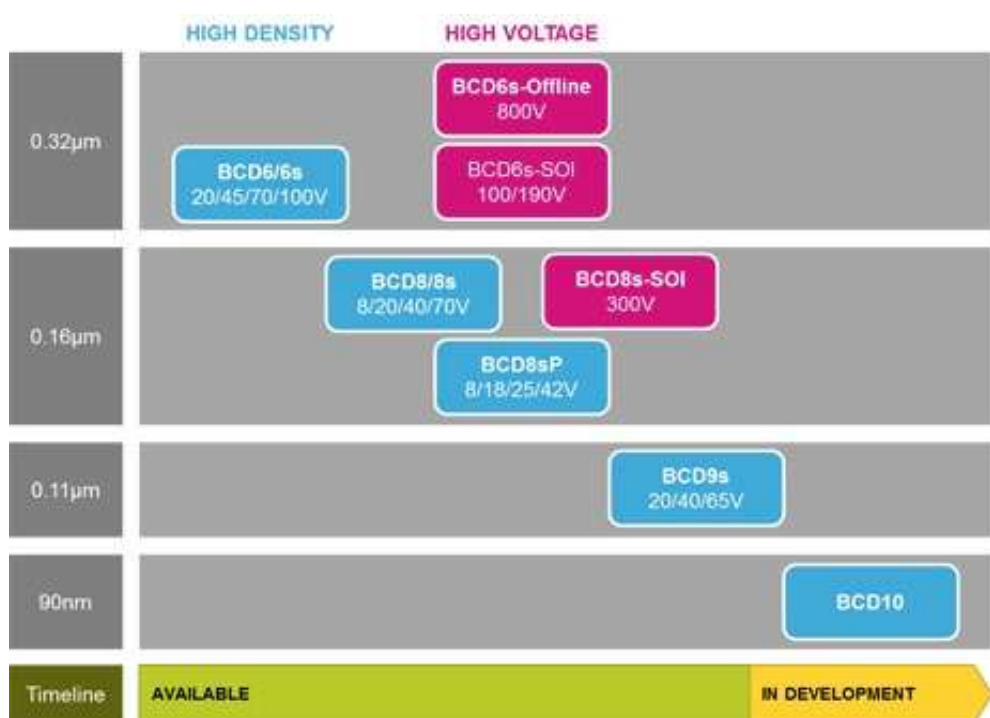
Pros:

- Improved reliability (no bonding, no complex packaging)
- Reduced EMI
- Smaller chip area (improved integration)

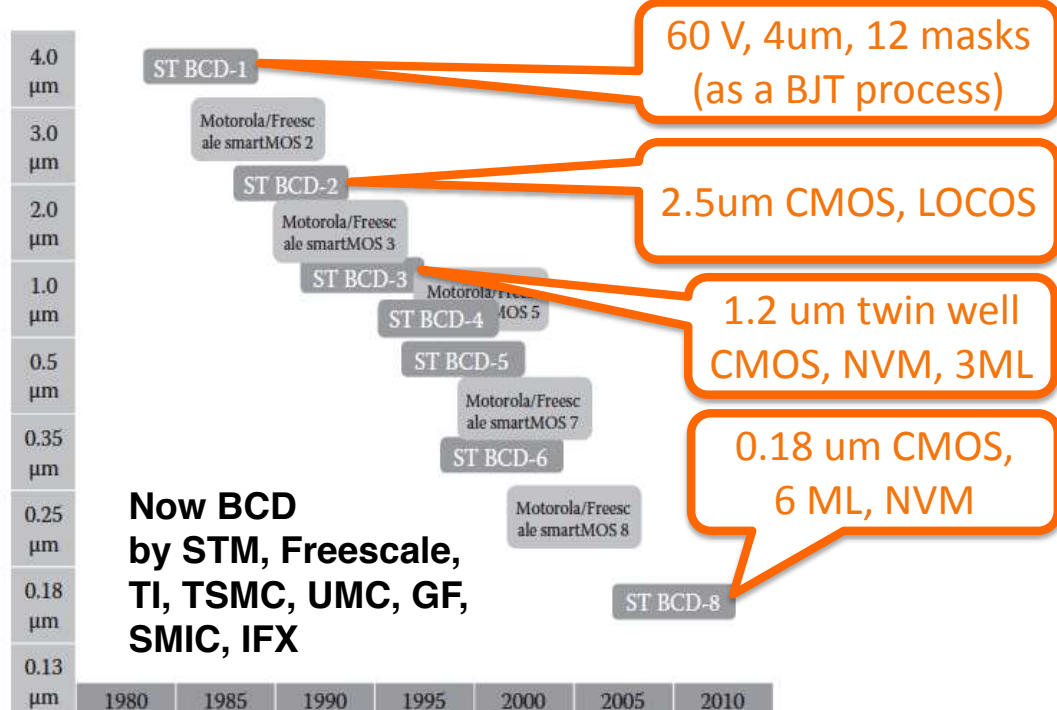
Cons

- No component is optimized (e.g. digital is not optimized (long channel lengths and thick oxides))

# STM BCD process family

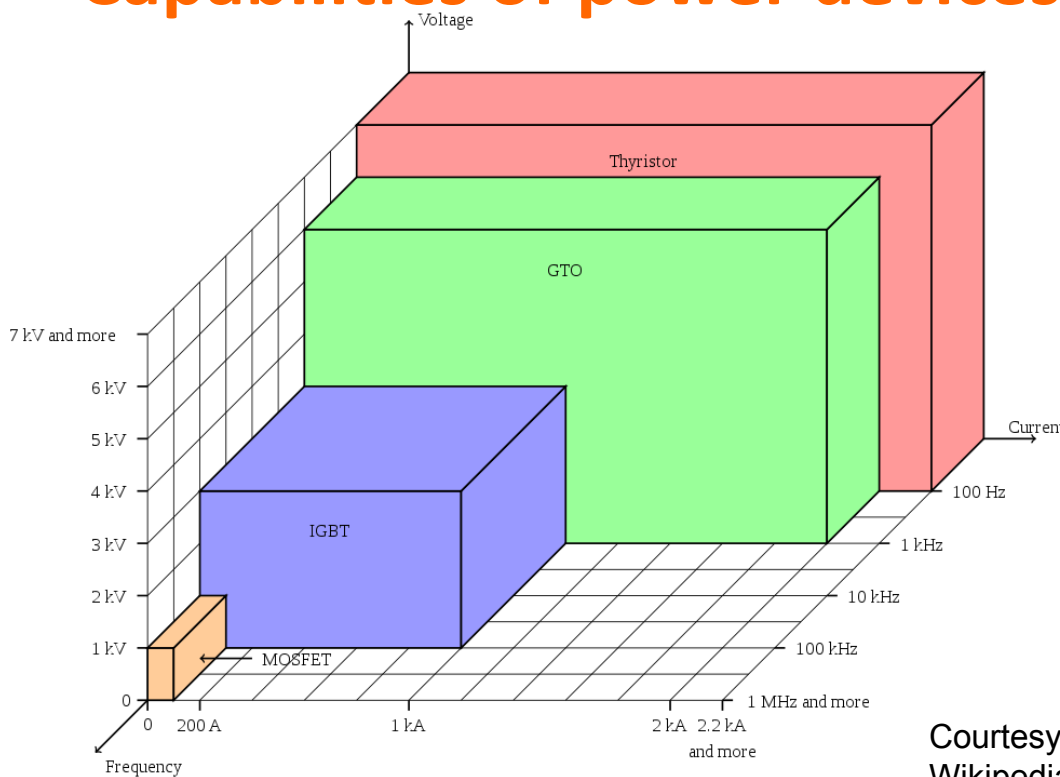


## Chronology of BCD Processes



Chronology of BCD process taken from Fig. 4.4 of Y. Fu et al. CRC Press, 2014

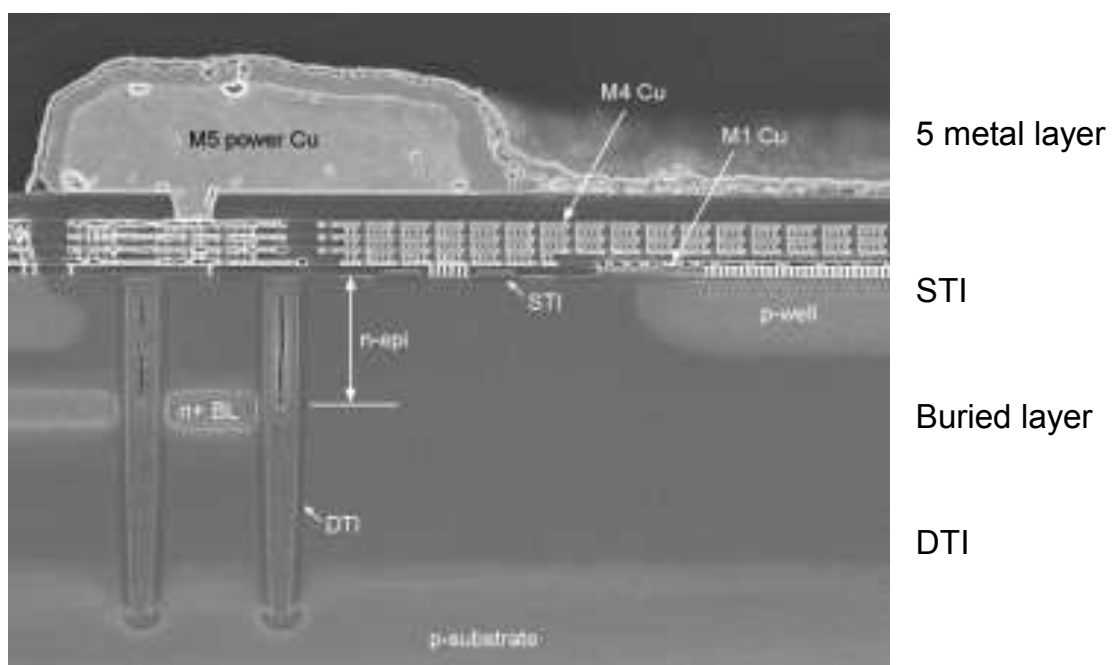
# Capabilities of power devices



The domain of MOSFETs and IGBTs is increasing

Courtesy of  
Wikipedia (Cyril)

## Infineon 130 nm BCD

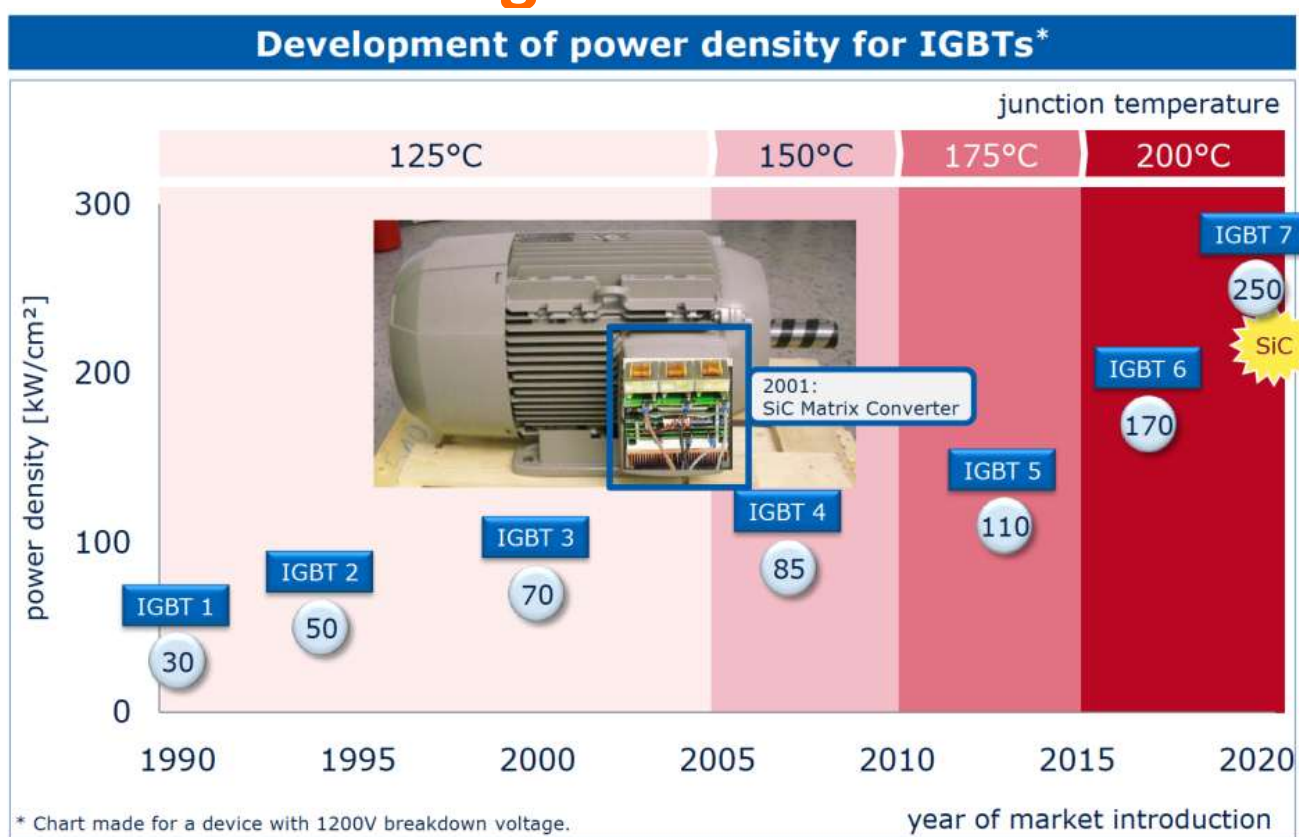


# Evolution of power semiconductor devices

Active devices are a large fraction of the total system cost →  
actual design try to minimize the number of active devices used  
and their maximum ratings (cost)

## Progress in IGBTs

Courtesy of  
Infineon 2011



# Evolution of power semiconductor devices

Active devices are a large fraction of the total system cost → actual design try to minimize the number of active devices used and their maximum ratings (cost)

**Progress in Power devices DRIVE changes in circuit choices and market adoption.**

Examples:

- power MOSFETs —> switched-mode power supplies
- IGBT -> Energy efficient motor drives with inverters

Next

New materials: SiC, GaN -> Class D audio amplifier, inverter for motion control – AC-DC and DC-DC power supply

# Evolution of power semiconductor devices

Active devices are a large fraction of the total system cost → actual design try to minimize the number of active devices used and their maximum ratings (cost)

**Progress in Power devices DRIVE changes in circuit choices and market adoption.**

Examples:

- power MOSFETs —> switched-mode power supplies
- IGBT -> Energy efficient motor drives with inverters

# Resistance in the ON state $R_{ON}$

if we put the breakdown field  $E_{BD}$  in the place of  $E$ , and the breakdown voltage  $V_{BD}$  in the place of V:

- $2V_{BD} = WE_{BD} \rightarrow W = \frac{2V_{BD}}{E_{BD}}$
- $2V_{BD} \frac{qN_D}{\epsilon} = E_{BD}^2 \rightarrow qN_D = \frac{\epsilon E_{BD}^2}{2V_{BD}}$

$R_{ON}$  is due to transport in the drift region. In the case of no conductivity modulation  $n=N_D$  (MOSFETs and Schottky diodes):

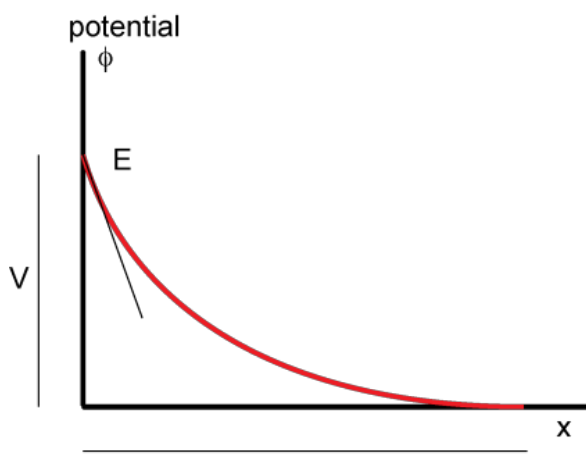
$$R_{ON} = \frac{W}{A} \frac{1}{q\mu n} = \frac{W}{A} \frac{1}{q\mu N_D}$$

$R_{ON} A = \frac{2V_{BD}}{E_{BD}} \frac{1}{\mu \epsilon E_{BD}^2} = \frac{4 V_{BD}^2}{\mu \epsilon E_{BD}^3}$

## Comparison between different materials for power FETs

Let us consider a PN junction with NO punchthrough:

- W is the width of the depletion region (contained in the drift region)
- Electric field at the junction:



- Voltage drop  $V$  in  $W$ :

$$V = \frac{1}{2} \frac{q N_D}{\epsilon} W^2 = \frac{WE}{2}$$

- We also have  $2V \frac{qN_D}{\epsilon} = E^2$

# Thermal properties of alternative semiconductors

	Si	GaAs	SiC	GaN
Bandgap at Room T (eV)	1.12	1.43	2.2-3	3.4
Thermal conductivity (W/(cm K))	1.5	0.5	5	1.3
Max Operating Temp. (C)	150	300	600-1000	400
Saturation velocity (cm/s)	1e7	2e7	2.5e7	2.5e7

Higher bandgap → Harder impact ionization → Higher  $E_{BD}$

Higher bandgap → Lower intrinsic carrier density  $n_i$  at a given T  
 → Lower leakage currents at given T  
 → Higher Max operating Temp

## FOM of alternative materials (to Si)

$$R_{ON}A = \frac{4}{\mu\varepsilon} \frac{V_{BD}^2}{E_{BD}^3}$$

The breakdown voltage is a system specification

→ For the same  $V_{BD}$ , different materials give different  $R_{ON}$

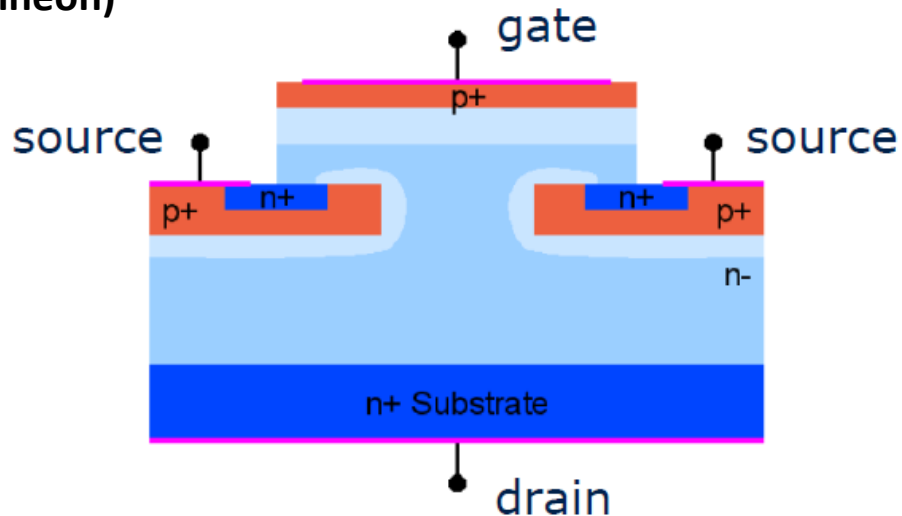
Baliga proposed a Figure of Merit for materials normalized to Si:

$$FOM = \mu\varepsilon E_{BD}^3$$

	Si	GaAs	SiC	GaN
Breakdown Electric Field (MV/cm)	0.3	0.4	2.4	3.0
Electron mobility ( $\text{cm}^2/\text{Vs}$ ) at 300K	1350	8500	370	900
Relative dielectric constant	11.8	13.1	10	9.5
BFOM = $1/(\mu\varepsilon E_{BD})$ normalized to Si	1	17	119	537

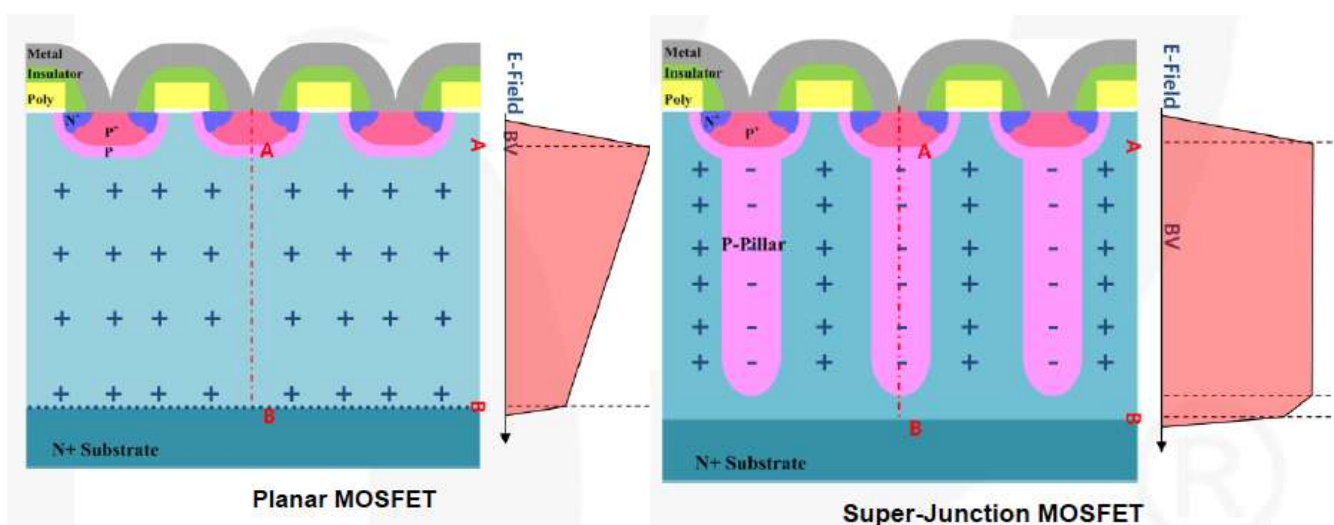
# SiC devices

- SiC diodes, SiC JFETs, SiC MOSFETs
- **SiC JFET (Infineon)**



## Superjunction MOSFET

Siemens 1999,  
STM 2000

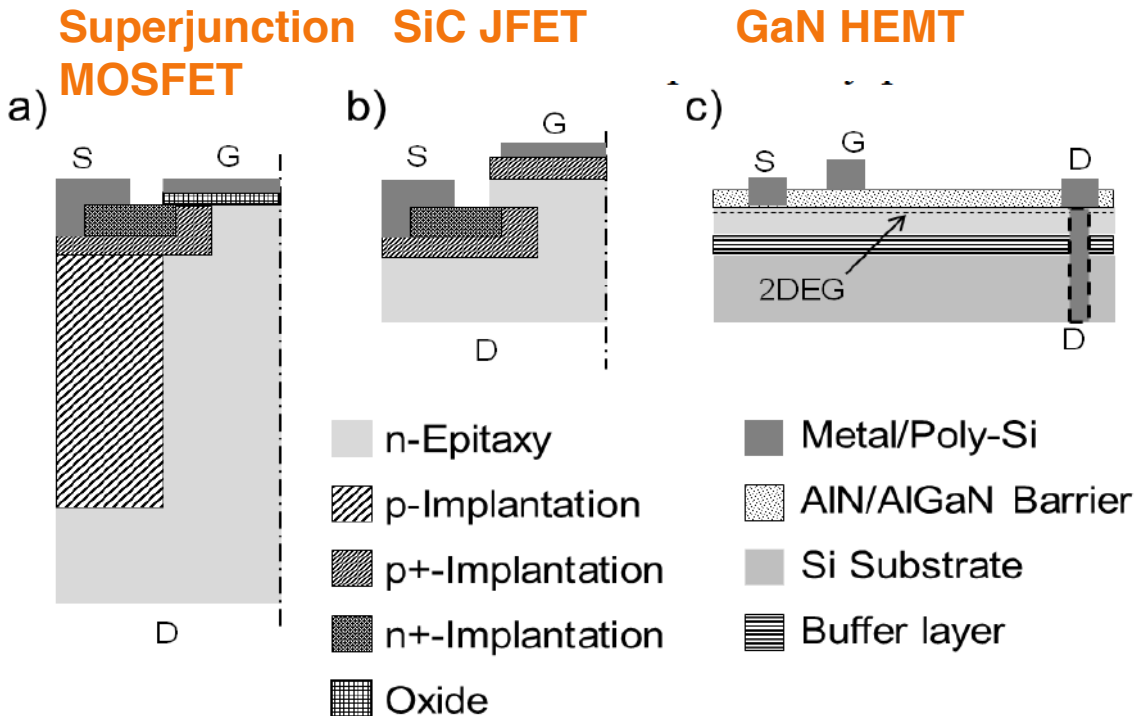


P-pillar introduces a charge sharing mechanism that enables to increase drift region doping (10x) for the same  $V_{BD}$  and drift region thickness

For  $V_{BD} = 600 \text{ V} \rightarrow 5x$  reduction in  $R_{ON}$  wrt MOSFET

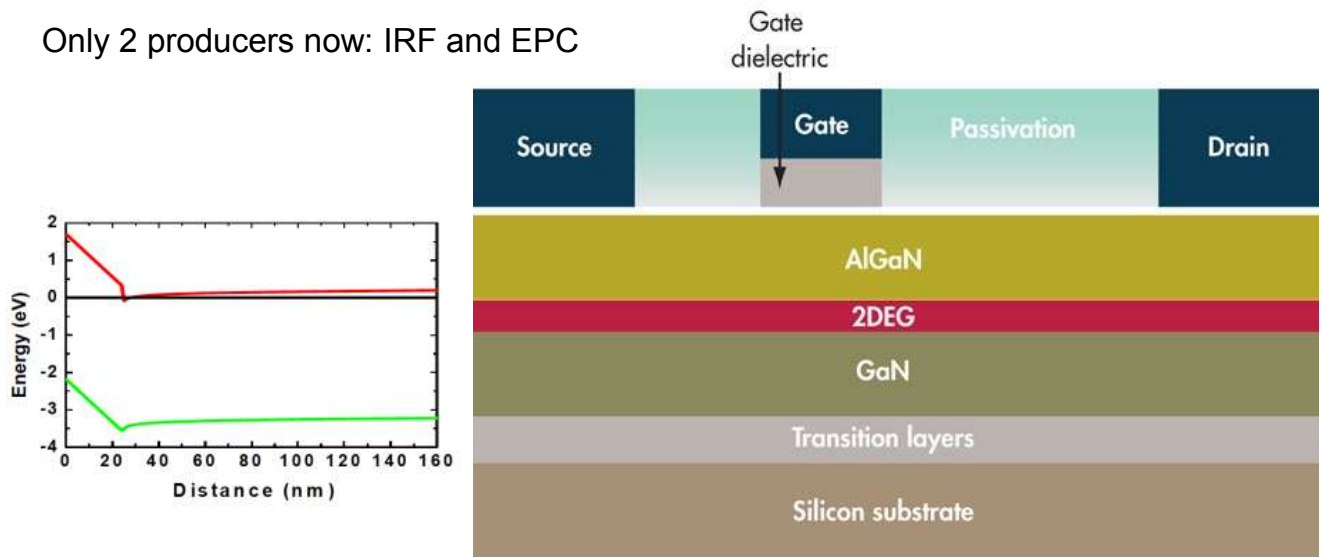
Source:  
Fairchild AN5232

# Comparison between different technologies



## GaN-AlGaN MIS-HEMT

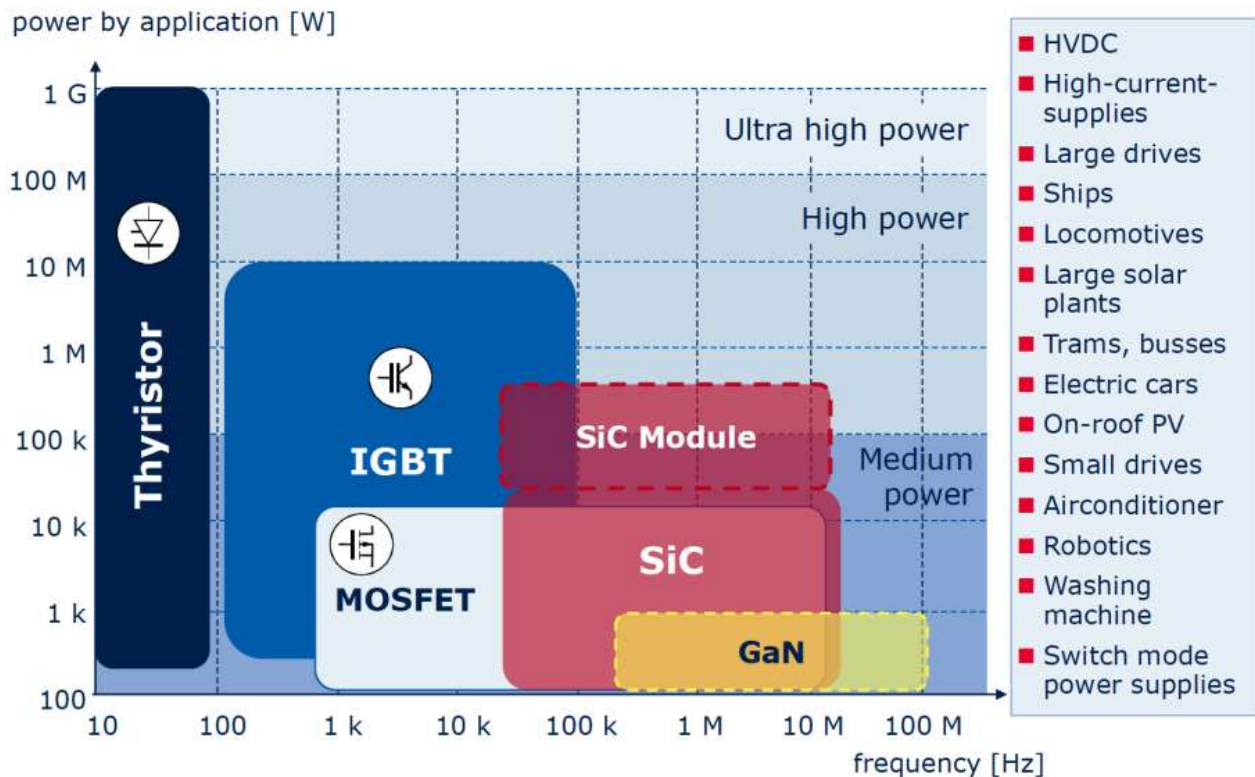
Only 2 producers now: IRF and EPC



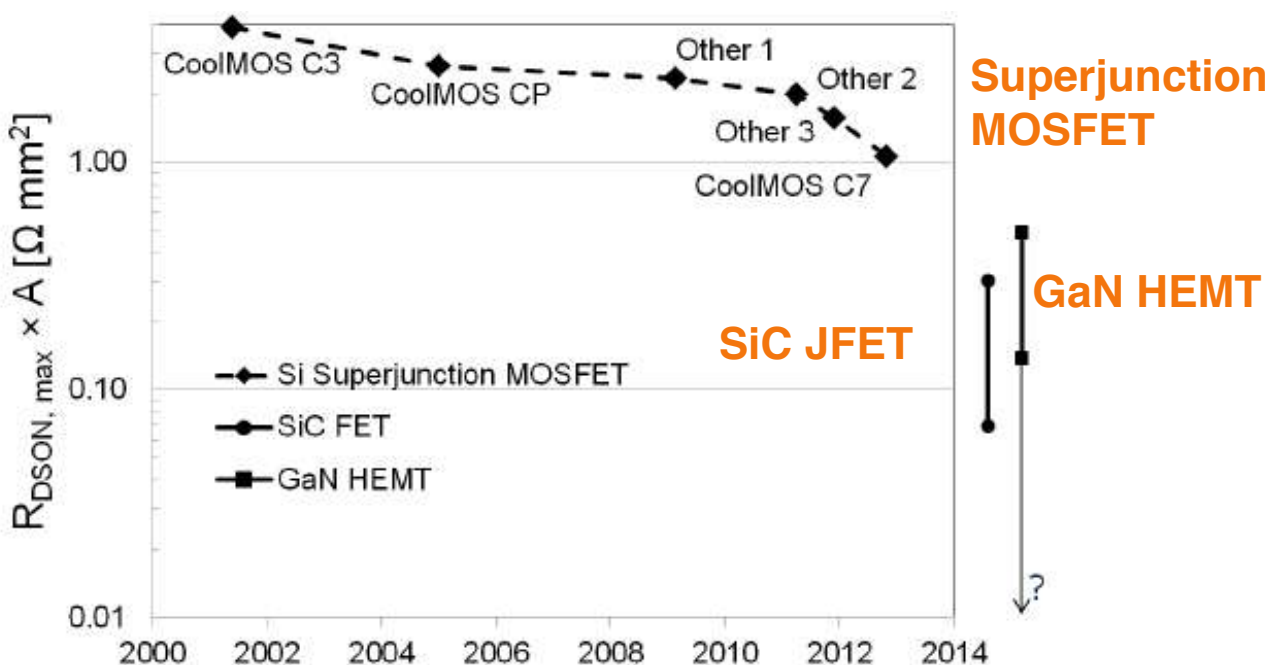
- No pn junctions (only majority carriers)
- Lateral device (reduced capacitances, high fields in the upper layers)
- Normally ON

# Power versus frequency

Courtesy of Infineon 2011



## $R_{ON}$ comparison



GaN also has lower output switching charge, enabling higher frequency

# Problems of alternative materials

1. Silicon has enormous accumulated past investments. Money spent on other materials is small in comparison
2. GaAs
  - Small wafer size ( $\rightarrow$  higher cost)
  - Unwanted impurities  $\rightarrow$  reduce EBD and carrier lifetime
  - No oxide (is it really a problem?)
3. SiC
  - Even smaller wafer size and more impurities
  - SiC-SiO<sub>2</sub> interface not perfect
4. GaN
  - Reliability issues (impurities)

Ideal limit of SiC and GaN have not been reached yet

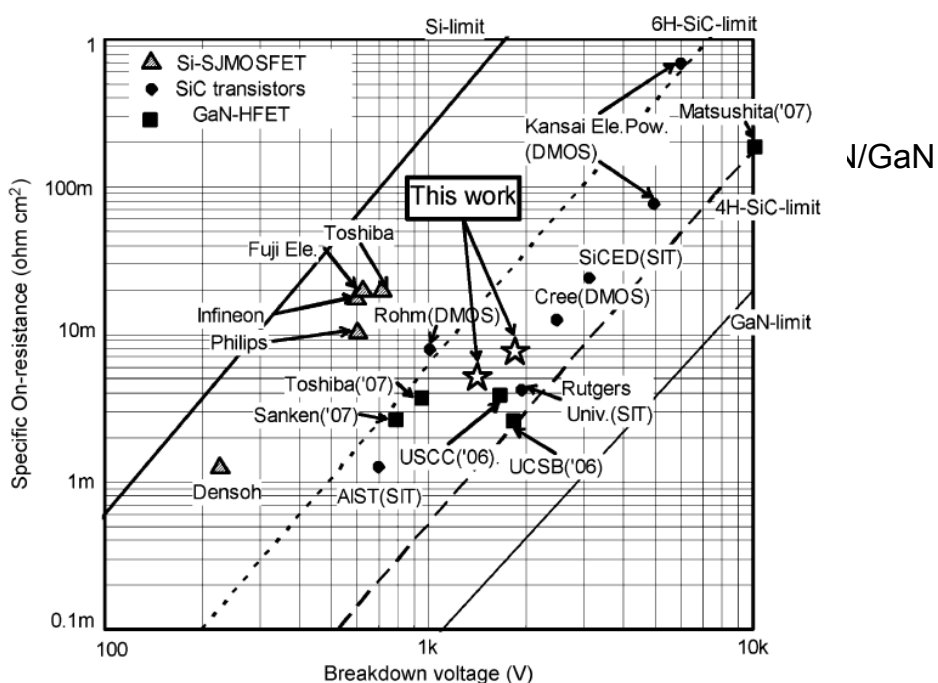


Fig. 12 of Ikeda et al. Proc. IEEE Vol. 98, pp. 1151-1161, 2010.

# DC-DC Converters

Typical uses:

- DC Power supplies
- DC Motor drives
- Portable Electronics

Types of converters

- Step-down (buck)
- Step-up (boost)
- Buck-boost
- Cuk
- Full-Bridge

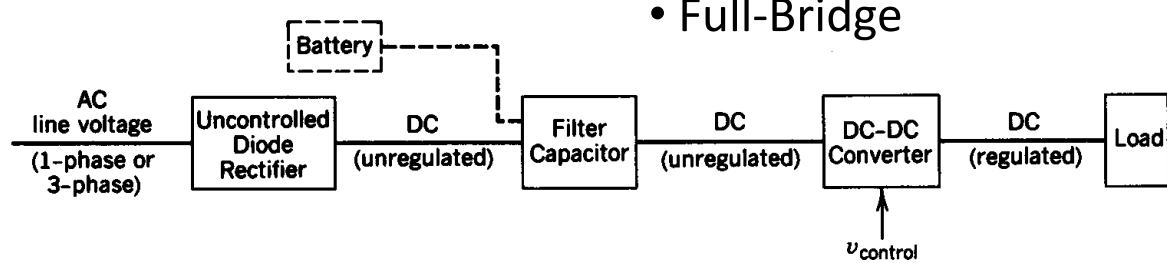
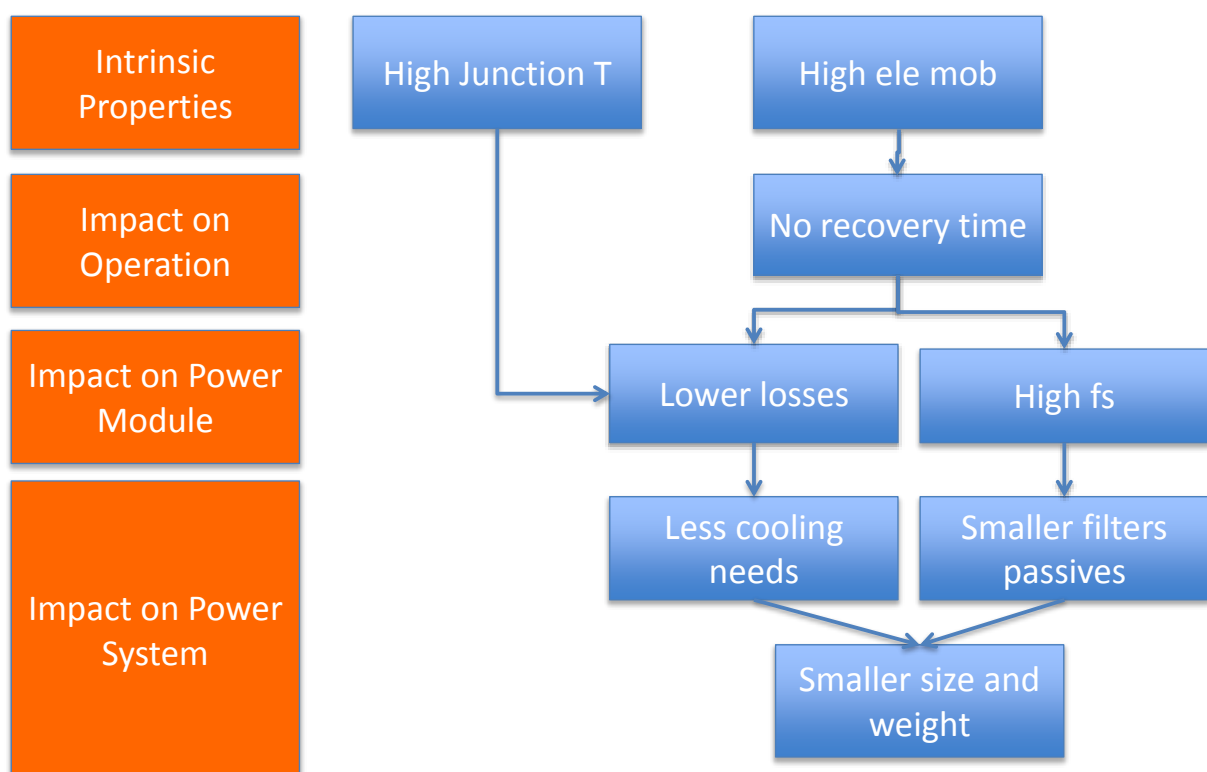


Figure 7-1 A dc–dc converter system.

## Added value of SiC and GaN



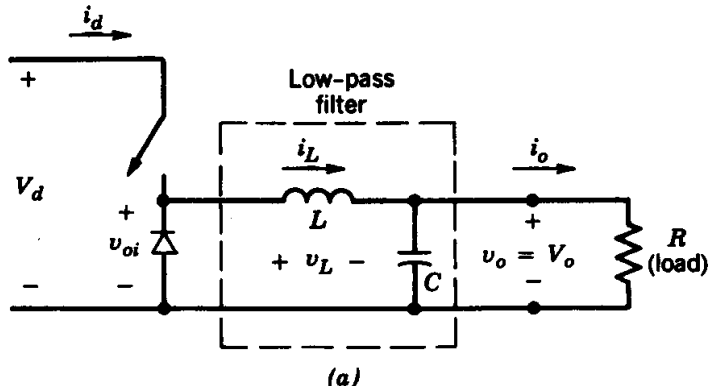
# Step-down (buck) converter

DC power supplies, DC motor drives --  $V_o < V_d$

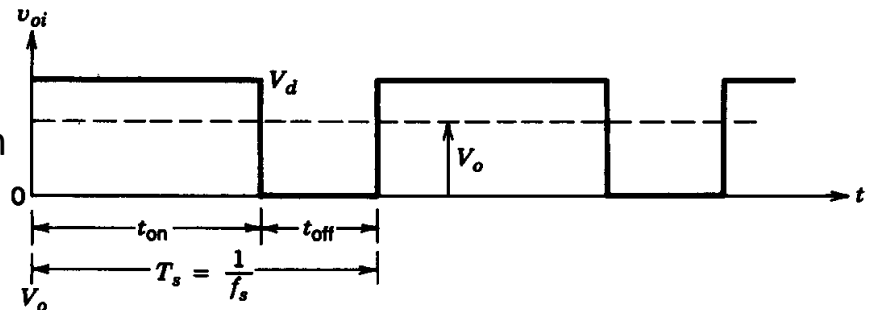
**Low-pass filter** keeps output voltage constant

Note: 2<sup>nd</sup> order non dissipative filter

$$f_c = \frac{1}{2\pi} \frac{1}{\sqrt{LC}} \ll f_s$$



Diode avoids voltage spike on switch (when switch is off, diode provides current to L)



## Ideal concept of step-down converter with PWM\* switching

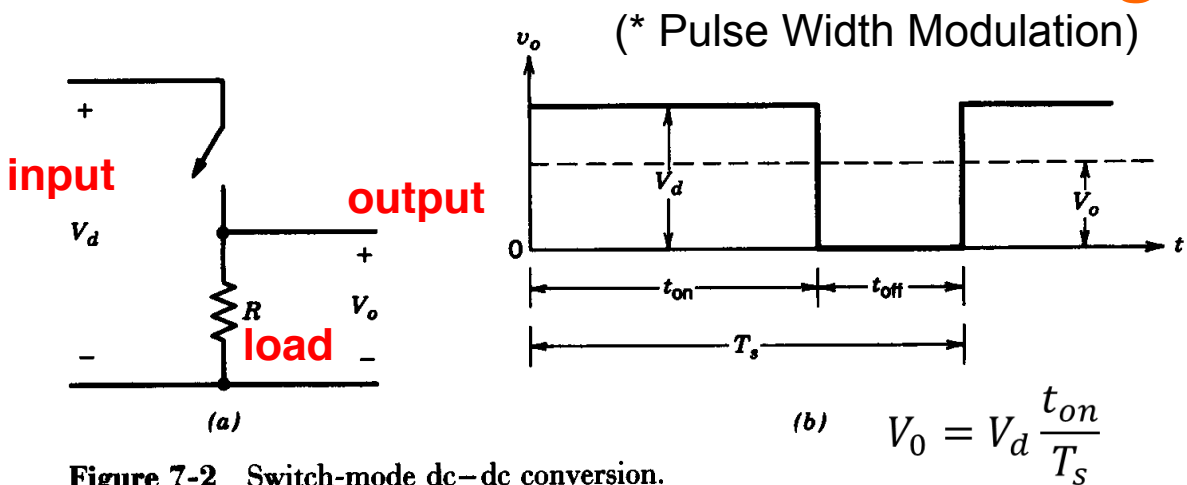


Figure 7-2 Switch-mode dc-dc conversion.

$$V_0 = V_d \frac{t_{on}}{T_s}$$

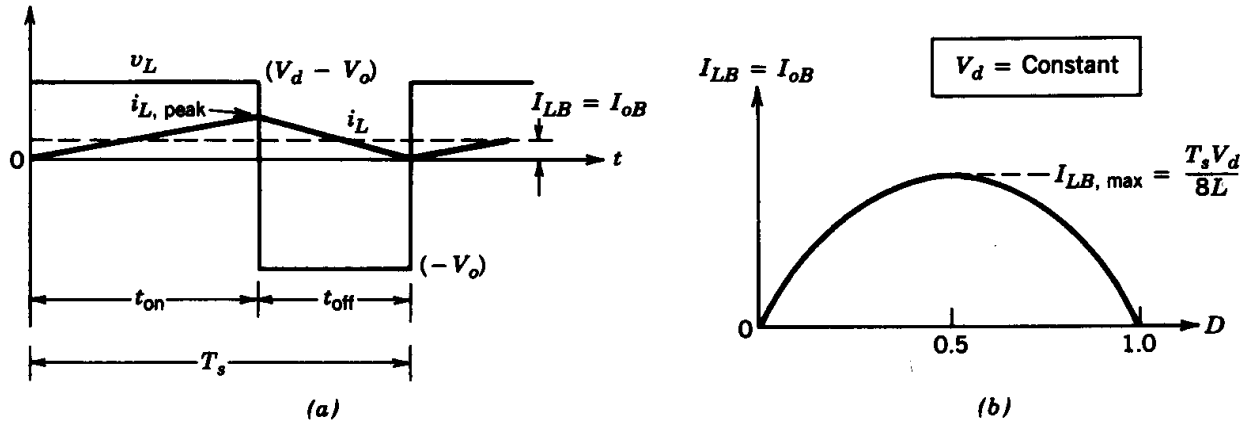
**Assumptions:** Switches, L, C are lossless, DC input has zero internal impedance, load is an equivalent R

**This cannot work:** 1. Load is inductive and can destroy switch by dissipating all stored energy, 2. output voltage must be continuous

# Limit of continuous conduction

If the ripple amplitude  $I_{LB} \equiv \frac{I_{peak}}{2} = I_o$ , the converter is at the limit of continuous conduction (i.e.  $\min\{I_L\} = 0$ )

$$I_{LB} \equiv \frac{I_{peak}}{2} = \frac{t_{on}(V_d - V_o)}{2L} = \frac{DT_s V_d (1 - D)}{2L} = I_{LBmax} 4D(1 - D)$$



**Figure 7-6** Current at the boundary of continuous-discontinuous conduction: (a) current waveform; (b)  $I_{LB}$  versus  $D$  keeping  $V_d$  constant.

## Continuous-conduction mode

Current in  $L$  is always  $> 0$

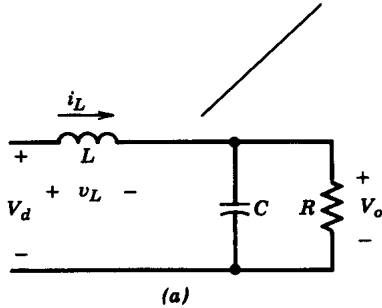
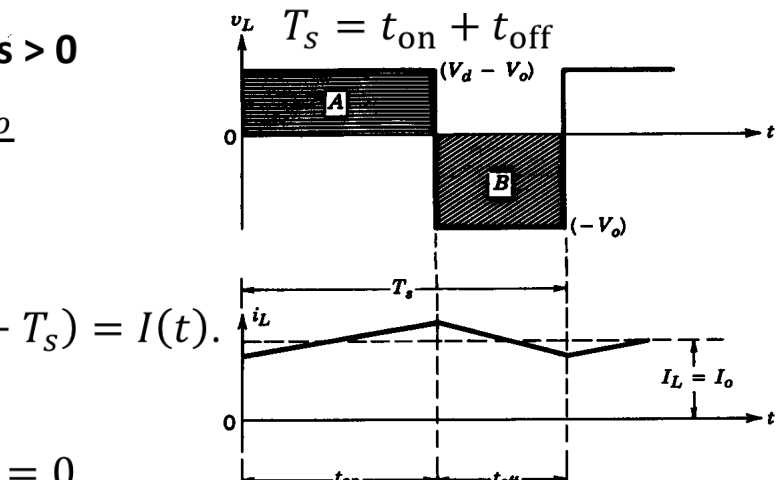
- $t_{on}$ :  $\frac{dI}{dt} = \frac{V_d - V_o}{L}$
- $t_{off}$ :  $\frac{dI}{dt} = -\frac{V_o}{L}$

At steady state:  $I(t + T_s) = I(t)$ .

Therefore

$$\frac{V_d - V_o}{L} t_{on} - \frac{V_o}{L} t_{off} = 0$$

$$\frac{V_o}{V_d} = \frac{t_{on}}{T_s} = D$$



# Discontinuous-conduction mode with constant $V_d$

Motor drives

$$I_{\text{peak}} = \frac{(V_d - V_o)DT_s}{L} = \frac{V_o \Delta_1 T_s}{L} \quad \rightarrow \quad \frac{V_o}{V_d} = \frac{D}{(D + \Delta_1)}$$

$$I_{\text{peak}} = \frac{V_d T_s}{L} \frac{D \Delta_1}{D + \Delta_1}$$

$$I_{\text{peak}} = 8 I_{LB\max} \frac{D \Delta_1}{D + \Delta_1}$$

$$I_o T_s = \frac{I_{\text{peak}}(D + \Delta_1)T_s}{2}$$

$$I_o = 4 I_{LB\max} D \Delta_1$$

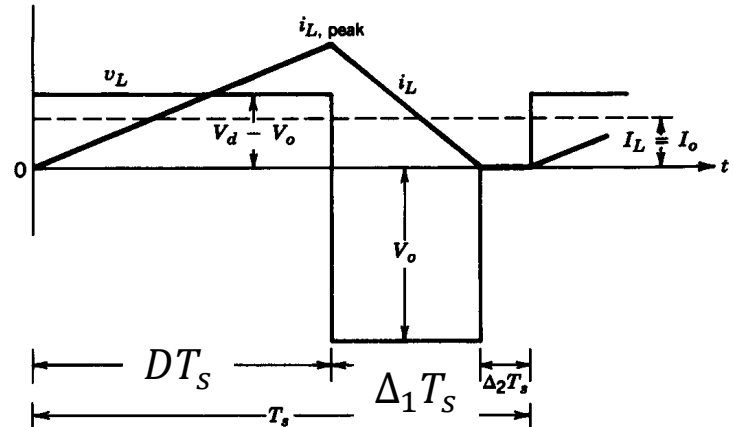


Figure 7-7 Discontinuous conduction in step-down converter.

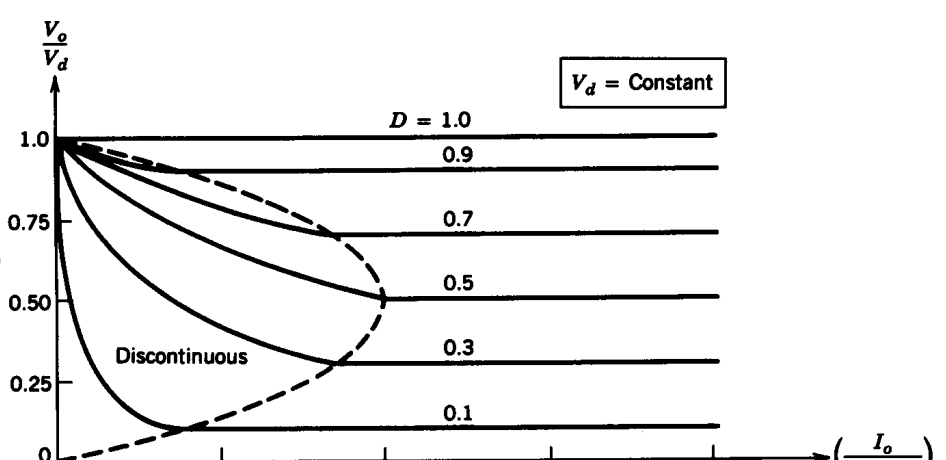
$$\frac{V_o}{V_d} = \frac{D^2}{D^2 + I_o / (4 I_{LB\max})}$$

## Limits of continuous-discontinuous conduction (constant $V_d$ )

### Continuous

$$\frac{V_o}{V_d} = D$$

$$\frac{I_o}{I_{LB\max}} > 4D(1 - D)$$



$$I_{LB, \max} = \frac{T_s V_d}{8L}$$

Figure 7-8 Step-down converter characteristics keeping  $V_d$  constant.

# Discontinuous-conduction with constant Vo

DC voltage supply

At the limit of continuous conduction

$$I_{LB} = \frac{V_o T_s (1 - D)}{2L} = I_{LB\max} (1 - D)$$

We can write D explicitly from:

$$I_{peak} = \frac{V_o \Delta_1 T_s}{L} = 2I_{LB\max} \Delta_1$$

$$I_o = \frac{I_{peak}(D + \Delta_1)}{2} = I_{LB\max} \Delta_1 (D + \Delta_1) \quad \frac{V_d}{V_o} = \frac{D + \Delta_1}{D}$$

$$\frac{I_o}{I_{LB\max}} = D^2 \frac{V_d}{V_o} \left(1 - \frac{V_d}{V_o}\right) \rightarrow D = \left[ \frac{V_o}{V_d} \frac{I_o}{I_{LB\max}} \left(1 - \frac{V_d}{V_o}\right)^{-1} \right]^{\frac{1}{2}}$$

## Limits of continuous-discontinuous conduction (constant Vd)

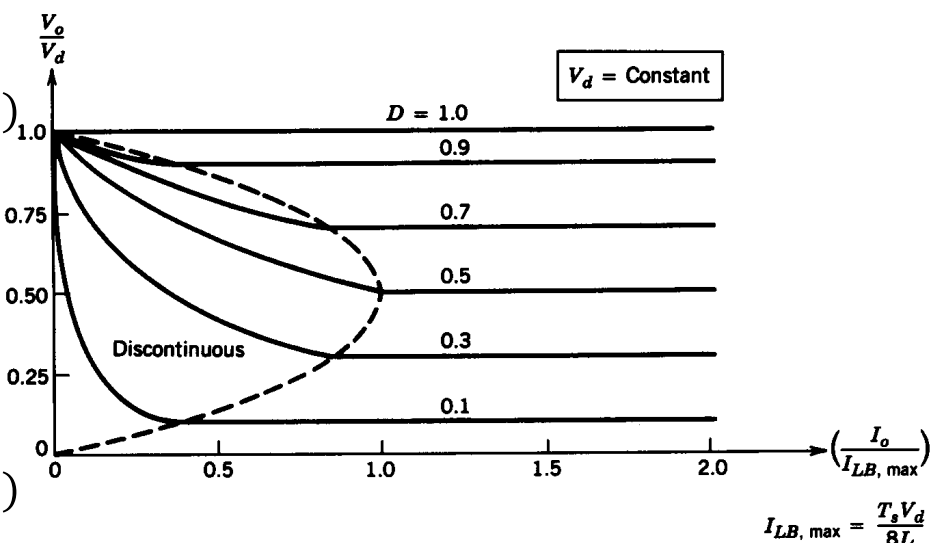
### Continuous

$$\frac{I_o}{I_{LB\max}} > 4D(1 - D)$$

$$\frac{V_o}{V_d} = D$$

### Discontinuous

$$\frac{I_o}{I_{LB\max}} < 4D(1 - D)$$



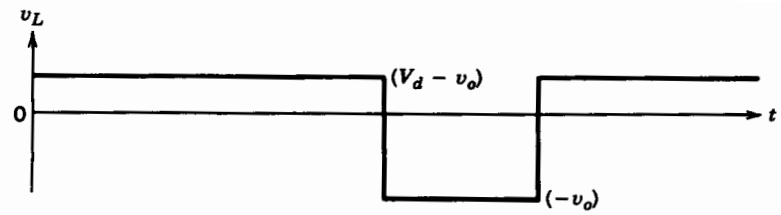
$$\frac{V_o}{V_d} = \frac{D^2}{D^2 + \frac{I_o}{4I_{LB\max}}}$$

Figure 7-8 Step-down converter characteristics keeping  $V_d$  constant.

# Output voltage ripple

**First order calculation:**

The average  $i_L$  flows in the load, and the ripple component in  $C$ .

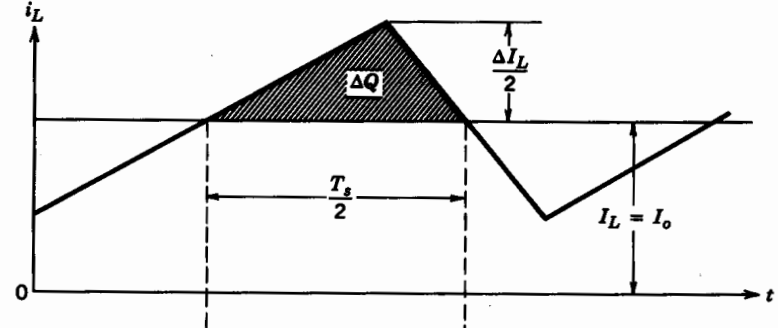


**Additional charge:**

$$\Delta Q = \frac{1}{2} \frac{\Delta I_L}{2} \frac{T_s}{2}$$

**Current ripple:**

$$\Delta I_L = (V_o/L)(1-D)T_s$$



**Voltage ripple:**

$$\Delta V_o = \frac{\Delta Q}{C} = \frac{V_o}{8LC} T_s^2 (1-D)$$

$$f_c = \frac{1}{2\pi} \frac{1}{\sqrt{LC}}$$

$$\frac{\Delta V_o}{V_o} = \frac{\pi^2}{2} (1-D) \frac{f_c^2}{f_s^2}$$

## Discontinuous-conduction with constant $V_o$

DC voltage supply

**Continuous:**  $I_o > I_{LB}$

$$D > 1 - \frac{I_o}{I_{LBmax}}$$

$$D = \frac{V_o}{V_d}$$

**Discontinuous:**  $I_o < I_{LB}$

$$D < 1 - \frac{I_o}{I_{LBmax}}$$

$$D = \left[ \frac{V_o}{V_d} \frac{I_o}{I_{LBmax}} \left( 1 - \frac{V_d}{V_o} \right)^{-1} \right]^{\frac{1}{2}}$$

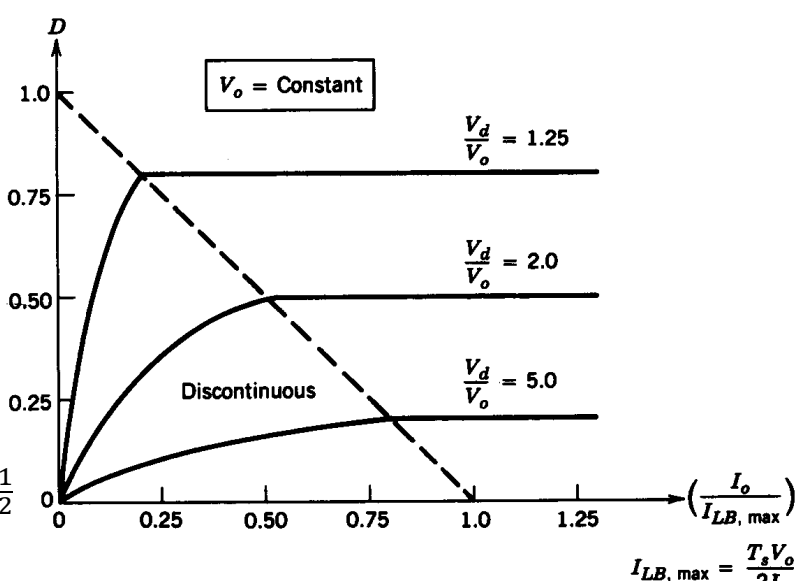


Figure 7-9 Step-down converter characteristics keeping  $V_o$  constant.

# Continuous-conduction mode

Periodic conditions:

$$\frac{t_{\text{on}} V_d}{L} + \frac{t_{\text{off}}(V_d - V_o)}{L} = 0$$

if  $t_{\text{on}} = D T_s$  and

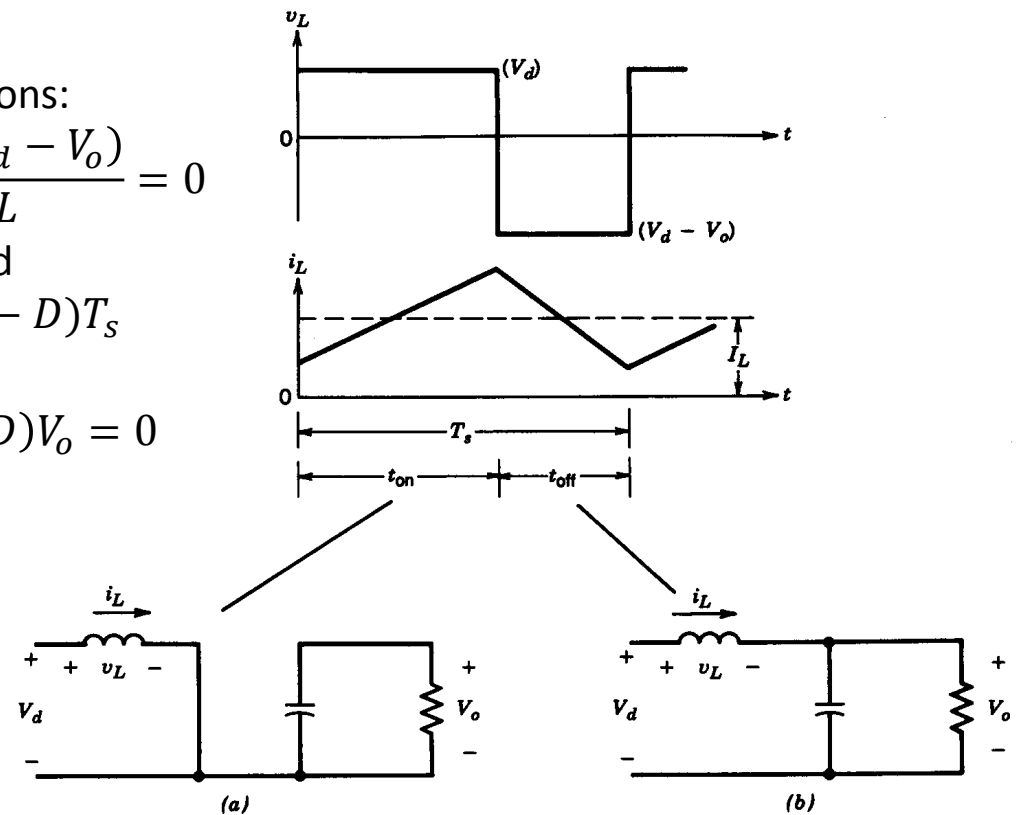
$$t_{\text{off}} = (1 - D) T_s$$

$$T_s V_d + T_s (1 - D) V_o = 0$$

$$\frac{V_o}{V_d} = \frac{1}{1 - D}$$

No losses:

$$V_o I_o = V_d I_d$$



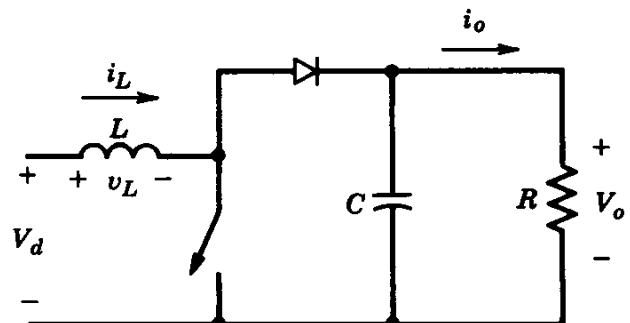
# Step-up (boost) converter

- DC power supplies
- Regenerative breaking of DC motors

Output voltage always larger than the input

**Switch on** → diode off, output isolated, L accumulates energy from input

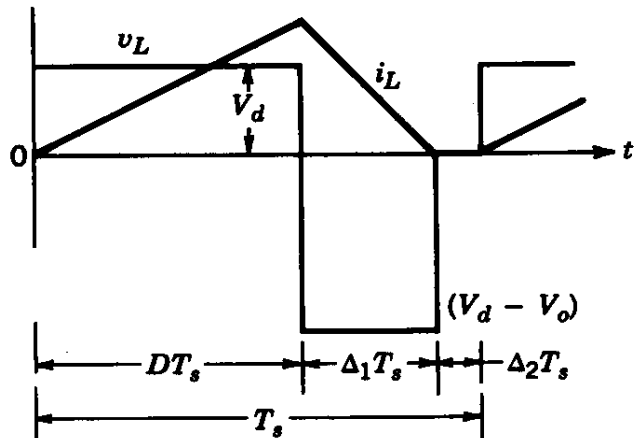
**Switch off** → diode on, load receives energy from input and from L



# Discontinuous conduction mode (constant $V_o$ )

Periodic conditions:

$$\frac{DT_s V_d}{L} + \frac{\Delta_1 T_s (V_d - V_o)}{L} = 0$$



## Continuous-discontinuous boundary

Average current in L

= ripple :

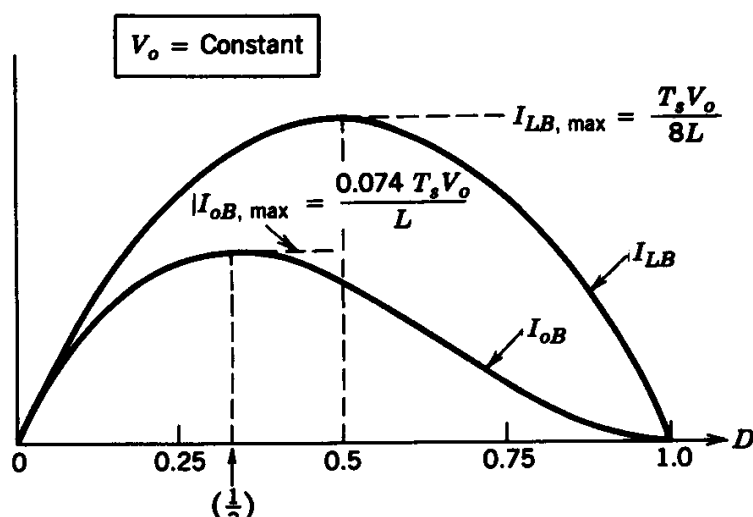
$$I_{LB} = \frac{V_d t_{on}}{2L}$$

$$= \frac{V_o (1 - D) T_s D}{2L}$$

Average output current at the limit:

$$I_{oB} = I_{LB} (1 - D)$$

$$= \frac{V_o T_s (1 - D)^2 D}{2L}$$



$I_{LB}$  is max if  $D=0.5 \rightarrow I_{LBmax} = \frac{V_o T_s}{8L}$ ,

$I_{oB}$  is max if  $D=1/3 \rightarrow I_{oBmax} = \frac{2V_o T_s}{27L} \rightarrow I_{oB} = \frac{27}{4} (1 - D)^2 D I_{oBmax}$

# Discontinuous conduction mode (constant $V_o$ )

Periodic conditions:

$$\frac{DT_s V_d}{L} + \frac{\Delta_1 T_s (V_d - V_o)}{L} = 0$$

$$\frac{V_o}{V_d} = 1 + \frac{D}{\Delta_1} = \frac{I_d}{I_o}$$

Average current in L

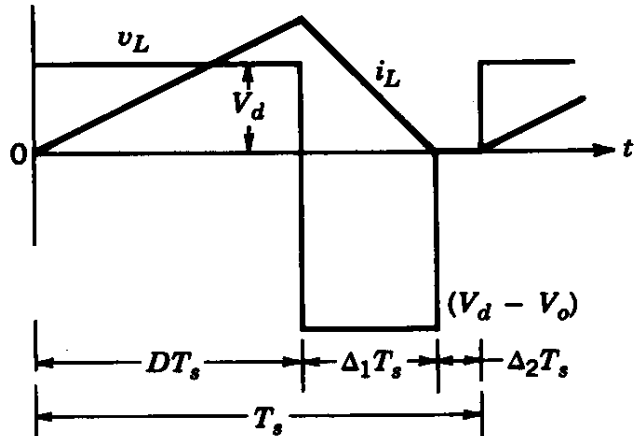
$$I_d T_s = \frac{DT_s V_d}{L} \frac{(D + \Delta_1)T_s}{2}$$

Average output current

$$I_o = I_d \frac{\Delta_1}{D + \Delta_1} = \frac{T_s V_d}{2L} D \Delta_1$$

$$= \frac{27}{4} I_{oBmax} \frac{V_d}{V_o} D^2 \frac{V_d}{V_o - V_d}$$

$\rightarrow D = \left[ \frac{4}{27} \frac{V_o}{V_d} \left( \frac{V_o}{V_d} - 1 \right) \frac{I_o}{I_{oBmax}} \right]^{\frac{1}{2}}$



# Discontinuous conduction mode (constant $V_o$ )

Periodic conditions:

$$\frac{DT_s V_d}{L} + \frac{\Delta_1 T_s (V_d - V_o)}{L} = 0$$

$$\frac{V_o}{V_d} = 1 + \frac{D}{\Delta_1} = \frac{I_d}{I_o}$$

**tions:**

$$\frac{(V_d - V_o)}{D} = 0$$

$$-\frac{D}{\Delta_1} = \frac{I_d}{I_o}$$

# Losses and ripple

**Losses:** inductor, capacitor, switch, diode

**Ripple:** first order assumption: when the switch is on the C is discharged through the load

$$\Delta V_o = \frac{\Delta Q}{C} = \frac{I_o D T_s}{C} = \frac{V_o D T_s}{R C}$$

$$\frac{\Delta V_o}{V_o} = D \frac{T_s}{\tau}$$

## Continuous-discontinuous mode (constant $V_o$ )

**Continuous mode:**

$$I_o > I_{oB} \\ = I_{oBmax} \frac{27(1-D)^2 D}{4}$$

$$D = 1 - \frac{V_d}{V_o}$$

**Discontinuous mode:**

$$I_o < I_{oB}$$

$$D = \left[ \frac{4}{27} \frac{V_o}{V_d} \left( \frac{V_o}{V_d} - 1 \right) \frac{I_o}{I_{oBmax}} \right]^{\frac{1}{2}}$$

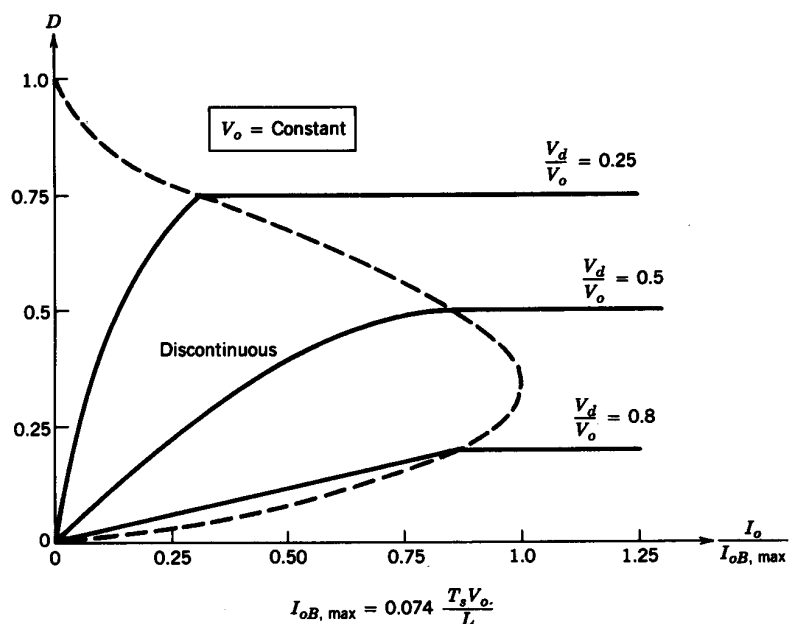


Figure 7-15 Step-up converter characteristics keeping  $V_o$  constant.

# Continuous-discontinuous boundary

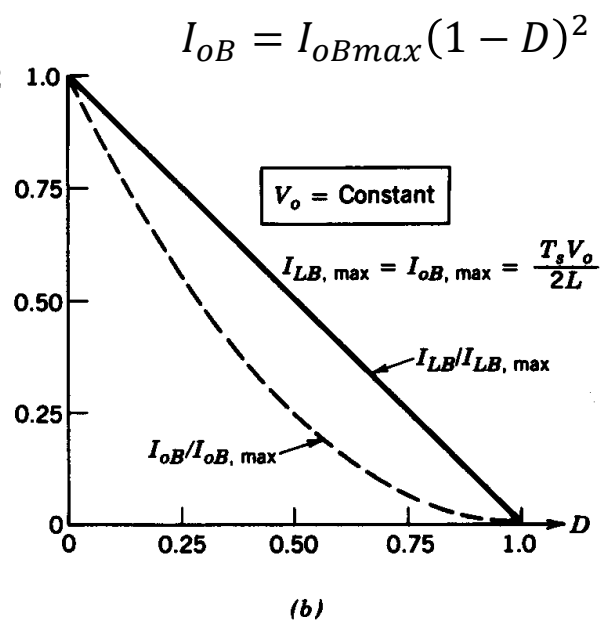
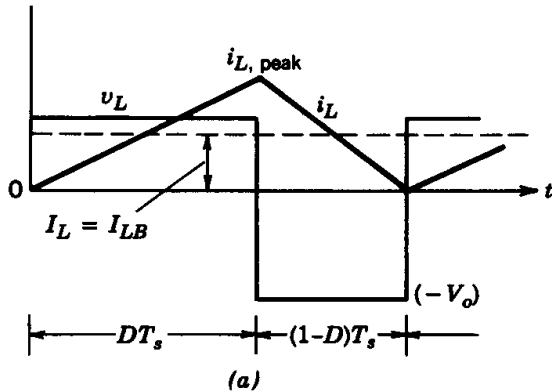
Current in L at the boundary

$$I_{LB} = \frac{DT_s V_d}{2L}$$

$$I_{LB} = I_{LB\max}(1 - D)$$

Output current at the boundary:

$$I_{oB} = I_{LB}(1 - D) = \frac{T_s V_o}{2L} (1 - D)^2$$

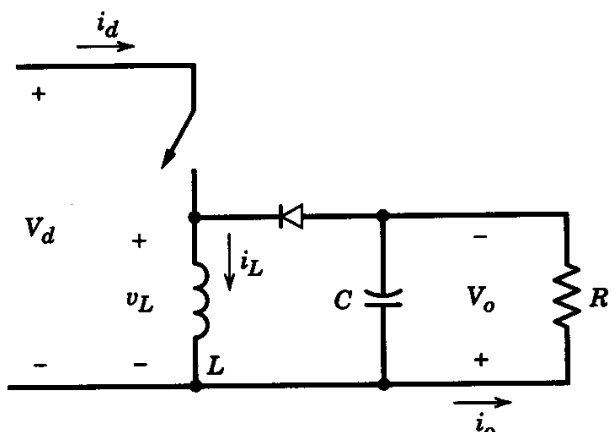


## Buck-boost converter

### Negative DC power supply

**Switch on:** inductance accumulates energy, diode off, C supplies the load

**Switch off:** diode on, inductance transfers energy to the capacitance and to the load



**Periodic conditions in continuous conduction mode:**

$$\frac{DT_s V_d}{L} - \frac{V_o(1 - D)T_s}{L} = 0$$



$$\frac{V_o}{V_d} = \frac{D}{1 - D} = \frac{I_d}{I_o}$$

$$I_L = I_o + I_d = \frac{I_o}{1 - D}$$

# Continuous-discontinuous mode

## Continuous operation

$$I_o > I_{oB} = I_{oBmax} (1 - D)^2 \frac{V_d}{2L}$$

$$D = \frac{V_o}{V_d - V_o}$$

## Discontinuous operation

$$I_o > I_{oB}$$

$$D = \frac{V_o}{V_d} \sqrt{\frac{I_o}{I_{oBmax}}}$$

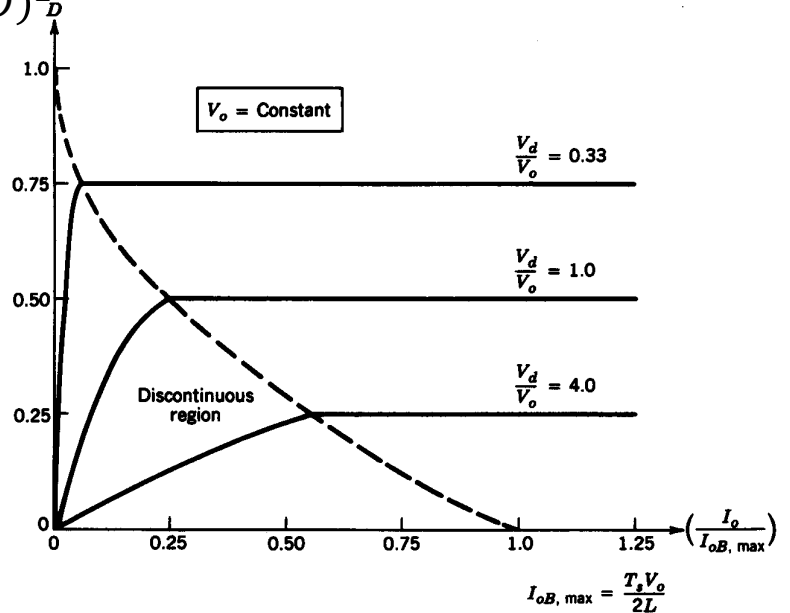


Figure 7-22 Buck-boost converter characteristics keeping  $V_o$  constant.

# Discontinuous conduction

Periodic conditions:

$$\frac{DV_d T_s}{L} - \frac{V_o \Delta_1 T_s}{L} = 0$$

$$\frac{V_o}{V_d} = \frac{D}{\Delta_1} = \frac{I_d}{I_o}$$

Average current in L:

$$I_L T_s = \frac{V_d D T_s}{L} \frac{(D + \Delta_1) T_s}{2}$$

Therefore:

$$I_L = I_o \left( 1 + \frac{D}{\Delta_1} \right) = \frac{V_d T_s}{2L} D (D + \Delta_1)$$

$$\frac{I_o}{I_{oBmax}} = D \Delta_1 \frac{V_d}{V_o} = D^2 \left( \frac{V_d}{V_o} \right)^2 \rightarrow D = \frac{V_o}{V_d} \sqrt{\frac{I_o}{I_{oBmax}}}$$

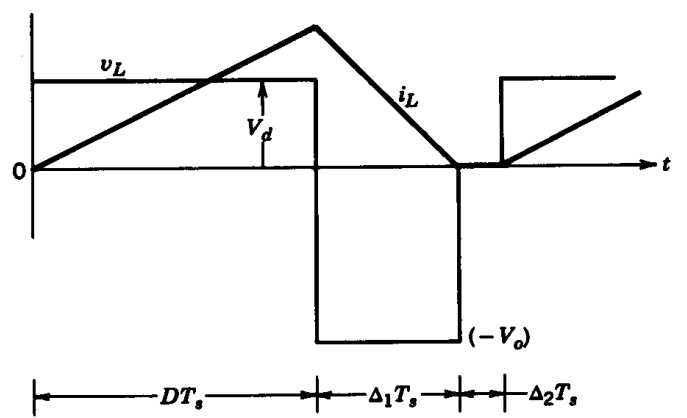


Figure 7-21 Buck-boost converter waveforms in a discontinuous-conduction mode.

# Cuk DC-DC converter

## Negative DC power supply

DC analysis:  $V_{C1} = V_d + V_o$  note: ( $V_{C1} > V_d$ )

**Assumption:** Large C1 (Voltage almost constant)

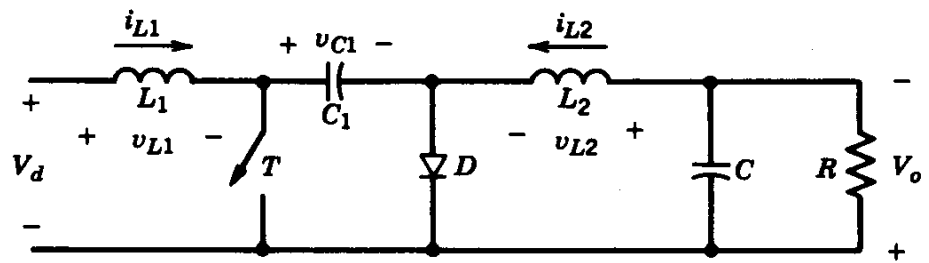


Figure 7-25 Cuk converter.

## Output voltage ripple

When the switch is ON, C is discharged through the load

$$\Delta V_o = \frac{\Delta Q}{C} = \frac{DT_s V_o}{RC} \rightarrow \frac{\Delta V_o}{V_o} = D \frac{T_s}{\tau}$$

# Cuk DC-DC converter

## Negative DC power supply

DC analysis:  $V_{C1} = V_d + V_o$  note: ( $V_{C1} > V_d$ )

**Assumption:** Large C1 (Voltage almost constant)

**Switch OFF:** C1 is charged through L1 and the input, Diode ON, L2 supplies energy to R (currents in L1 and L2 decrease)

**Switch ON:** L1 receives energy, Diode OFF, C supplies current to R, C1 gives energy to L2 (currents in L1 and L2 increase)

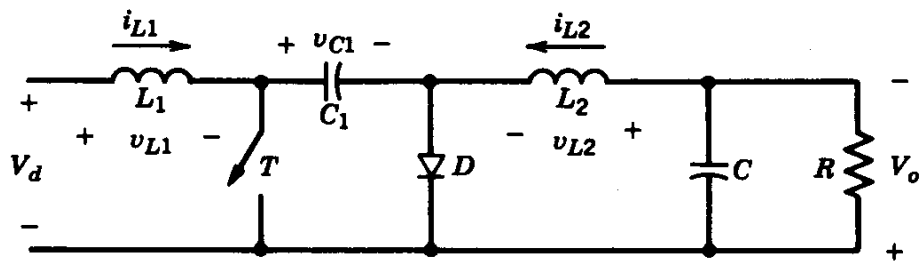


Figure 7-25 Cuk converter.

# Cuk DC-DC converter

## Negative DC power supply

DC analysis:  $V_{C1} = V_d + V_o$  note: ( $V_{C1} > V_d$ )

**Assumption:** Large C1 (Voltage almost constant)

**Switch OFF:** C1 is charged through L1 and the input, Diode ON, L2 supplies energy to R (currents in L1 and L2 decrease)

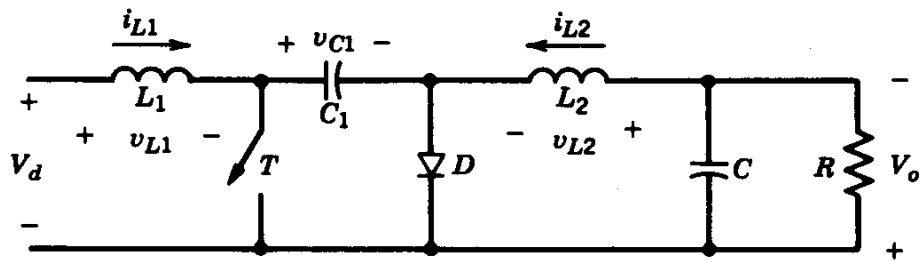


Figure 7-25 Cuk converter.

# Full bridge DC-DC converter

## Applications:

- DC motor drives
- DC to AC conversion in UPS
- DC to AC conversion in transformer isolated power supply

Fixed  $V_d$ .

Control polarity and amplitude of  $V_o$

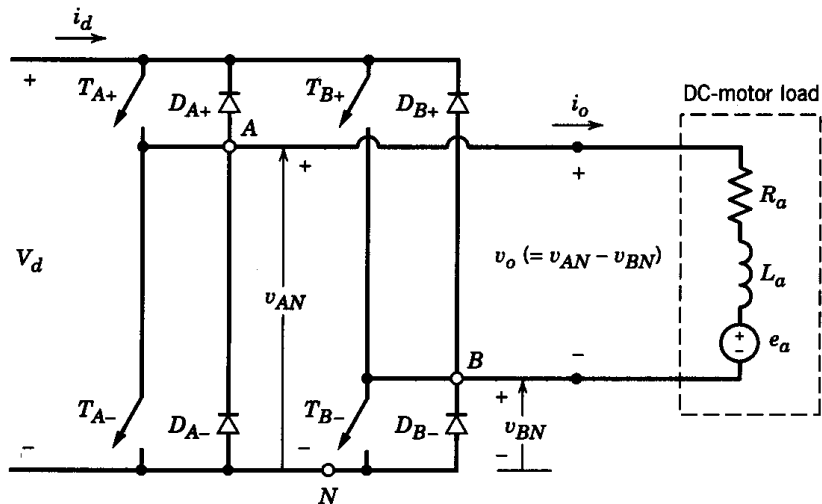


Figure 7-27 Full-bridge dc–dc converter.

Two legs: A and B. **Only one switch** in each leg is ON at any time

## Cuk

### Periodic conditions in L1

$$V_d DT_s + (1 - D)T_s(V_d - V_{C1}) = 0$$

$$V_{C1} = \frac{V_d}{1 - D}$$

### Periodic conditions in L2

$$(V_{C1} - V_o)DT_s - V_o(1 - D)T_s = 0$$

$$V_{C1} = \frac{V_o}{D}$$

Therefore

$$\frac{V_o}{V_d} = \frac{D}{1 - D}$$

**Pro:** currents

in L1 and L2 ripple free

**Con:** C1 must be large

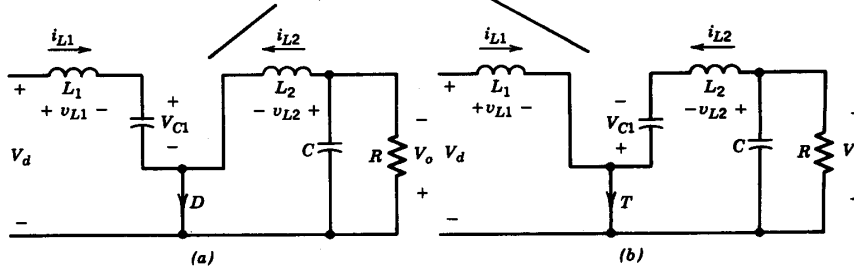
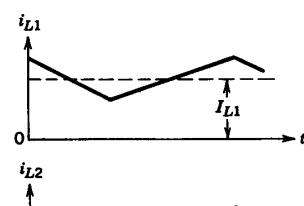
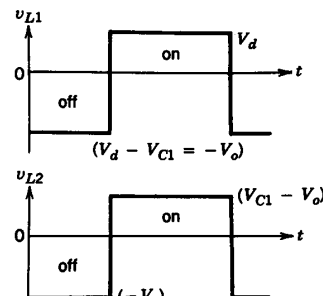


Figure 7-26 Cuk converter waveforms: (a) switch off; (b) switch on.

## PWM with bipolar voltage switching

When  $v_{control} > v_{tri}$ ,  
TA+ and TB- are **ON**

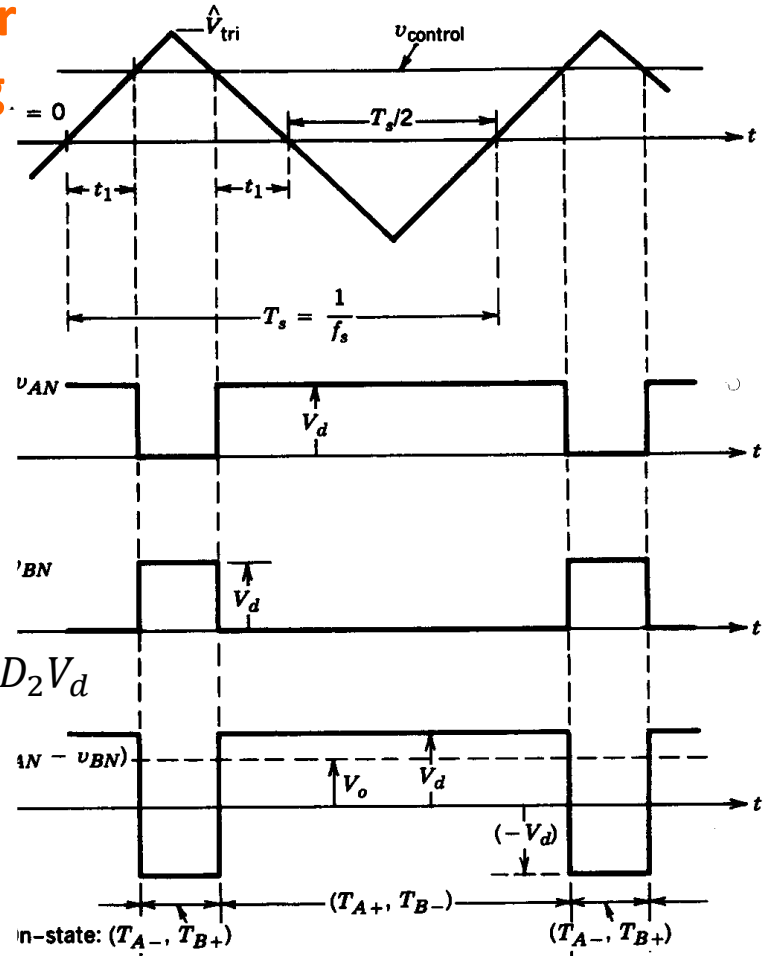
Duty cycle

$$D_1 = \frac{1}{2} + \frac{v_{control}}{\widehat{V}_{tri}} \frac{1}{2}$$

When  $v_{control} < v_{tri}$ ,  
TA- and TB+ are **ON**

$$D_2 = 1 - D_1$$

$$\begin{aligned} V_o &= V_{AN} - V_{BN} = D_1 V_d - D_2 V_d \\ &= (2D_1 - 1)V_d \\ &= \frac{V_d}{\widehat{V}_{tri}} v_{control} \end{aligned}$$



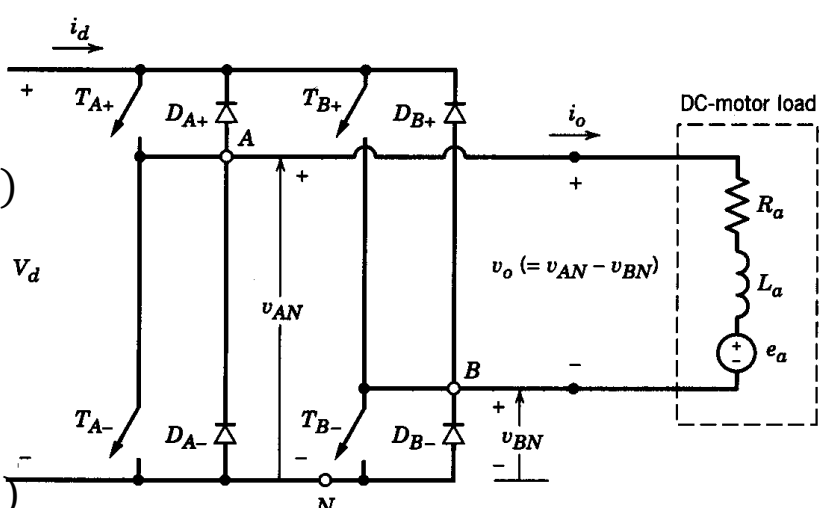
## Full bridge DC-DC converter

When switch TA+ is on:

$i_o > 0$ :  $i_o$  through TA+

$i_o < 0$ :  $i_o$  through DA+

$V_{AN} = V_d \text{dutycycle}(TA^+)$



When switch TB+ is on:

$i_o < 0$ :  $i_o$  through TB+

$i_o > 0$ :  $i_o$  through DB+

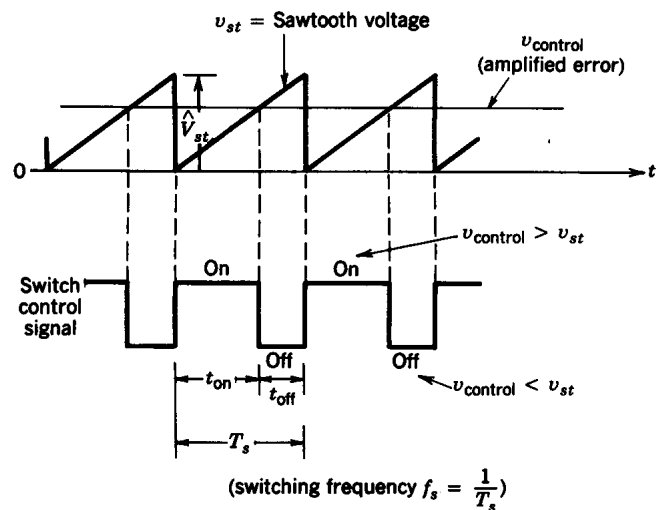
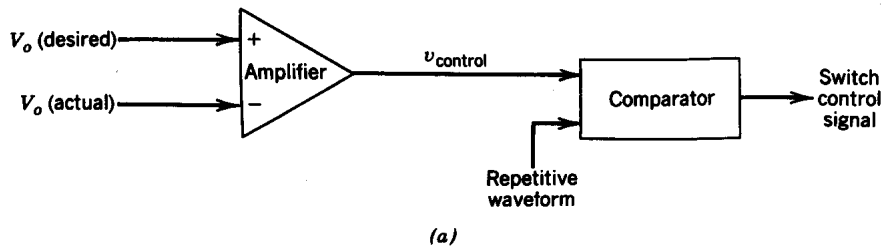
$V_{BN} = V_d \text{dutycycle}(TB^+)$

Figure 7-27 Full-bridge dc-dc converter.

$$V_o = V_{AN} - V_{BN}$$

Four quadrant operation  
on  $V_o, I_o$

# PWM signal generation



## PWM with unipolar voltage switching

When  $v_{control} > v_{tri}$ , TA+ and TB- are ON

Duty cycle

$$D_1 = \frac{1}{2} + \frac{v_{control}}{\widehat{V}_{tri}} \frac{1}{2}$$

When  $-v_{control} < v_{tri}$ , TA- and TB+ are ON

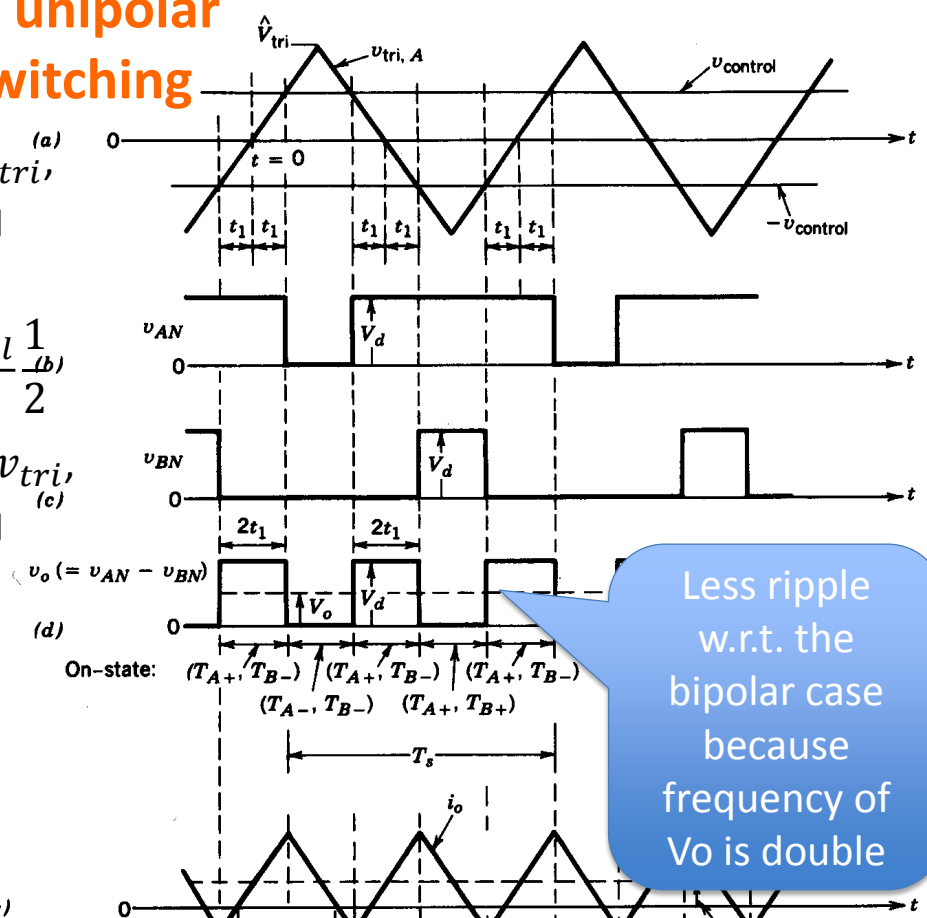
$$D_2 = 1 - D_1$$

$$V_o = V_{AN} - V_{BN}$$

$$= D_1 V_d - D_2 V_d$$

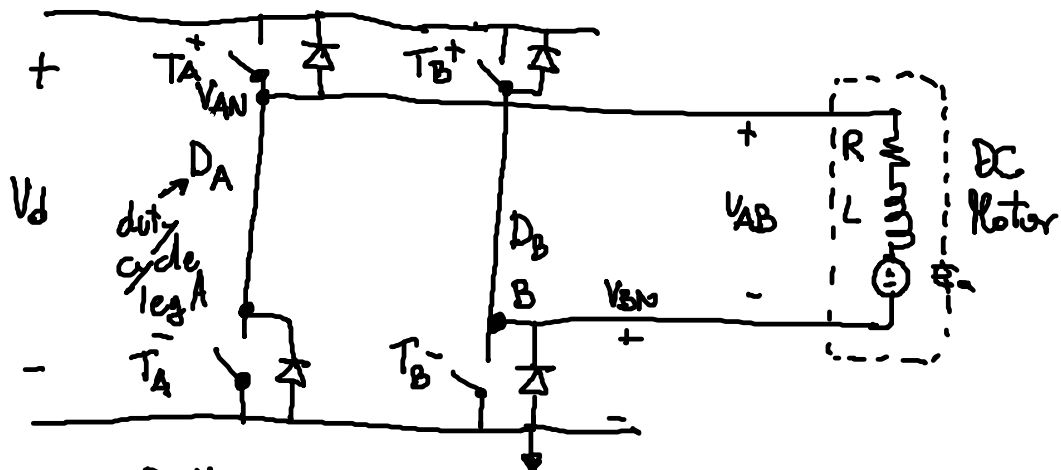
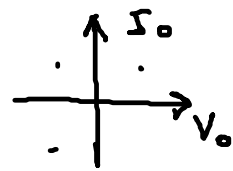
$$= (2D_1 - 1)V_d$$

$$= \frac{V_d}{\widehat{V}_{tri}} v_{control}$$



# Pulse Bridge DC DC Converter

11 May 2015 14:08

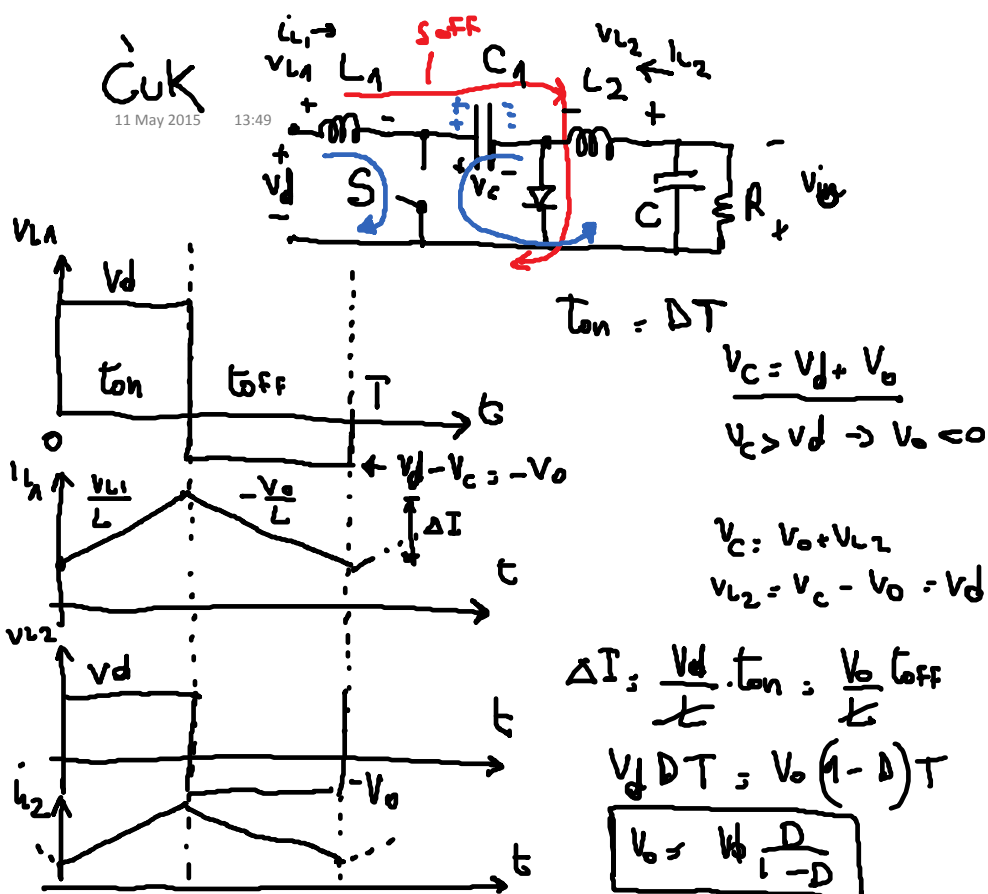


$$\langle V_{AN} \rangle = D_A V_d$$

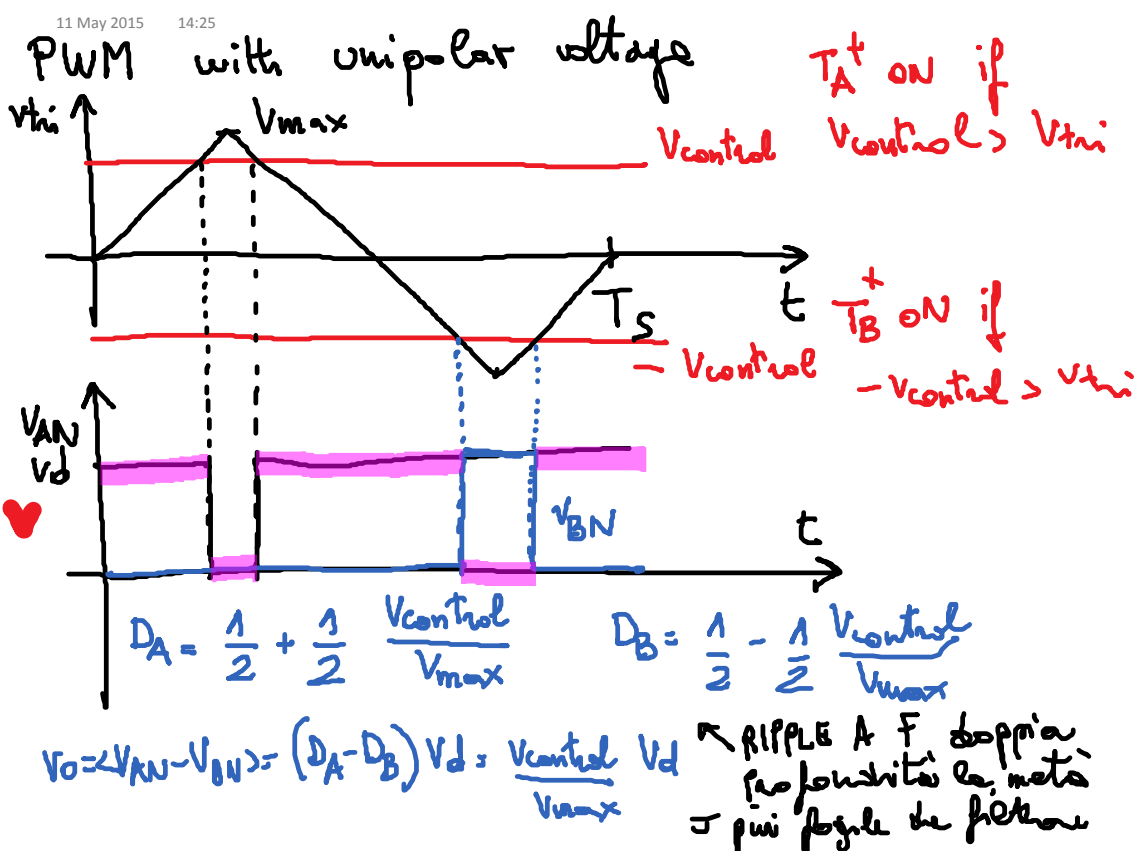
$$\langle V_{BN} \rangle = D_B V_d \rightarrow \langle V_{AB} \rangle = \langle V_{AN} \rangle - \langle V_{BN} \rangle = (D_A - D_B) V_d$$

Controls  $\rightarrow$  PWM Pulse Width Modulation  $\left\{ \begin{array}{l} \text{BIPOLAR V} \\ \text{UNIPOLAR V} \end{array} \right.$

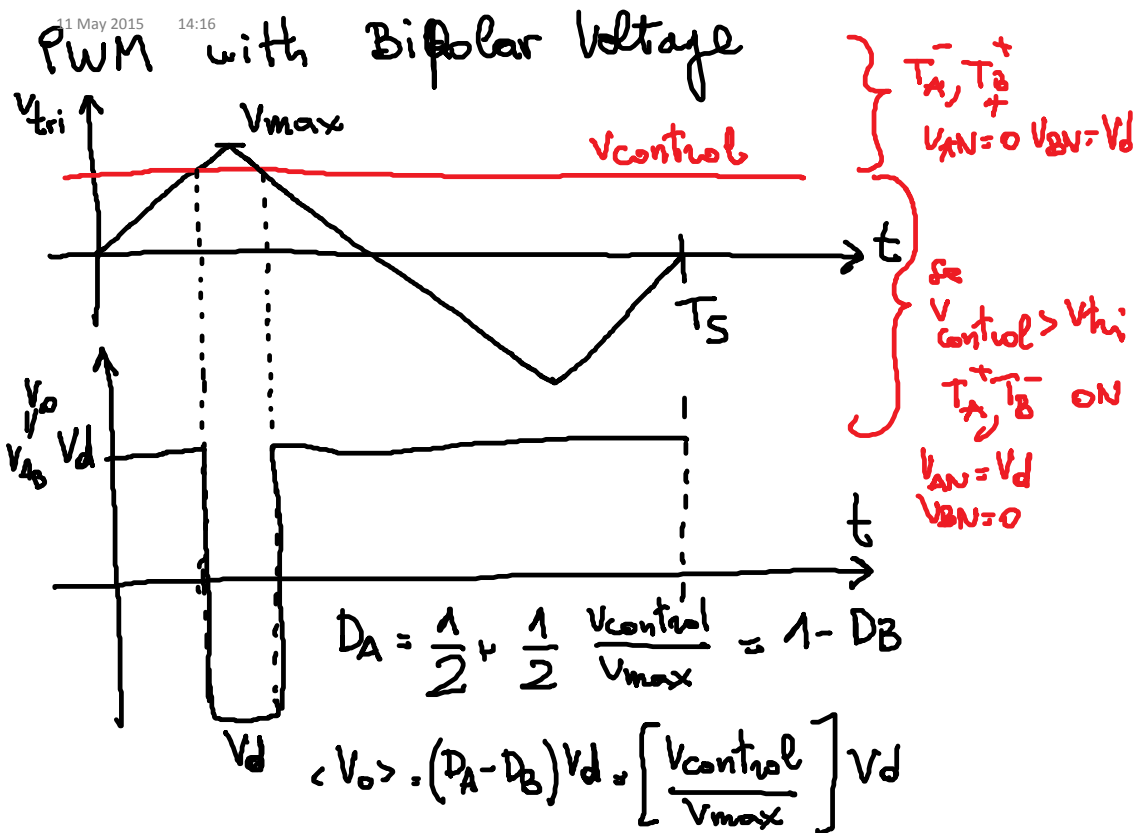
Convertitori Pagina 54



Convertitori Pagina 53



Convertitori Pagina 56



Convertitori Pagina 55

# Limits

→ SSL Slow switching limit [low  $f_s$ ]

→ C's reach their final charge state during each phase

→ we can discard power dissipation in  $R_S$

→ FSL Fast Switching limit [high  $f_s$ ]

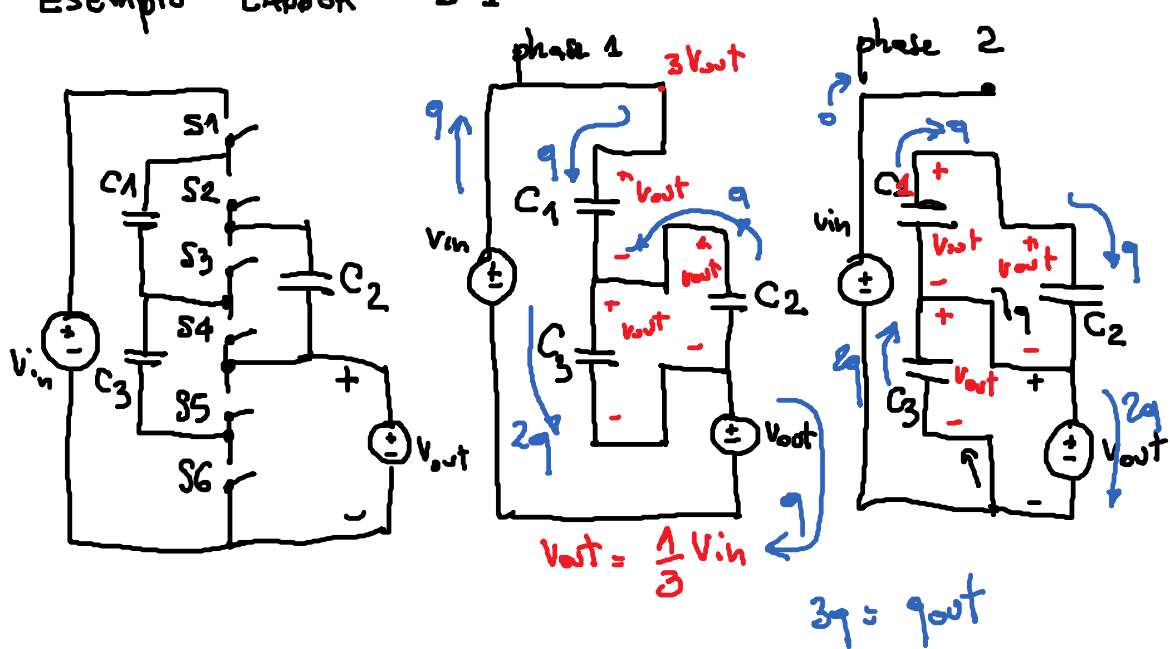
→ C's charge does not change during each phase.

Convertitori Pagina 58

## Convertitori DCDC · inductorless

Esempio : LADDER

3:1



Convertitori Pagina 57

# SSL

11 May 2015 15:13

charge multiplier vectors

$$\underline{\text{phase}} \rightarrow \underline{\alpha}^{(1)} = \begin{bmatrix} a_{\text{out}}^{(1)} & a_{C_1}^{(1)} & a_S^{(1)} & \dots & a_{C_N}^{(1)} & a_{in}^{(1)} \end{bmatrix}$$

↑  
frazione della carica che viene  
fornita in uscita per alcun periodo

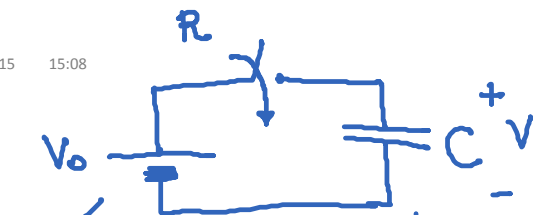
per ladder 3:1

$$\underline{\alpha}^{(1)} = \begin{bmatrix} \frac{1}{3} & \frac{1}{3} & -\frac{1}{3} & \frac{2}{3} & \frac{1}{3} \end{bmatrix}$$

$$\underline{\alpha}^{(2)} = \begin{bmatrix} \frac{2}{3} & -\frac{1}{3} & \frac{1}{3} & -\frac{2}{3} & 0 \end{bmatrix}$$

Convertitori Pagina 60

11 May 2015 15:08



$$i(t) = \frac{V_o}{R} e^{-\frac{t}{RC}}$$

$$E = \underline{\frac{1}{2} C V_o^2}$$

$$\int_0^\infty V_o i(t) dt = \underline{\frac{V_o^2}{R} RC = C V_o^2}$$

$$\int_0^\infty R i^2(t) dt = \frac{V_o^2}{R} \int_0^\infty e^{-\frac{2t}{RC}} dt = \frac{V_o^2}{R} \frac{RC}{2} = \underline{\frac{1}{2} C V_o^2}$$

Convertitori Pagina 59

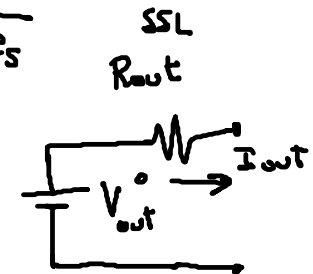
$$\Delta V_{out} = V_{out} - V_{out}^{\circ} = - \sum_{i \in cap} \left[ v_{ci}^{(1)} - v_{ci}^{(2)} \right] a_{ci}$$

$$\frac{a_{ci} q_{out}}{C_i}$$

$$\Delta V_{out} = - \sum_{i \in cap} \frac{(a_{ci})^2 q_{out}}{C_i}$$

$$q_{out} = \frac{I_{out}}{f_s}$$

$$\Delta V_{out} = - \left[ \sum_{i \in cap} \frac{a_{ci}^2}{C_i f_s} \right] I_{out}$$



## Teorema di Tellegen

$$\sum v_i i_i = 0$$

$$V_{out} i_{out} + \sum_{i \in cap} v_{ci} i_{ci} + V_{in} i_{in} = 0$$

phase 1.  $V_{out} a_{out} + \sum_{i \in cap} v_{ci}^{(1)} a_{ci}^{(1)} + V_{in} a_{in}^{(1)} = 0$

+

phase 2  $V_{out} a_{out}^{(2)} + \sum_{i \in cap} v_{ci}^{(2)} a_{ci}^{(2)} + V_{in} a_{in}^{(2)} = 0$

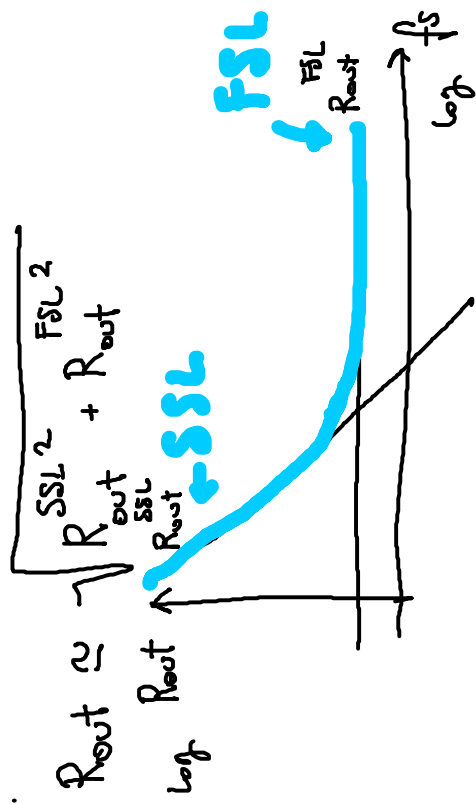
N.B.  $a_{out}^{(1)} + a_{out}^{(2)} = 1$

$a_{ci}^{(1)} = -a_{ci}^{(2)} = a_{ci}$

sum: phase 1 + phase 2

$$V_{out} + \sum_{i \in cap} a_{ci} [v_{ci}^{(1)} - v_{ci}^{(2)}] + V_{in} [a_{in}^{(1)} + a_{in}^{(2)}] = 0$$

$$R_{\text{out}} = 4 \sum_{i \in \text{switch}} R_i a_{s,i}^2 + 4 \sum_{i \in \text{switch}} R_i \left[ a_{s,i}^{(m)} + a_{s,i}^{(o)} \right]^2$$



11 May 2015 15:48

## FSL

11 May 2015 15:39

$R_i$  resistance of Switch  $s_i$

- charge multiplier vectors

$$\vec{a}_s^{(1)} = \begin{bmatrix} s_1 & s_2 & s_3 & s_4 & s_5 & s_6 \\ \frac{1}{3} & 0 & \frac{1}{3} & 0 & -\frac{2}{3} & 0 \end{bmatrix}$$

$$\vec{a}_s^{(2)} = \begin{bmatrix} 0 & \frac{1}{3} & 0 & \frac{1}{3} & 0 & -\frac{2}{3} \\ I_{\text{out}} & \end{bmatrix}$$

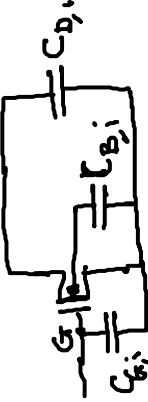
switch  $s_i$   $i_{s,i}^{(1)} = 2 a_{s,i}^{(1)} q_{\text{out}} f_{\text{S}}$   $\leftarrow$  average current in  $s_i$  during

$$R_{\text{FSL}}^0 = \sum_{i \in \text{switch}} R_i i_{s,i}^{(2)} = \sum_{i \in \text{switch}} 4 R_i a_{s,i}^2 I_{\text{out}}^2 \text{ phase } 1$$

⇒ Switching Loss

$$P_{SW} = f_s \sum_{i \in \text{switch}} C_{G,i} V_{D,i}^2 + C_{D,i} V_{S,i}^2 + C_{B,i} V_{B,i}^2$$

$$P_{SW} \propto f_s, A_{SW}$$



## ) Equivalent Series Resistance

$$P_{ESR} = R_{ESR} I_{out}^2$$

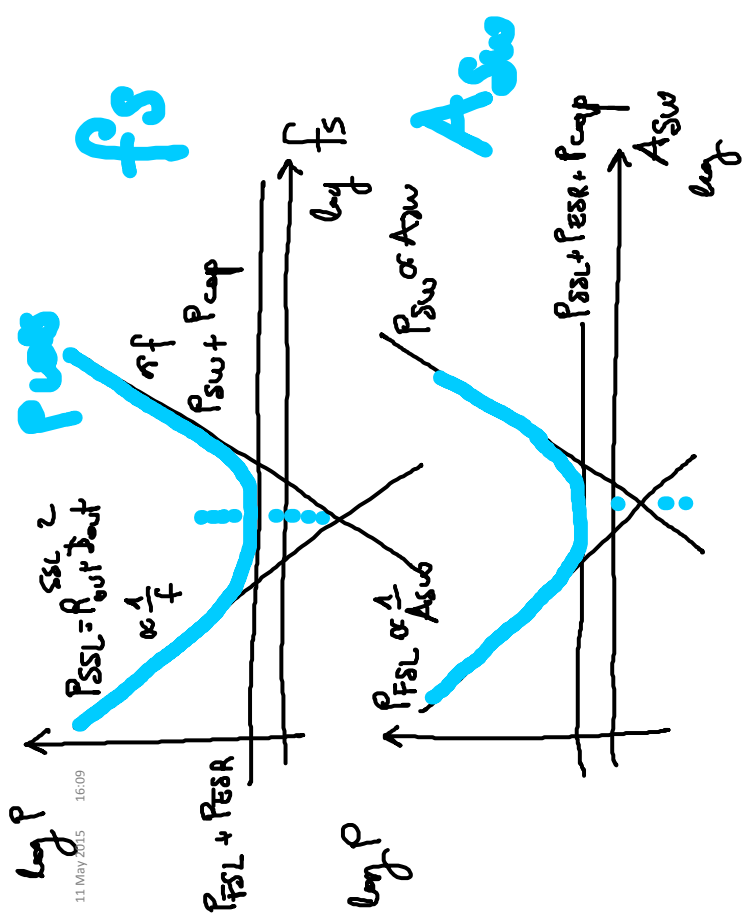
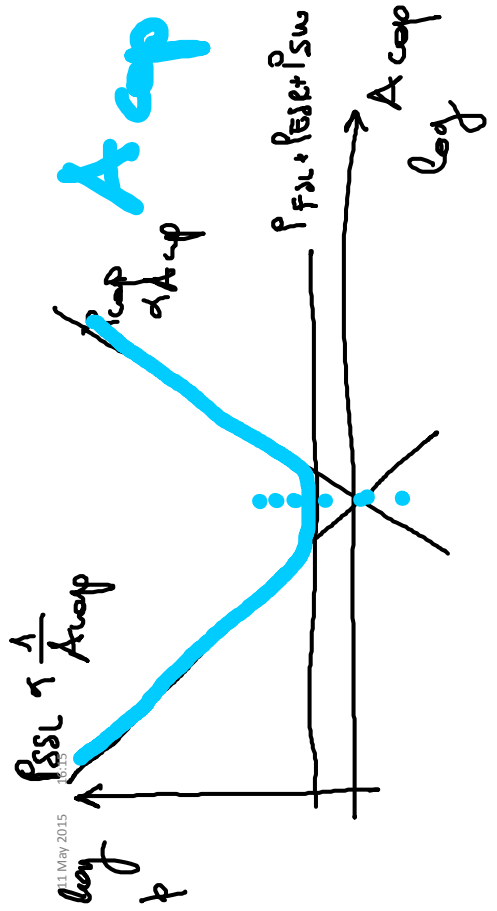
$$P_{Loss} = R_{out} I_{out}^2 + P_{SW} + P_{ESR} + P_{Cap}$$

$$\gamma = \frac{V_{out} I_{out}}{V_{out} I_{out} + P_{loss}} \approx \underline{50\% - 90\%}$$

$$\frac{1}{C_{par}} = \frac{1}{\sum_{i \in \text{cap}} C_{G,i}} + \frac{1}{\sum_{i \in \text{cap}} C_{B,i}}$$

$$P_{Cap} = f_s \sum_{i \in \text{cap}} C_{G,i} V_{D,i}^2 + C_{B,i} V_{B,i}^2$$

$$P_{Cap} \propto f_s, A_{Cap}$$



13 May 2015 08:56  
 Raggiungibilità . Controllabilità . Osservabilità

→ di un sistema lineare e stazionario

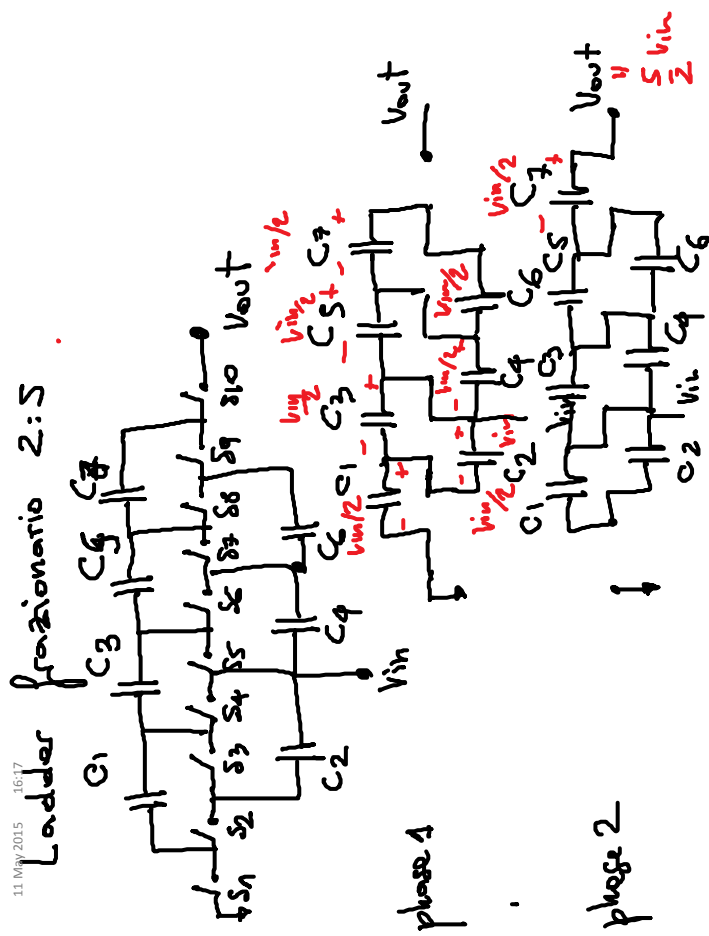
$$\left\{ \begin{array}{l} \dot{x}(t) = Ax(t) + Bu(t) \\ y(t) = Cx(t) + Du(t) \end{array} \right. \quad \begin{array}{l} \vec{u}: m \text{ ingressi} \\ \vec{x}: n \text{ stati} \\ \vec{y}, l \text{ uscite} \end{array}$$

TC:

$$\left\{ \begin{array}{l} x(k+1) = Ax(k) + Bu(k) \\ y(k) = Cx(k) + Du(k) \end{array} \right.$$

TD:

Controllabilità etc Pagina 70

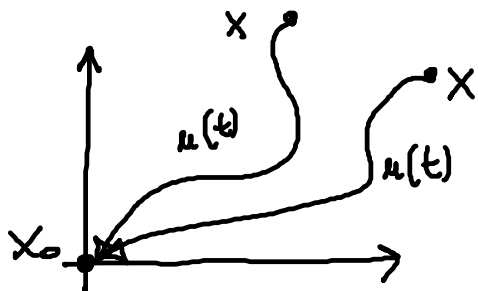


## Controllabilità

13 May 2015 09:06

DEF un sistema è CONTROLLABILE se

a partire da un qualsiasi stato  $x$  esiste  
una opportuna azione di controllo in grado di  
portare il sistema nello stato  $x_0$

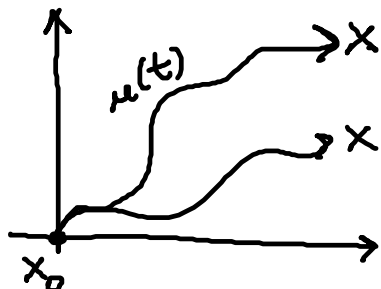


Controllabilità etc Pagina 72

## Raggiungibilità

13 May 2015 09:08

DEF Un sistema è RAGGIUNGIBILE se  
partendo da un qualsiasi stato iniziale  $x_0$   
si può raggiungere un qualsiasi stato finale  $x$   
con una opportuna azione di controllo



Controllabilità etc Pagina 71

il sistema è raggiungibile se  $\text{Rank}(R) = n$

↳ ogni stato può essere raggiunto in  $n$  passi

se  $\text{Rank}[R] < n$  sono raggiungibili solo gli stati  $\in \text{Image}\{R\}$   
 [PARZIALMENTE RAGGIUNGIBILE]

## Condizioni di raggiungibilità

$$x(0) = x_0$$

$$x(1) = Ax(0) + Bu(0) = Ax_0 + Bu(0)$$

$$x(2) = Ax(1) + Bu(1) = Ax_0 + A^2x_0 + ABu(0) + Bu(1)$$

$$x(3) = Ax(2) + Bu(2) = A^3x_0 + A^2Bu(0) + ABu(1) + Bu(2)$$

$$x(k) = Ax_0 + \sum_{i=1}^k A^{k-i}Bu(i-1)$$

Se  $k=n$

il sistema  
è raggiungibile  
se  $\forall x(u)$  esiste

$$\underbrace{x(n) - Ax_0}_{n \times 1} = \underbrace{\begin{bmatrix} B & AB & \cdots & A^{n-1}B \end{bmatrix}}_{n \times mn} \underbrace{\begin{bmatrix} u(n-1) \\ u(n-2) \\ \vdots \\ u(0) \end{bmatrix}}_{mn \times 1}$$

MATRICE DI RAGGIUNGIBILITÀ ( $R$ )

una soluzione

# Osservabilità

13 May 2015 09:32

DEF un sistema è OSSERVABILE se

- conoscendo  $u(t)$  da  $t=t_0$  a  $t=t_f$
  - conoscendo  $y(t)$  da  $t=t_0$  a  $t=t_f$
- siano in grado di ricavare lo stato iniziale  $x(t_0)$

Controllabilità etc Pagina 76

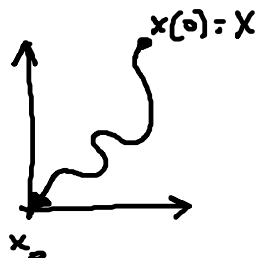
# Controllabilità

13 May 2015 09:23

$$[x(n) - A^n x_0] = R \begin{bmatrix} u(n-1) \\ \vdots \\ u(0) \end{bmatrix}$$

$x(0) = X$  < genere

$x(n) = x_0$  < origine



$$x_0 - A^n x = R \begin{bmatrix} u(n-1) \\ \vdots \\ u(0) \end{bmatrix}$$

le soluzioni esiste se  $\text{Image}(A) \subset \text{Image}(R)$

[il sistema è controllabile  $\Rightarrow$ ]

$\Rightarrow \det(A) \neq 0$  Reggeabilità e Controllabilità coincidono  
 $\Rightarrow$  Se un sistema è reggibile allora è anche controllabile

Controllabilità etc Pagina 75

13 May 2015 00:46  
 Se  $\text{Rank}(\Theta) = n$  il sistema è  
 [completamente] osservabile  
 (la soluzione è unica)

Se  $\text{Rank}(\Theta) < n$  il sistema è  
 PARZIALMENTE OSSERVABILE  
 [gli stati  $x_1, \dots, x_n$  ∈  $\text{Ker}(\Theta)$  non  
 sono osservabili]

$$\Theta(\tilde{x}) = \Theta(\tilde{x} - x_{\text{no}})$$

Controllabilità etc Pagina 78

$$\begin{cases} x(k+1) = Ax(k) + Bu(k) \\ y(k) = Cx(k) + Du(k) \end{cases}$$

$$y(0) = Cx(0) + Du(0)$$

$$y(1) = Cx(1) + Du(1) = CAx(0) + CBu(0) + Du(1)$$

$$y(2) = Cx(2) + Du(2) = CAx(1) + CBu(1) + Du(2)$$

$$= CA^2x(0) + CABu(0) + CBu(1) + Du(2)$$

$$y(k) = CA^kx(0) + \left[ \sum_{i=1}^{k-1} CA^{k-i}Bu(i-1) \right] + Du(k)$$

Sistema

$$\rightarrow \begin{bmatrix} y(0) - Du(0) \\ y(1) - CBu(0) - Du(1) \\ \vdots \\ y(n-1) - \sum_{i=1}^{n-1} CA^{n-i}Bu(i-1) - Du(n-1) \end{bmatrix} = \begin{bmatrix} C \\ CA \\ \vdots \\ CA^{n-1} \end{bmatrix} x(0)$$

$\Theta$   
 MATRICE DI  
 OSSERVABILITÀ

Controllabilità etc Pagina 77

# Forma standard di raggiungibilità

13 May 2015 09:58

$$T = \begin{bmatrix} T_1 & T_2 \\ \uparrow & \downarrow \\ \text{base dello spazio raggiungibile} & \text{base dello spazio n.r.} \end{bmatrix}$$

$x = Tx'$   
 $x' \left\{ \begin{array}{l} x_1 \\ x_2 \end{array} \right\} \leftarrow r$

$$\left\{ \begin{array}{l} \begin{bmatrix} x_1(k+1) \\ x_2(k+1) \end{bmatrix} = \begin{bmatrix} A_{11} & A_{12} \\ A_{21} & A_{22} \end{bmatrix} \begin{bmatrix} x_1(k) \\ x_2(k) \end{bmatrix} = \begin{bmatrix} B_1 \\ B_2 \end{bmatrix} u(k) \\ y(k) = \begin{bmatrix} C_1 & C_2 \end{bmatrix} \begin{bmatrix} x_1(k) \\ x_2(k) \end{bmatrix} = Du(k) \end{array} \right.$$

ge. stati  $x_2$  (n.r.) evolvono liberamente e non dipendono da  $u$

Controllabilità etc Pagina 80

## Cambio di base degli stati

$$\underbrace{x = Tx'}_{\left\{ \begin{array}{l} x(k+1) = Ax(k) + Bu(k) \\ y(k) = Cx(k) + Du(k) \end{array} \right.} \quad x' = \bar{T}^{-1}x$$

$$\left\{ \begin{array}{l} \bar{x}'(k+1) = \bar{T}^{-1}A\bar{T}x'(k) + \bar{T}^{-1}Bu(k) \\ y(k) = C\bar{T}x'(k) + Du(k) \end{array} \right. \quad \left| \begin{array}{l} \bar{A}' = \bar{T}^{-1}A\bar{T} \\ \bar{B}' = \bar{T}^{-1}B \\ \bar{C}' = CT \\ \bar{D}' = D \end{array} \right.$$

$$\left\{ \begin{array}{l} \bar{x}'(k+1) = \bar{A}'\bar{x}'(k) + \bar{B}'u(k) \\ y(k) = \bar{C}'\bar{x}'(k) + \bar{D}u(k) \end{array} \right.$$

è lo stesso sistema dopo il cambiamento di base degli stati

Controllabilità etc Pagina 79

## Forma canonica di Kalman

13 May 2015 10:15

$$T = \begin{bmatrix} T_1 & T_2 & T_3 & T_4 \end{bmatrix} \rightarrow x^1 = \begin{bmatrix} x_1 \\ \vdots \\ x_2 \\ \vdots \\ x_3 \\ \vdots \\ x_4 \end{bmatrix} \quad \begin{array}{l} n.o \\ r \\ o \\ n.r \\ n.r \\ n.r \\ o \\ n.r \end{array}$$

$\left[ \text{ker}(D) \cap \mathbb{M}_n(R) \right]$

$$\begin{bmatrix} x_1(k+1) \\ x_2(k+1) \\ x_3(k+1) \\ x_4(k+1) \end{bmatrix} = \begin{bmatrix} A_{11} & A_{12} & A_{13} & A_{14} \\ 0 & A_{22} & 0 & A_{24} \\ 0 & 0 & A_{33} & A_{34} \\ 0 & 0 & 0 & A_{44} \end{bmatrix} \begin{bmatrix} x_1(k) \\ x_2(k) \\ x_3(k) \\ x_4(k) \end{bmatrix} + \begin{bmatrix} B_1 \\ \vdots \\ B_2 \\ 0 \\ 0 \end{bmatrix} u(k)$$

$$y(k) = \begin{bmatrix} 0 & C_2 & 0 & C_4 \end{bmatrix} \begin{bmatrix} x_1(k) \\ x_2(k) \\ x_3(k) \\ x_4(k) \end{bmatrix} + D u(k)$$

Controllabilità etc Pagina 82

## Forma standard di osservabilità

13 May 2015 10:10

$$x^1 = \begin{bmatrix} x_1 \\ x_2 \end{bmatrix}$$

$$T = \begin{bmatrix} T_1 & T_2 \end{bmatrix}$$

$\uparrow$                        $\uparrow$   
 base                      spazio  
 spazio                      n.o.  
 oss.                       $(\text{ker}(D))$

$$\begin{bmatrix} x_1(k+1) \\ x_2(k+1) \end{bmatrix} = \begin{bmatrix} A_{11} & A_{12} \\ A_{21} & A_{22} \end{bmatrix} \begin{bmatrix} x_1(k) \\ x_2(k) \end{bmatrix} = \begin{bmatrix} B_1 \\ \vdots \\ B_2 \end{bmatrix} u(k)$$

$$y(k) = \begin{bmatrix} c_1 & \textcircled{C_2} & 0 \end{bmatrix} \begin{bmatrix} x_1(k) \\ x_2(k) \end{bmatrix} + D u(k)$$

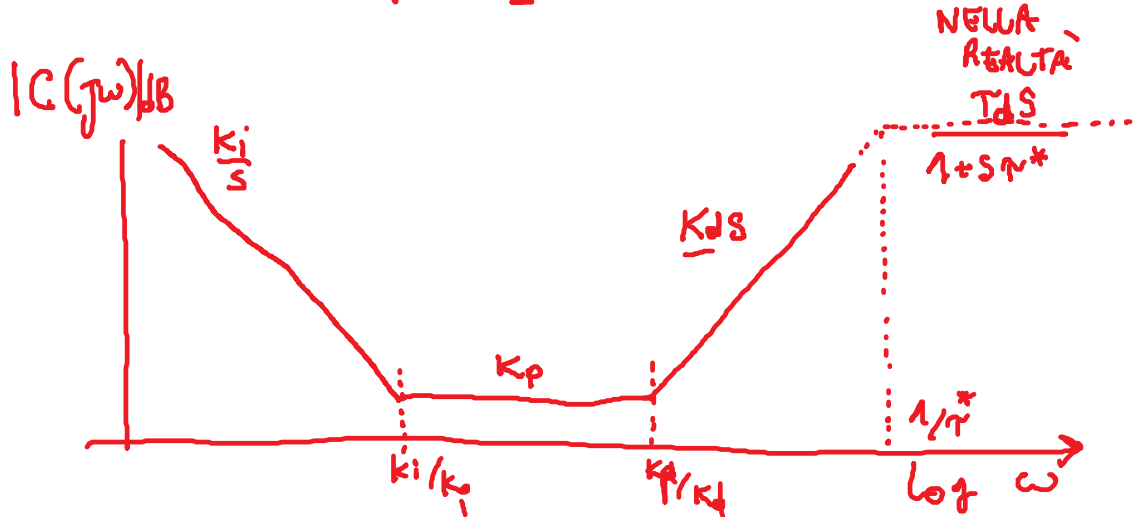
Controllabilità etc Pagina 81

# Controllore PID

18 May 2015 14:14

$$C(s) = K_p + \frac{K_i}{s} + K_d s = K_p \left[ 1 + \frac{1}{s\tau_i} + \gamma_d s \right]$$

↑      ↑      ↑  
P      I      D

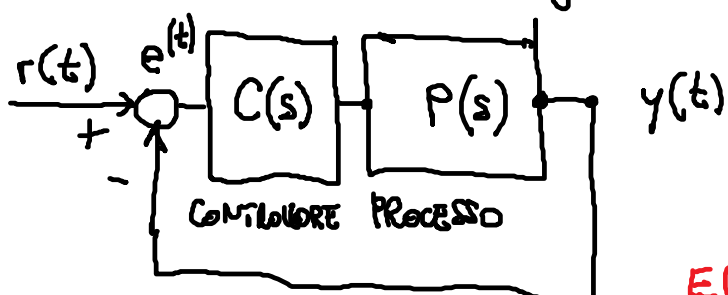


Controllabilità etc Pagina 84

## Controllori

18 May 2015 14:06

PID = derivativo  
proportionale integrativo



$$E(s) = R(s) - Y(s)$$

$$e(t) = r(t) - y(t) \quad \text{errore}$$

$$Y(s) = PC E(s)$$

OBIETTIVI periferie

- 1) minimizzare  $|e|$ ,  $|e^2|$ , ...
- 2) sistema stabile
- 3) minimizzare il tempo di risposta

$$Y = PC(R - Y)$$

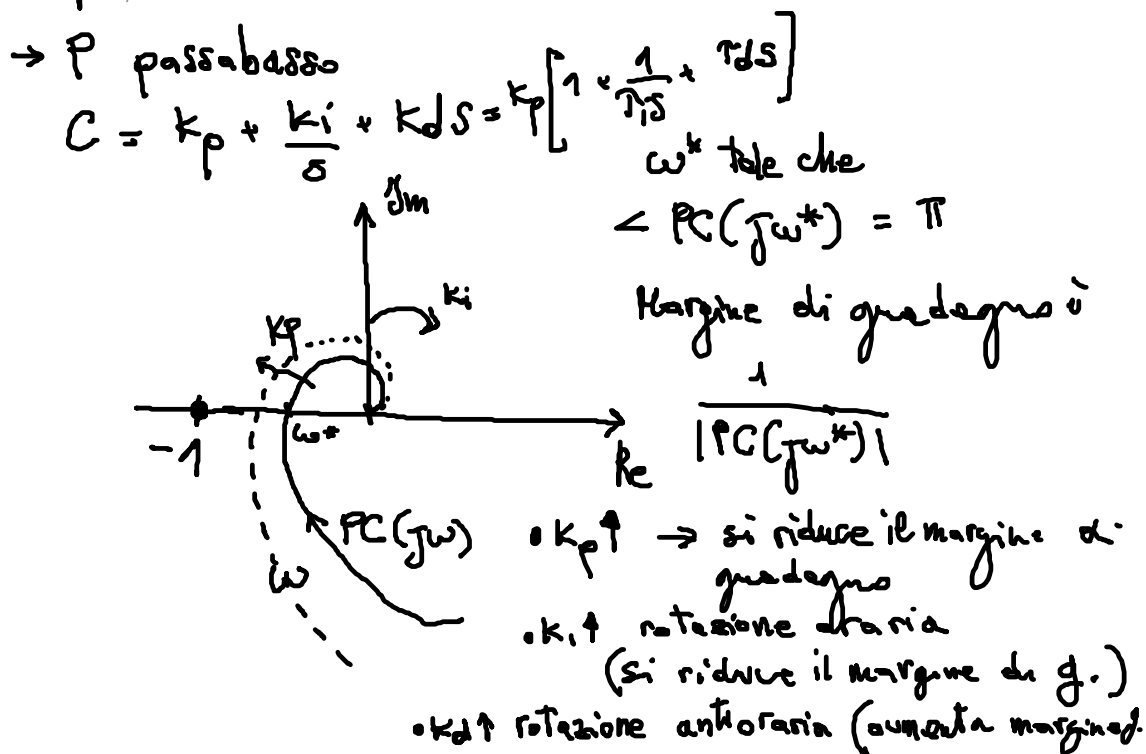
$$(1 + PC)Y = PCR$$

$$Y = \left[ \frac{PC}{1 + PC} \right] R \quad E = \frac{R}{1 + PC}$$

Controllabilità etc Pagina 83

# Effetto sulla stabilità

18 May 2015 14:25



Controllabilità etc Pagina 86

## Risposta al gradino

18 May 2015 14:19

$$R = \frac{1}{s} \quad E = \frac{R}{1 + C(s)}$$

$$\lim_{t \rightarrow \infty} e(t) = \lim_{s \rightarrow 0} sE = \lim_{s \rightarrow 0} \frac{1}{1 + C(s)P(s)}$$

⇒ se C ha la componente integrativa allora

$$\lim_{s \rightarrow 0} C \rightarrow \infty \quad \text{e quindi} \quad \lim_{t \rightarrow \infty} e(t) = 0$$

⇒ se C non ha componente integrativa

$$\lim_{t \rightarrow \infty} e(t) = \frac{1}{1 + k_p P(0)} \quad \leftarrow \text{OFFSET del sistema}$$

Controllabilità etc Pagina 85

# CONTROLLORE INDUSTRIALE

18 May 2015 14:40

$$u(s) = K_p \left[ R(s) - Y(s) \right] + \frac{K_i}{s} \left[ dR(s) - Y(s) \right] + K_d s \left[ \beta R(s) - Y(s) \right]$$

$$u(s) = \underbrace{\left[ K_p + \frac{K_i d}{s} + K_d \beta s \right]}_{C'} R(s) - \underbrace{\left[ K_p + \frac{K_i}{s} + K_d s \right]}_C Y(s)$$

2 g. PdL  
che libera  
in più

c' invece di C

$$Y = \frac{P C'}{1 + P C} R$$

C agisce sui poli delle fkt  
C' agisce sugli zeri delle fkt

Controllabilità etc Pagina 88

## PSEUDO CODICE

18 May 2015 14:36

$$i = 0$$

$$e\_old = 0$$

```

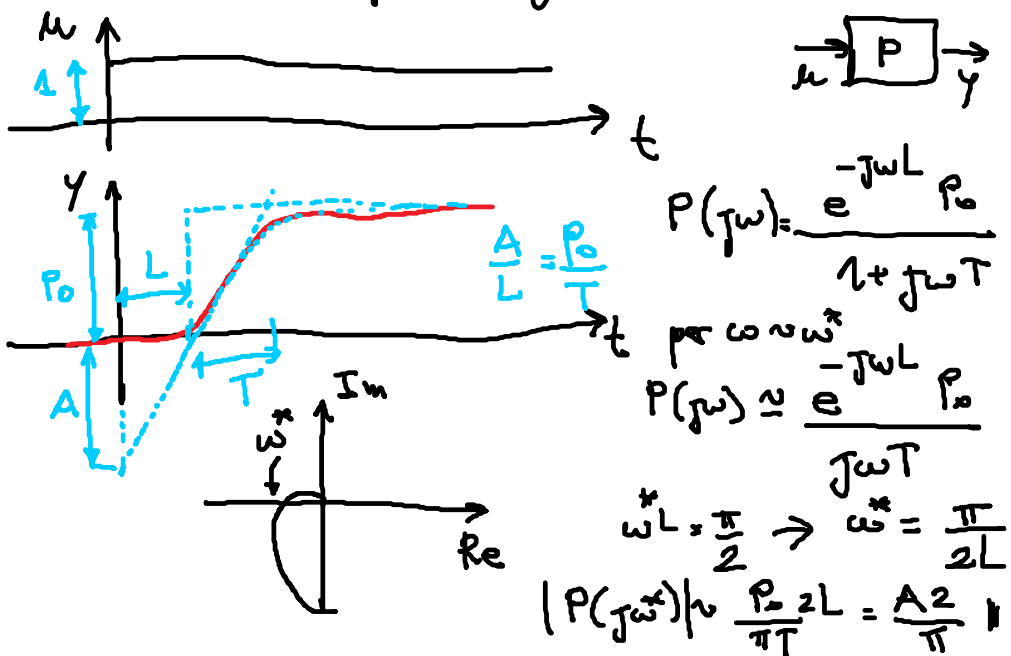
    forever do
        e = satpoint - actual_position
        i = i + e * dt
        d = (e - e_old) / dt
        u = K_p * e + K_i * i + K_d * d
        e_old = e
        wait(dt)
    end do
  
```

Controllabilità etc Pagina 87

# Ziegler - Nichols a Ciclo APERTO

18 May 2015 14:58

→ misura le risposte al gradito di  $P(s)$



Controllabilità etc Pagina 90

## Metodo di Ziegler-Nichols (41)

18 May 2015 14:49

→ CICLO CHIUSO

$H_p$   $P(s)$  stabile e  $P(0) > 0$

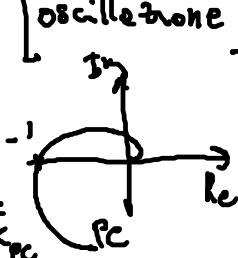
1) si chiude il sistema in feedback con  $C$  proporzionale e si aumenta  $k_p$  finché il sistema comincia a oscillare

2) prendo note di  $k_p$ ,  $k_{pC}$ ,  $T_c$  [periodo di oscillazione]

3) P :  $k_p = 0.5 k_{pC}$  [margine di guadagno: 2]

PI :  $k_p = 0.45 k_{pC}$   $T_i = 0.8 T_c$

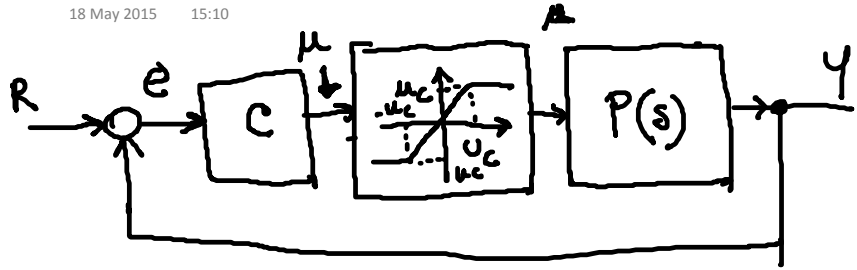
PID :  $k_p = 0.5 k_{pC}$ ,  $r_i = 0.5 T_c$ ,  $r_d = 0.125 \frac{T_c}{k_{pC}}$



Controllabilità etc Pagina 89

# Problema del "wind up"

18 May 2015 15:10



- ⇒ Ci sono problemi se C ha una componente integrativa
- ⇒ bisogna inibire l'integratore se  $u > u_c$ .

Controllabilità etc Pagina 92

18 May 2015 15:07

$$\text{Se } P \quad k_p = \frac{1}{A} \quad PC(j\omega^*) = \frac{2}{\pi}$$

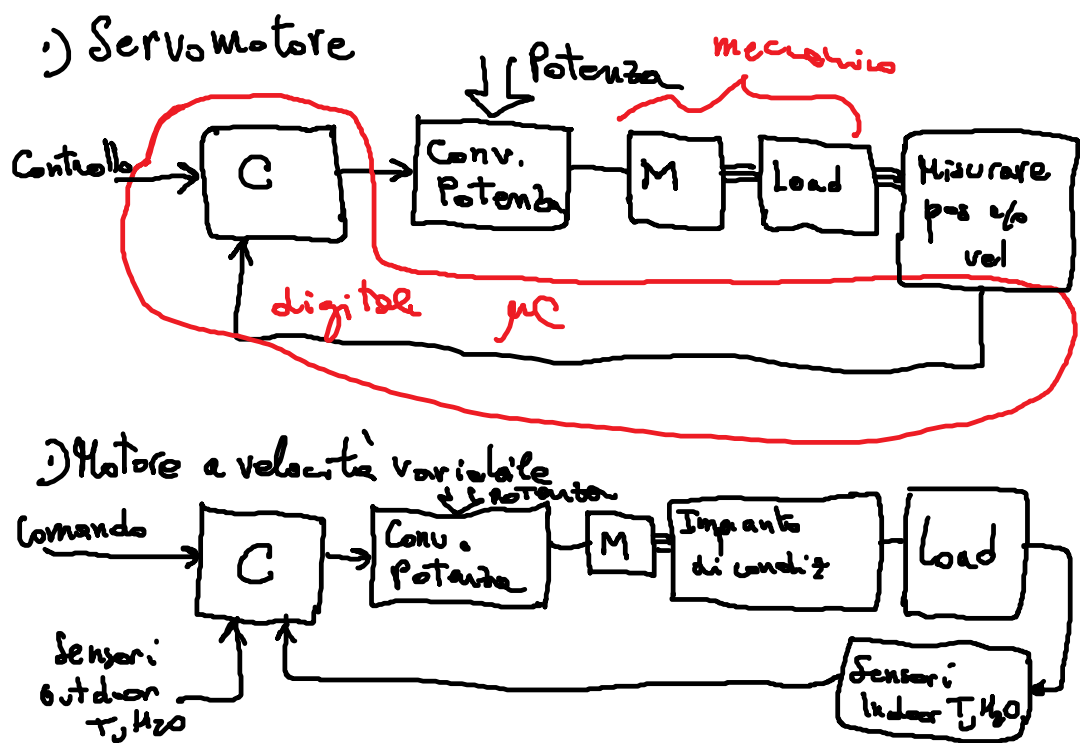
$$\text{Margine di guadagno} = \frac{\pi}{2}$$

	$k_p$	$\tau_i$	$\tau_d$
P	$1/A$		
PI	$0.9/A$	$3L$	
PID	$1.2/A$	$2L$	$L/2$

Controllabilità etc Pagina 91

# Sistema di controllo

18 May 2015 15:38



Motori DC Pagina 94

## Controllo di MOTORI

18 May 2015 15:32

$$\omega \div K_w$$

### 1) Servomotori

[Azionamenti meccanici; robotica industriale]

→ risposta veloce

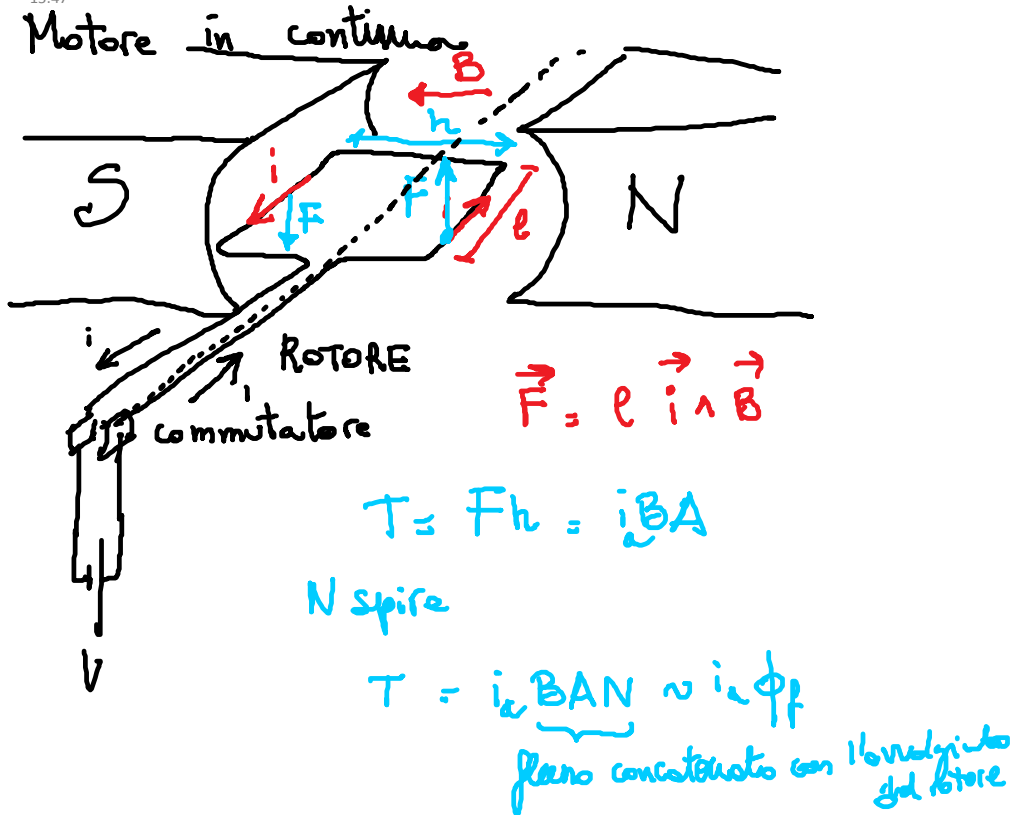
→ posizione e/o velocità precise

### 2) Motori a velocità variabile (es. impianto di condizionamento)

→ risposta lenta (il sistema è lento)

→ controllo di velocità

Motori DC Pagina 93



Motori DC Pagina 96

- › Motore in continua
- › Motore a induzione (asincrono)
- › Motore sincrono

## Potenza meccanica

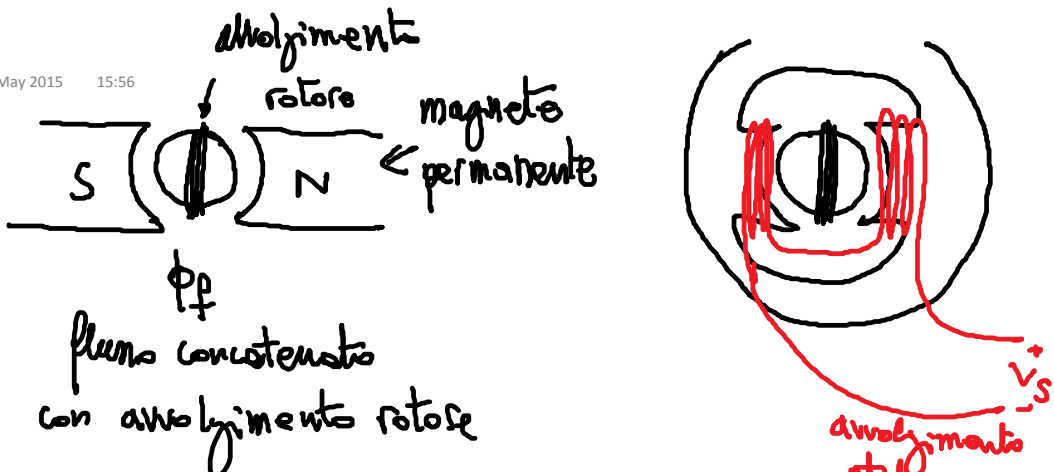
$$T_{em} \omega = k_T \phi_f i_a \omega$$

Potenza elettrica assorbita dal rotore

$$e_a i_a = \underbrace{k_e \phi_f \omega}_{e_a} i_a$$

in assenza di perdite  $k_T = k_e$  [Potenza elettrica  
" "  
Potenza meccanica]

in presenza di perditi  $k_T < k_e$



$$T_{em} = k_T \phi_f i_a$$

| costante di  
| coppia



(si può modulare  $\phi_f$ )

FORZA ELETTROMOTRICE INPUTTA  
SUL AVVOLGIMENTO DEL ROTORE

$$e_a \propto \frac{\phi_f \omega}{\text{costante di tensione}}$$

$$e_a = k_e \phi_f \omega$$

# Condizioni stazionarie

18 May 2015 16:14

$$\left\{ \begin{array}{l} T_{em} = k_T \phi_f I_a \\ E_a = k_e \phi_f \omega \end{array} \right.$$

$$V = R_a I_a + E_a$$

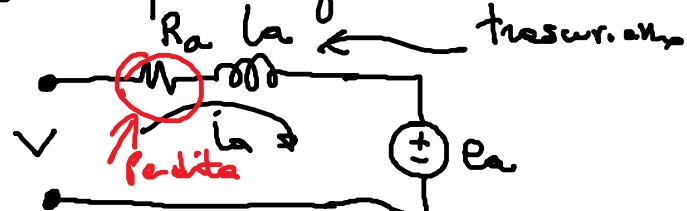
$$V = \frac{R_a T_{em}}{k_T \phi_f} + k_e \phi_f \omega$$

$$\omega = \frac{1}{k_e \phi_f} \left[ V - \frac{R_a T_{em}}{k_T \phi_f} \right]$$

Motori DC Pagina 100

18 May 2015 16:07

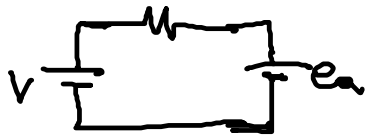
circuito eq. analogo del rotore



a volte del commutatore



a monte del commutatore



$$\cdot V = R I_a + E_a$$

*Perdite*

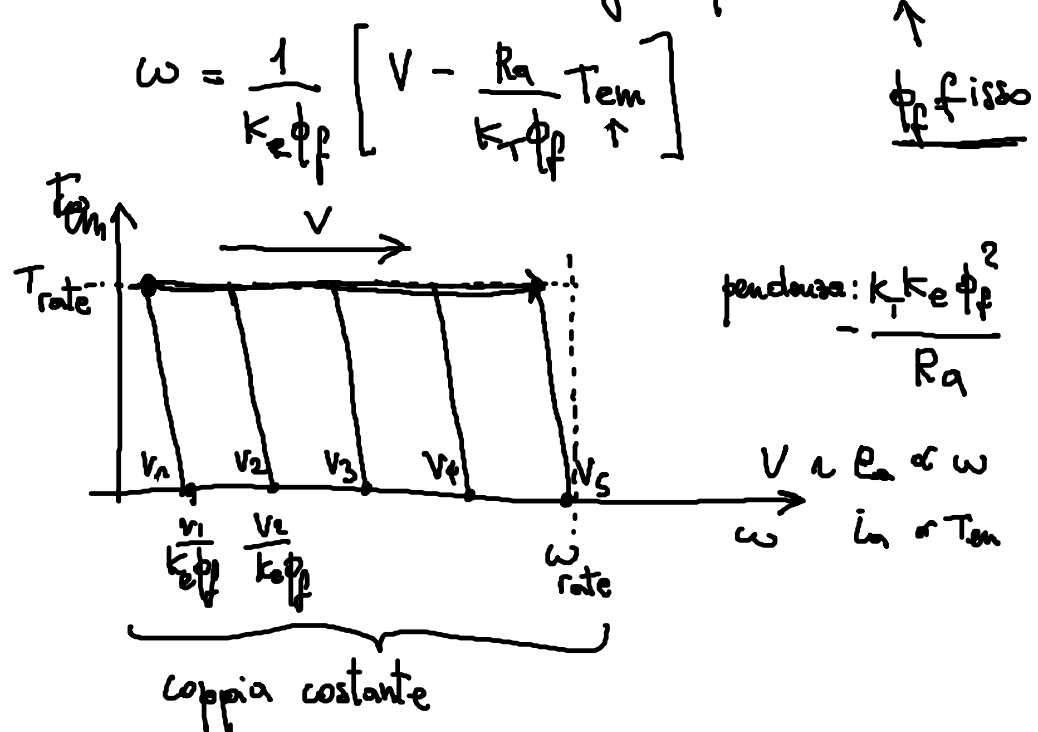
*attivo*

$$T_{em} = T_w + B \omega + J \ddot{\omega}$$

$\uparrow$  coppia trasmessa  
dinamico

$\uparrow$  momento dinamico

# Motore in continua con magneti permanenti



## FRENATA

$$V = R_a I_a + E_a$$

poniamo  $\omega > 0$   $E_a > 0$

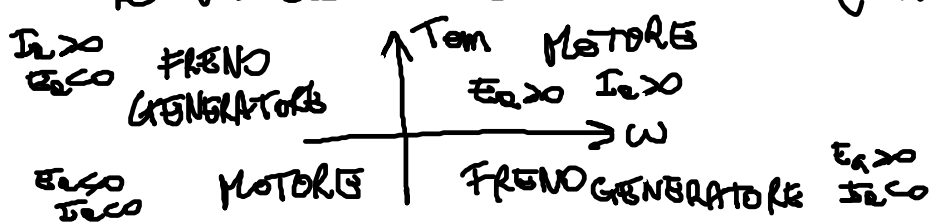
se  $V > E_a \rightarrow I_a > 0$  MOTORE ( $T_{em} > 0$ )

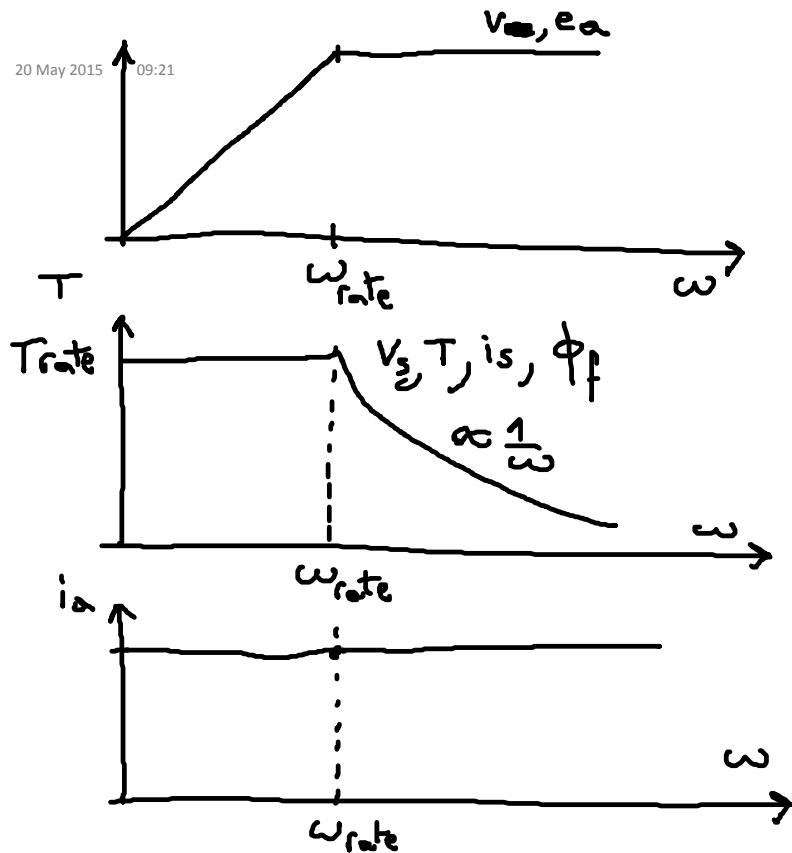
se  $V < E_a \leftarrow I_a < 0$  FRENO ( $T_{em} < 0$ )

se  $\omega < 0$   $E_a < 0$

se  $V < E_a \rightarrow I_a < 0$  MOTORE ( $T_{em} < 0$ )

se  $V > E_a \rightarrow I_a > 0$  FRENO ( $T_{em} > 0$ )



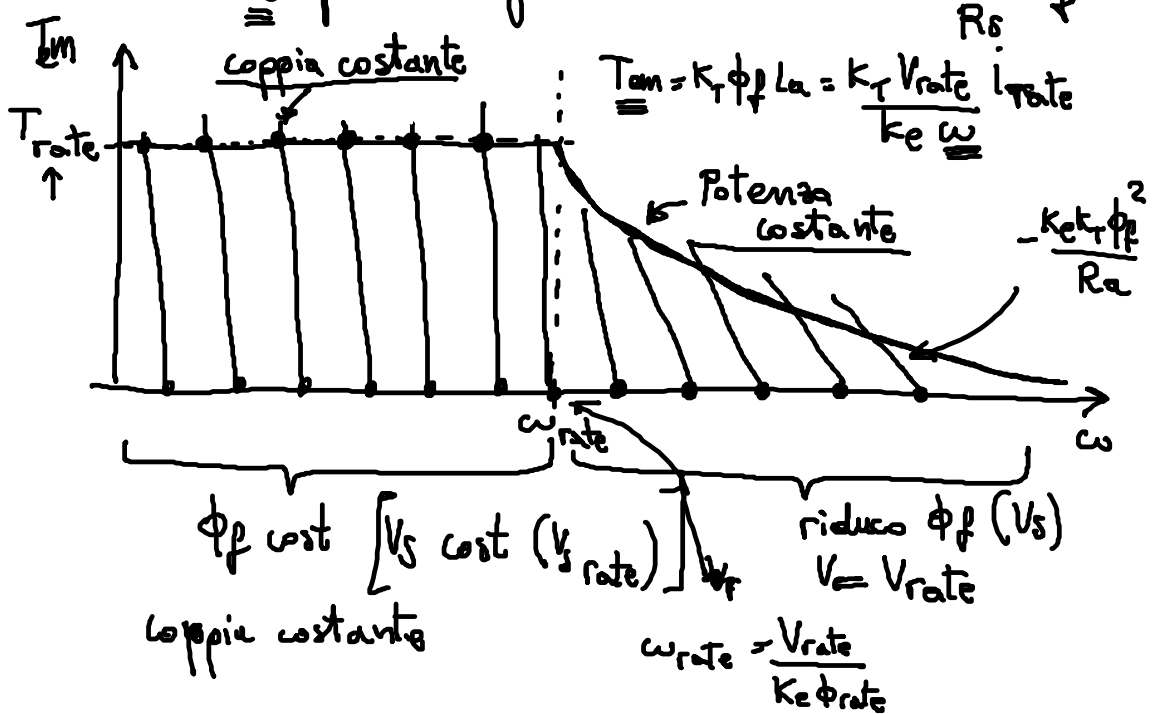


Motori DC Pagina 104

### Motore con eccitazione indipendente

20 May 2015 09:10

- $\mathcal{T}$  per il rotore:  $i_{av} \leftarrow$  (avvolgimento di armatura)
- $V_s$  per l'avvolgimento di statore:  $i_s = \frac{V_s}{R_s} \phi_f^*$



Motori DC Pagina 103

$$\omega_m = \frac{V}{(R_a + L_a s)(J_S + B) + k_T \phi_f^2} \dots$$

2 poli  
nessuno zero

approx:  $B \approx 0$

$$\frac{L_a}{R_a} = \tau_e \quad \frac{\omega_m}{V} = \frac{k_T \phi_f}{R_a [1 + \tau_e s] J_S + \frac{k_T \phi_f^2}{R_a}}$$

$$= \frac{k_T \phi_f}{k_e k_T \phi_f^2 [(1 + \tau_e s) R_a J_S + 1]} \quad \text{circled } k_e k_T \phi_f^2$$

$$= \frac{k_T \phi_f}{k_e k_T \phi_f^2 [(1 + \tau_e s) \tau_m s + 1]} \quad \text{circled } \tau_m$$

### Modello di pilolo segnale

$$V = (R_a + L_a s) i_a + e_a$$

$\uparrow$        $\uparrow$   
 $k_e \phi_f \omega_m$



$$T_{em} = k_T \phi_f i_a = T_w + J \omega_m s + B \omega_m$$

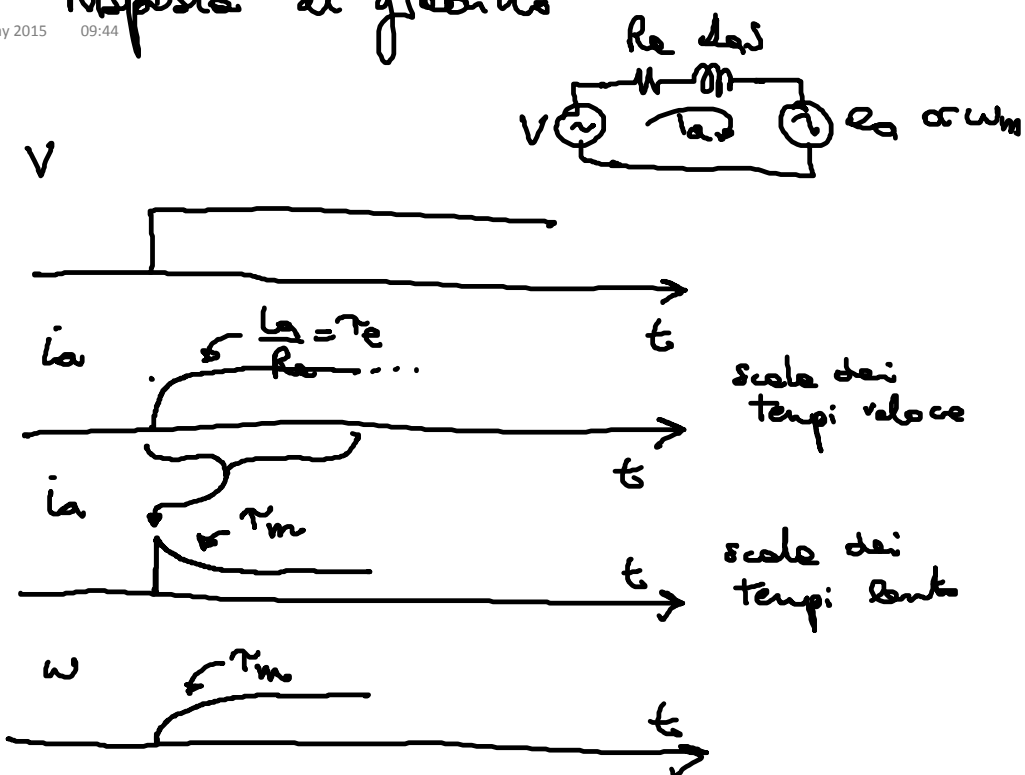
$$i_a = \frac{T_w + J \omega_m s + B \omega_m}{k_T \phi_f}$$

$$V = \frac{(R_a + L_a s)(T_w + J \omega_m s + B \omega_m)}{k_T \phi_f} + k_e \phi_f \omega_m$$

$$\omega_m \left\{ \frac{(B + J_S)(R_a + L_a s)}{k_T \phi_f} + k_e \phi_f \right\} = V - \frac{T_w(R_a + L_a s)}{k_T \phi_f}$$

# Risposta al gradino

20 May 2015 09:44



Motori DC Pagina 108

20 May 2015 09:40

$$\tau_e = \frac{L}{R}$$

$\underbrace{\qquad\qquad\qquad}_{\text{costante di tempo elettrica}}$

$$\tau_m = \frac{R_a J}{k_e k_T \phi_p^2}$$

$\underbrace{\qquad\qquad\qquad}_{\text{costante di tempo meccanica}}$

nelle pratiche  $\tau_m \gg \tau_e$

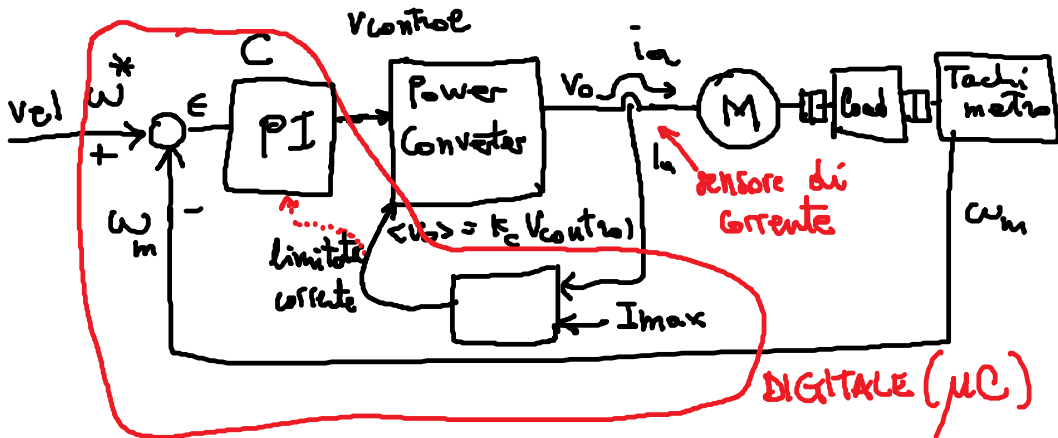
$$\frac{\omega_m}{V} = \frac{1}{k_e \phi_p [(1 + \tau_e s) \tau_m s + 1]} \sim \frac{1}{k_e \phi_p (1 + \tau_e s)(1 + \tau_m s)}$$

$\begin{matrix} + \tau_e s \\ \equiv \end{matrix}$  2 poli REALI  
Molto separati

Motori DC Pagina 107

# Sistema di controllo

20 May 2015 09:49



Motori DC Pagina 110

## Requisiti del convertitore DC-DC

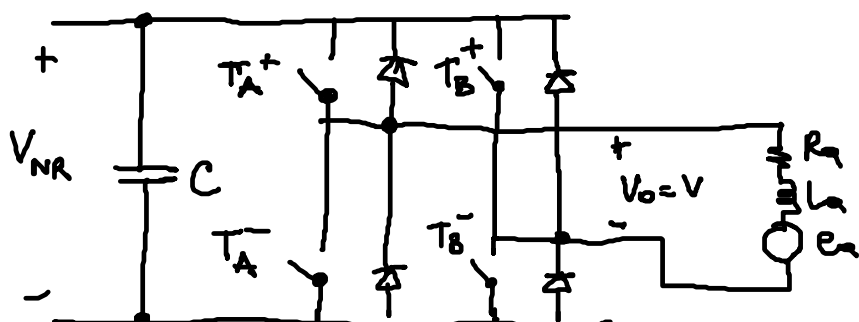
20 May 2015 09:49

→ 4 quadranti  $v \geq 0$   
 $i_a \geq 0$

→ → controllo delle correnti

→ tensione  $v$  lineare con la tensione di controllo

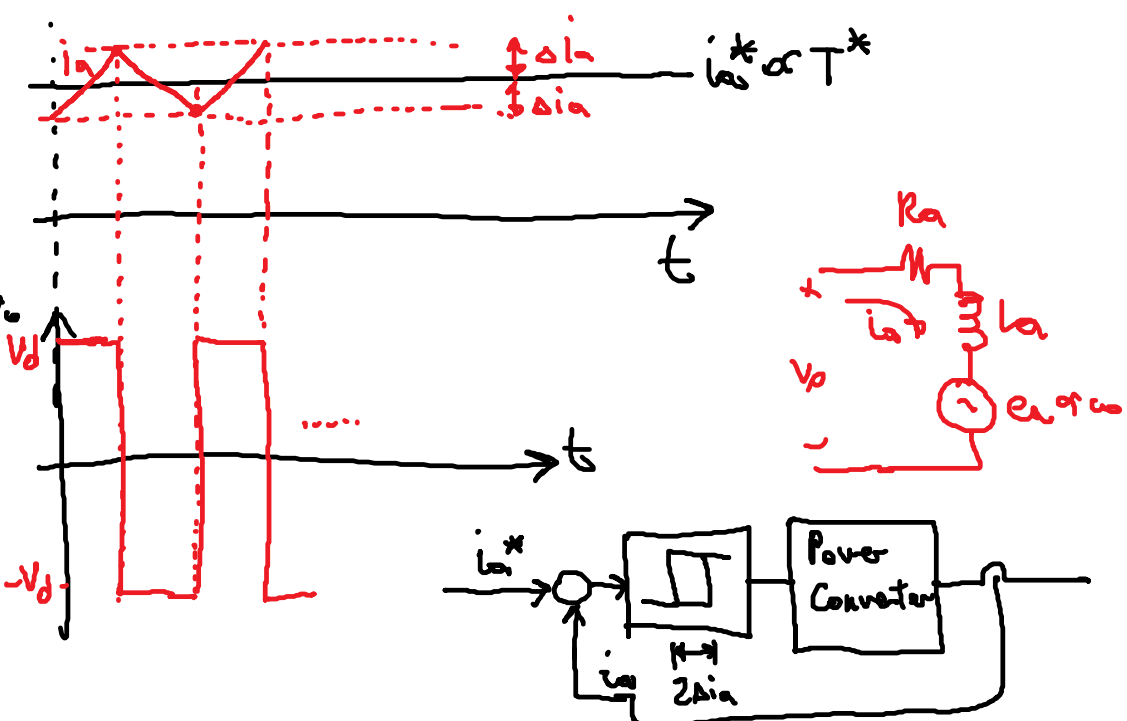
## FULL BRIDGE



$$\langle v \rangle = V_{control} \left( \frac{V_{NR}}{V_{max}} \right) = k_c V_{control}$$

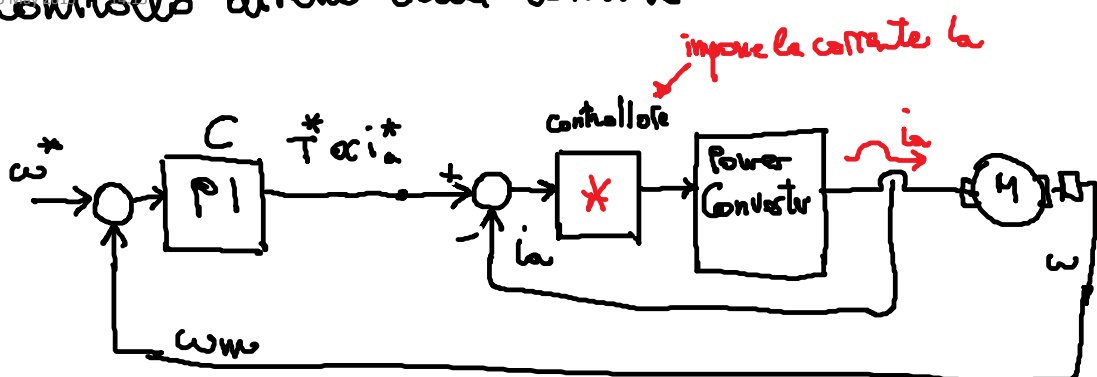
Motori DC Pagina 109

## Tolerance band



Motori DC Pagina 112

## Controllo diretto della corrente



Torre Koppin

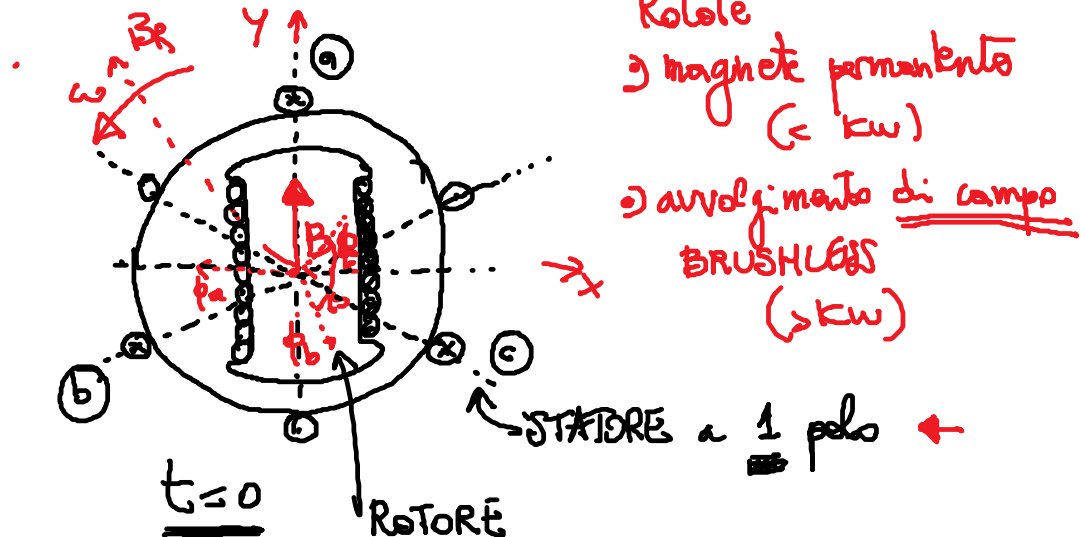
- \* ↗ 1) Tolerance band (Bordi di tolleranza)
- \* ↗ 2) Controllore a frequenza fissa

Motori DC Pagina 111

# Motore SINCRO

25 May 2015 14:36

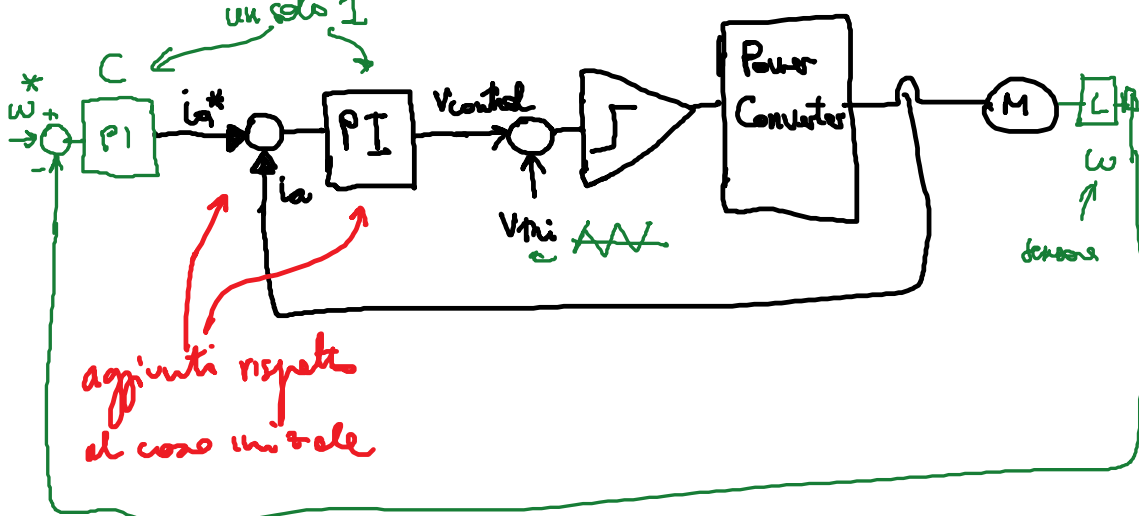
- o servomotori
- o motori a velocità variabile



Motore Sincrono Pagina 114

25 May 2015 14:27

**Controllo a Frequenza fissa**



Motori DC Pagina 113

$$+ \frac{B}{2} \sin(\omega t + \delta) \cos\left(\frac{4}{3}\pi\right) + \frac{B}{2} \cos(\omega t + \delta) \sin\left(\frac{4}{3}\pi\right)$$

Motore Sincrono Pagina 116

Avvolgimenti di statora (di armatura)

25 May 2015 14:45

$i_a, i_b, i_c$  Terna di correnti trifase

$$i_a = \sqrt{2} I_a \sin(\omega t + \delta)$$

$$i_b = \sqrt{2} I_a \sin\left(\omega t + \frac{2}{3}\pi + \delta\right)$$

$$i_c = \sqrt{2} I_a \sin\left(\omega t + \frac{4}{3}\pi + \delta\right)$$

CAMPO MAGNETICO RISULTANTE

direzione  $x$  (componente  $x$ ) [  $B$  amp. campo magnetico di  $\text{m}$  ]

$$B_{Rx} = \underbrace{-B \sin(\omega t + \delta)}_a + \underbrace{\frac{1}{2} B \sin\left(\omega t + \frac{2}{3}\pi + \delta\right)}_b + \underbrace{\frac{1}{2} B \sin\left(\omega t + \frac{4}{3}\pi + \delta\right)}_c$$

$$B_{Rx} = -B \sin(\omega t + \delta) + \frac{B}{2} \sin\left(\omega t + \delta\right) \cos\left(\frac{2}{3}\pi\right) + \frac{B}{2} \cos\left(\omega t + \delta\right) \sin\left(\frac{2}{3}\pi\right)$$

Motore Sincrono Pagina 115

$\phi_{fa}$

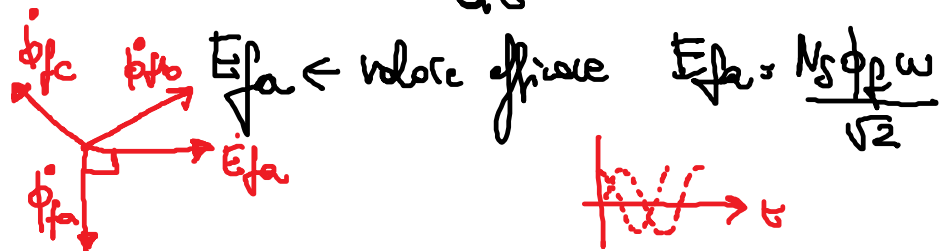
flusso del campo magnetico del ROTORE  
concatenato con l'avvolgimento di statorie ①

$$\phi_{fa} = \phi_f \sin \omega t$$

↑ ampiezza

$e_{fa}$  forza elettromotrice indotta sull'aw. ②

$$e_{fa} = N_s \frac{d\phi_{fa}}{dt} = N_s \phi_f \omega \cos \omega t$$



Motore Sincrono Pagina 118

$$B_{Rx} = -\frac{3}{2} B \sin(\omega t + \delta) \leftarrow$$

Componente ③

$$B_R = \underbrace{-\frac{\sqrt{3}}{2} B \sin\left(\omega t + \frac{2\pi}{3} + \delta\right)}_b + \underbrace{\frac{\sqrt{3}}{2} B \sin\left(\omega t + \frac{4}{3}\pi + \delta\right)}_c$$

$$B_{Ry} = -\frac{\sqrt{3}}{2} B \sin(\omega t + \delta) \cos \frac{2}{3}\pi - \frac{\sqrt{3}}{2} B \cos(\omega t + \delta) \sin \frac{2}{3}\pi$$

$$+ \frac{\sqrt{3}}{2} B \sin(\omega t + \delta) \cos \frac{4}{3}\pi + \frac{\sqrt{3}}{2} B \cos(\omega t + \delta) \sin \frac{4}{3}\pi$$

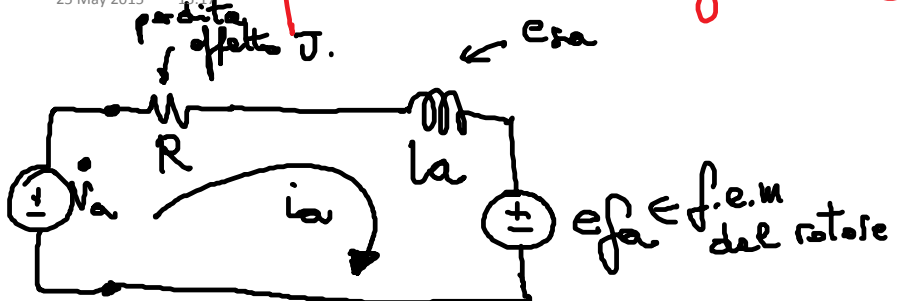
$$B_{Ry} = -\frac{3}{2} B \cos(\omega t + \delta)$$

velocità  
di giree  
 $\omega$   
ampiezza  $\left(\frac{3}{2} B\right)$

Motore Sincrono Pagina 117

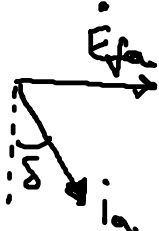
## Circuito equivalente dell'avvolgimento @

25 May 2015 15:17



$$P_{em} = i_A e_{fa} = I_a E_{fa} \cos\left(\frac{\pi}{2} - \delta\right) = \\ = I_a E_{fa} \sin(\delta) =$$

$$= \frac{I_a N_s \phi_f}{2} \omega \sin(\delta)$$



$$\text{MAX se } \delta = \frac{\pi}{2}$$

Motore Sincrono Pagina 120

$\phi_{sa}$  flusso del campo magnetico rotante concatenato con l'avvolgimento @

$$\rightarrow N_s \phi_{sa} = L_a i_a$$

$\hookrightarrow \frac{3}{2} L_F$  dell'avvolgimento @

$\approx$  comprende l'effetto dell'accoppiamento  
mutuo con Ⓛ e con Ⓜ

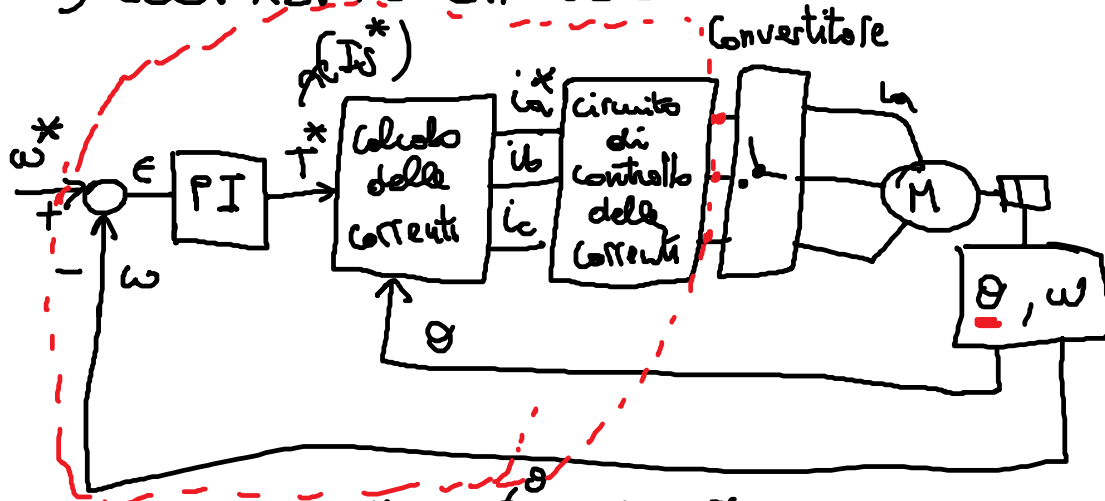
$e_{sa}$  forza e.m. molta sull'avvolgimento @

$$e_{sa} = N_s \frac{d\phi_{sa}}{dt} = L_a \frac{di_a}{dt}$$

Motore Sincrono Pagina 119

# Controllo di motore sincrono

## 3) ECCITAZIONE SINUSOIDALE



$$i_a^*(t) = I_S \sin(\omega t + \frac{\pi}{2}) = I_S \cos(\delta)$$

$$i_b^*(t) = I_S \sin\left(\omega t + \frac{\pi}{3} + 2\pi\right) = I_S \cos\left(\delta + \frac{2}{3}\pi\right)$$

Motore Sincrono Pagina 122

25 May 2015 15:24

$$\frac{P_{em}}{TOT} = \frac{3}{2} I_a N_s \phi_f \omega \sin \delta = T_{em} \omega$$

(su 3 avvolgimenti)

$$\bar{T}_{em} = \frac{3}{2} I_a N_s \phi_f \sin \delta \quad \text{NON DIPENDE DA LA VELOCITÀ}$$

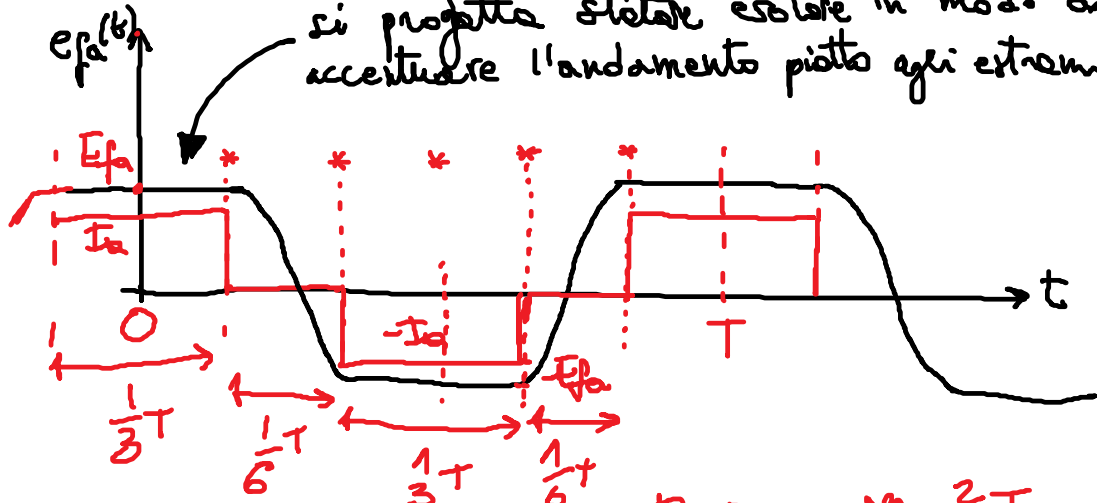
MAX se  $\delta = \frac{\pi}{2}$

Motore Sincrono Pagina 121

## 2) ECCITAZIONE TRAPEZOIDALE

25 May 2015 15:39

si progetta statore estere in modo da accettare l'andamento piatto agli estremi



$$P_{em}(t) = e_{fa}(t) i_a(t) \rightarrow E_{fa}^2 e \rightarrow P = \frac{2}{3} T$$

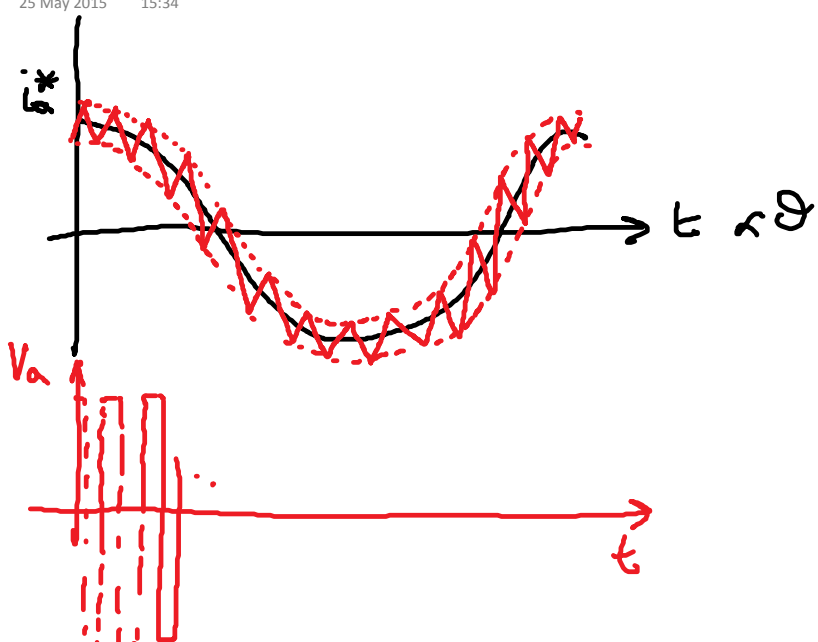
SOMMANDO UE 3 FASI  $\rightarrow P = \frac{1}{3} T$

$$P_{em-T}(t) = 2 E_{fa} I_a \quad \forall t$$

Motore Sincrono Pagina 124

## Controllo delle correnti con buone di tolleranza

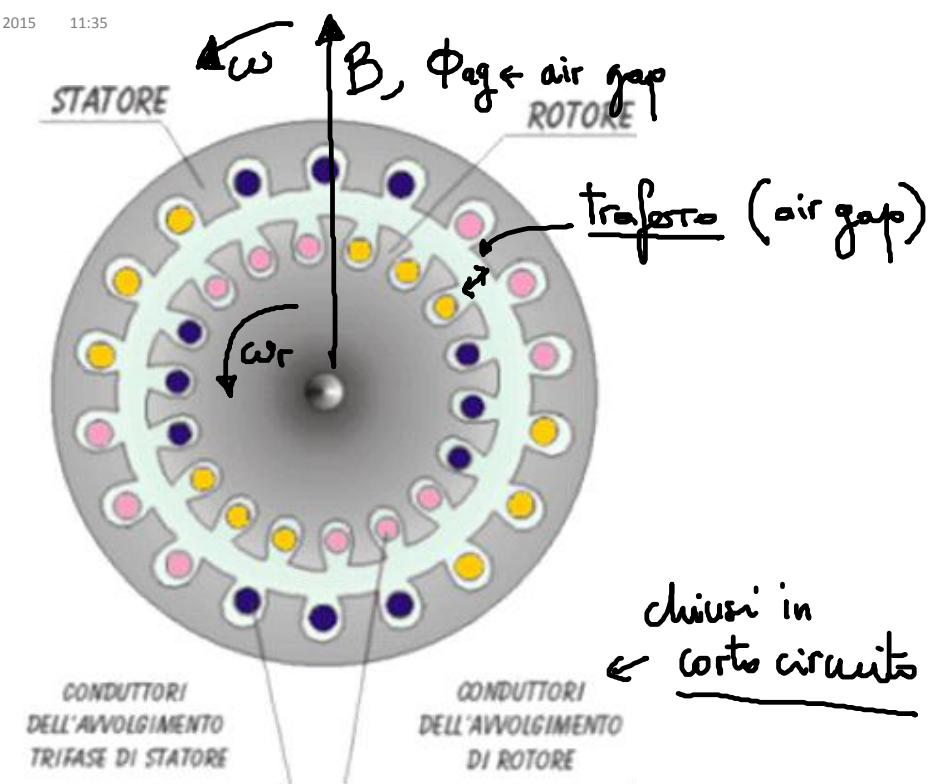
25 May 2015 15:34



Motore Sincrono Pagina 123

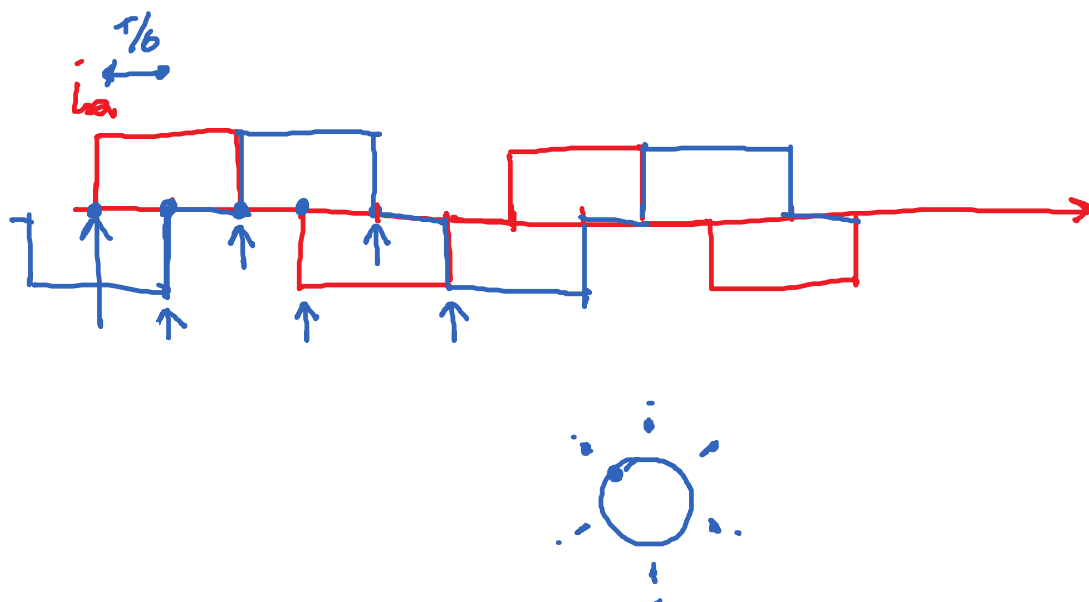
# Motore Asincrono (a induzione)

26 May 2015 11:35



Motore Asincrono Pagina 126

25 May 2015 15:55



Motore Sincrono Pagina 125

26 May 2015 11:53  
 $\omega$  velocità angolare di rotazione del campo magnetico di stator

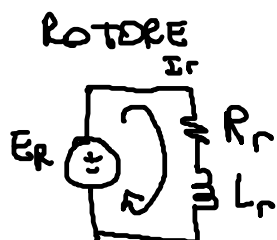
$\omega_r$  velocità angolare di rotazione del rotore

$\omega - \omega_r = \omega_{se}$  velocità (angolare) di slittamento (slipping)

flusso del campo magnetico attraverso l'avvolgimento del rotore

$$\phi_{ag}^{(b)} = \Phi_{ag} \sin(\omega_{se} t)$$

$$E_R = N_R \frac{d\phi_{ag}}{dt} = N_R \Phi_{ag} \omega_{se} \cos(\omega_{se} t)$$



$$\dot{E}_R = i_R [R_r + j\omega_{se} L_r]$$

Motore Asincrono Pagina 128

27 May 2015 08:50

$$N_s \phi_{ag} = L_m I_m$$

↑ ↑ ↗

numero di spire di un avvolgimento dello stator

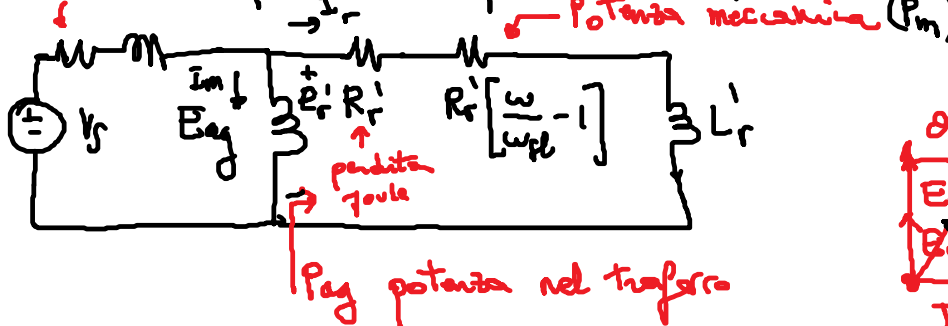
$$\begin{aligned} \phi_{ag} &= \Phi_{ag} \sin \omega t \\ \Phi_{ag} &= N_s \frac{d\phi_{ag}}{dt} = N_s \Phi_{ag} \omega \cos \omega t \\ &= L_m I_m \omega \cos \omega t \end{aligned}$$

f.e.m. indotta



Motore Asincrono Pagina 127

Circuito equivalente riportato sul primario  
27 May 2015 09:37



$$\theta = \arctg \left[ \frac{j\omega_{sl} L_r}{R_r} \right]$$

nella linea primaria  
 $\leftarrow \omega_r, \omega \quad \underline{\theta = 0}$

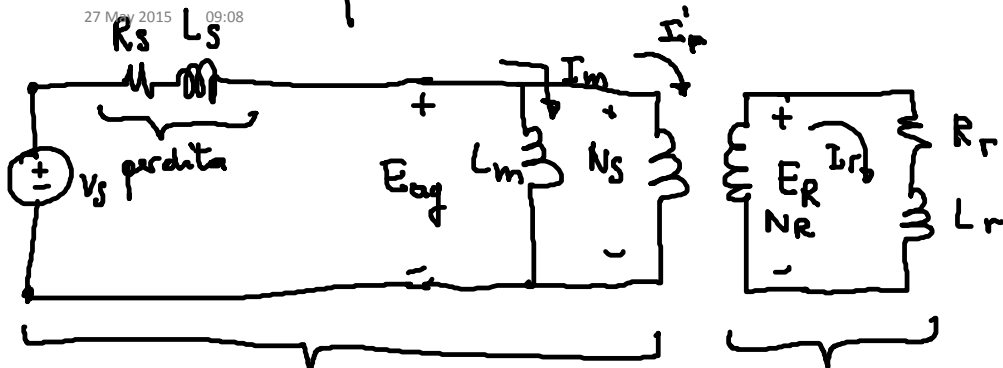
$$P_{ag} = E_{ag} I_r' \cos \theta$$

$$P_m = P_{ag} \frac{R_r' \left[ \frac{\omega}{\omega_{sl}} - 1 \right]}{R_r' \omega / \omega_{sl}} = P_{ag} \frac{\omega - \omega_{sl}}{\omega} \cdot P_{ag} \frac{\omega_r}{\omega}$$

Motore Asincrono Pagina 130

Circuito equivalente

27 May 2015 09:08

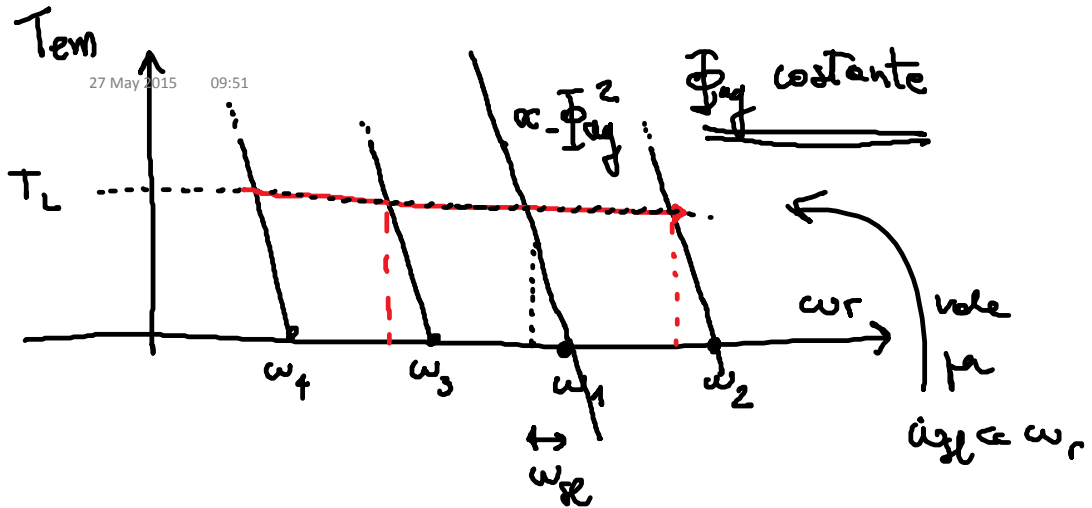


$$\text{rapporto spire } \alpha = \frac{N_r}{N_s} \quad \left[ \dot{E}_R = \dot{E}_{ag} \alpha \frac{\omega_{sl}}{\omega} \right]$$

$$\dot{E}_R = \dot{I}_R (R_r + j\omega_{sl} L_r) \quad \dot{I}'_R = \alpha \dot{I}_R$$

$$\dot{E}_{ag} \alpha \frac{\omega_{sl}}{\omega} = \frac{\dot{I}'_R}{\alpha} (R_r + j\omega_{sl} L_r) \Rightarrow \dot{E}_{ag} = \dot{I}'_R \left[ \frac{R_r \omega}{\alpha^2} + j\omega L_r \right]$$

Motore Asincrono Pagina 129



Pilotaggio a coppia costante  $\rightarrow \underline{\omega_{sl} \text{ costante}}$

$$V_S \approx E_{sq} = \omega \phi_{sq} \quad \underline{lg \alpha \omega^2 \omega_r}$$

Motore Asincrono Pagina 132

Dipendenze funzionali

27 May 2015 09:47

$$\rightarrow E_{sq} \propto \underline{\omega \phi_{sq}}$$

$$E_r = E_{sq} \frac{\omega_{sl}}{\omega} \propto \underline{\omega_{sl} \phi_{sq}}$$

$$P_{sq} \propto \omega \omega_{sl} \underline{\phi_{sq}^2}$$

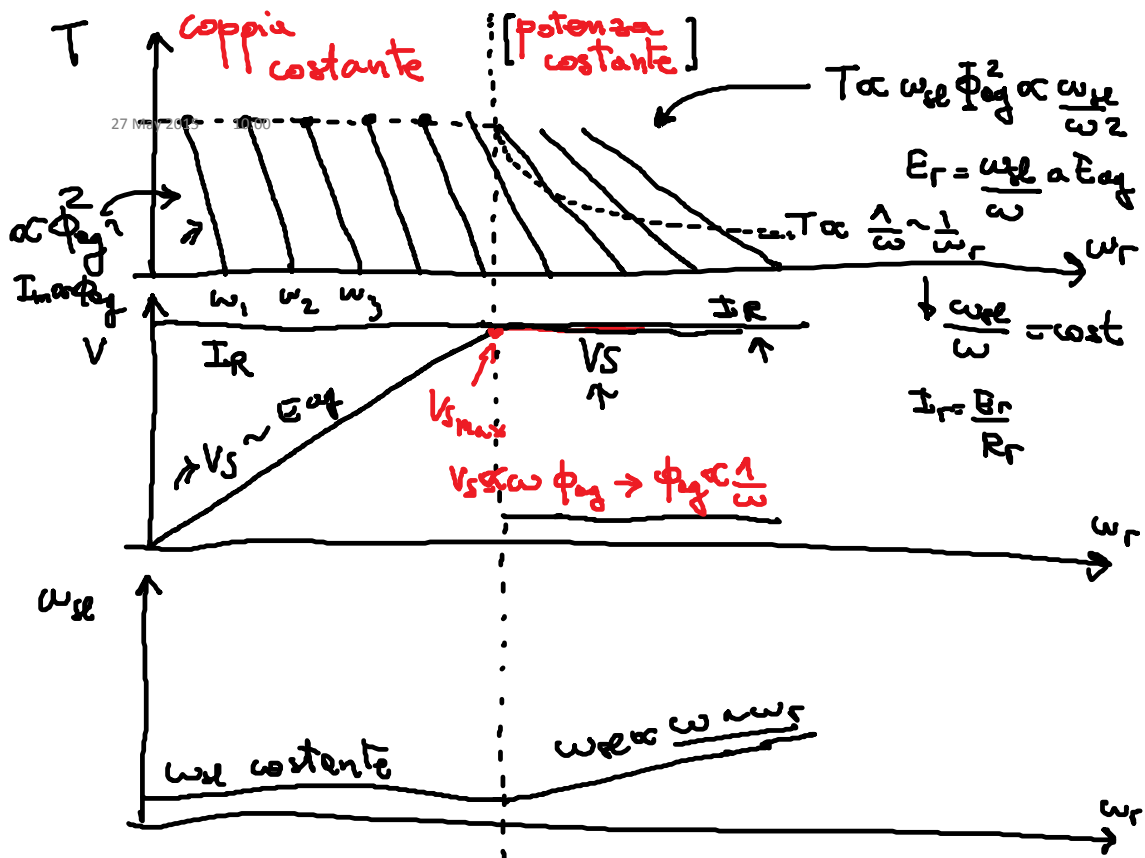
$$I_r \propto \underline{\omega_{sl} \phi_{sq}}$$

$$P_{em} = \frac{P_{sq} \omega_r}{\omega} \propto \underline{\omega_r \omega_{sl} \phi_{sq}^2}$$

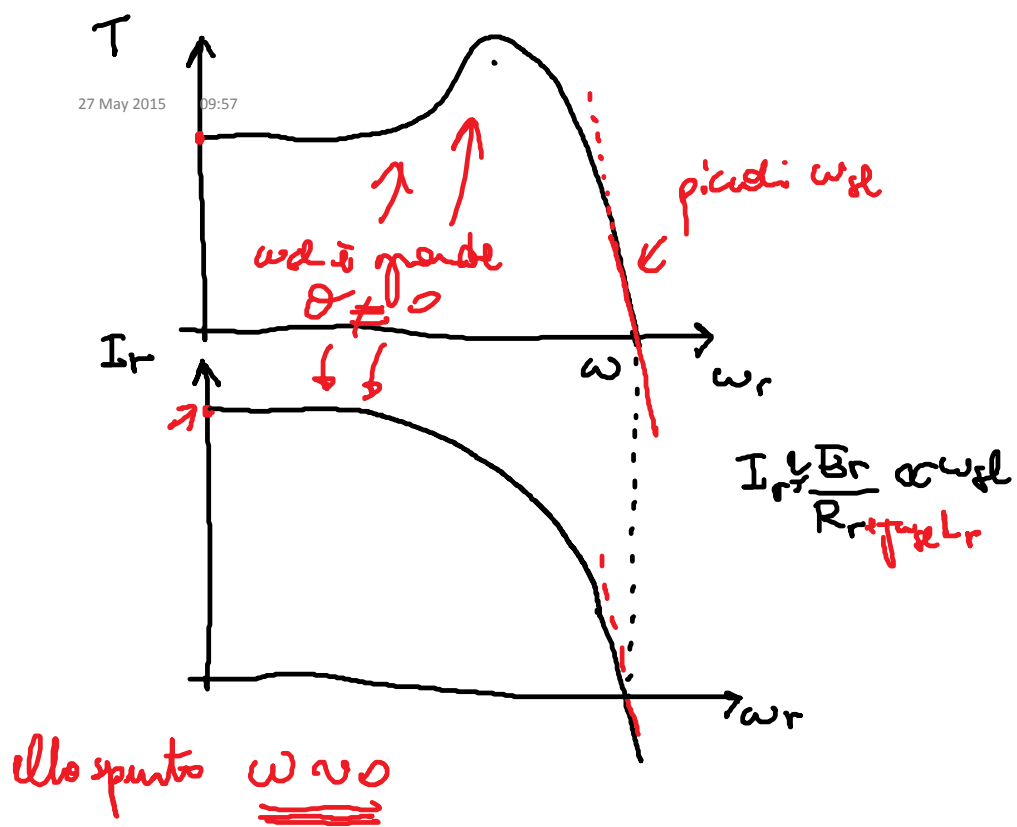
$$T_{em} = \frac{P_{em}}{\omega_r} \propto \underline{\omega_{sl} \phi_{sq}^2}$$

$$T_{em} = \frac{P_{sq}}{\omega}$$

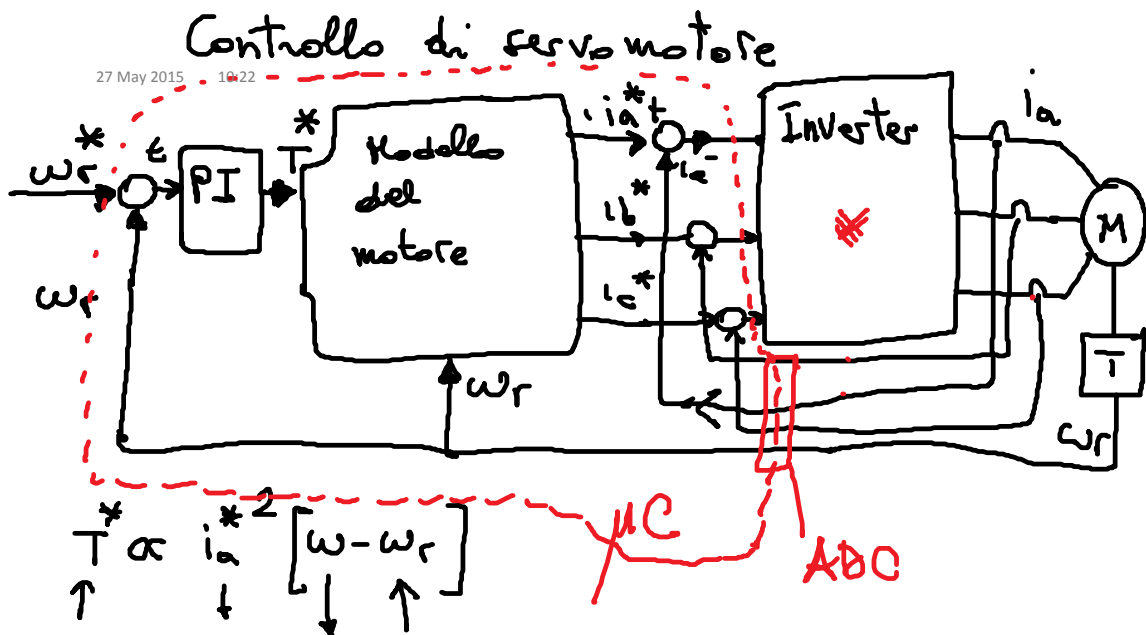
Motore Asincrono Pagina 131



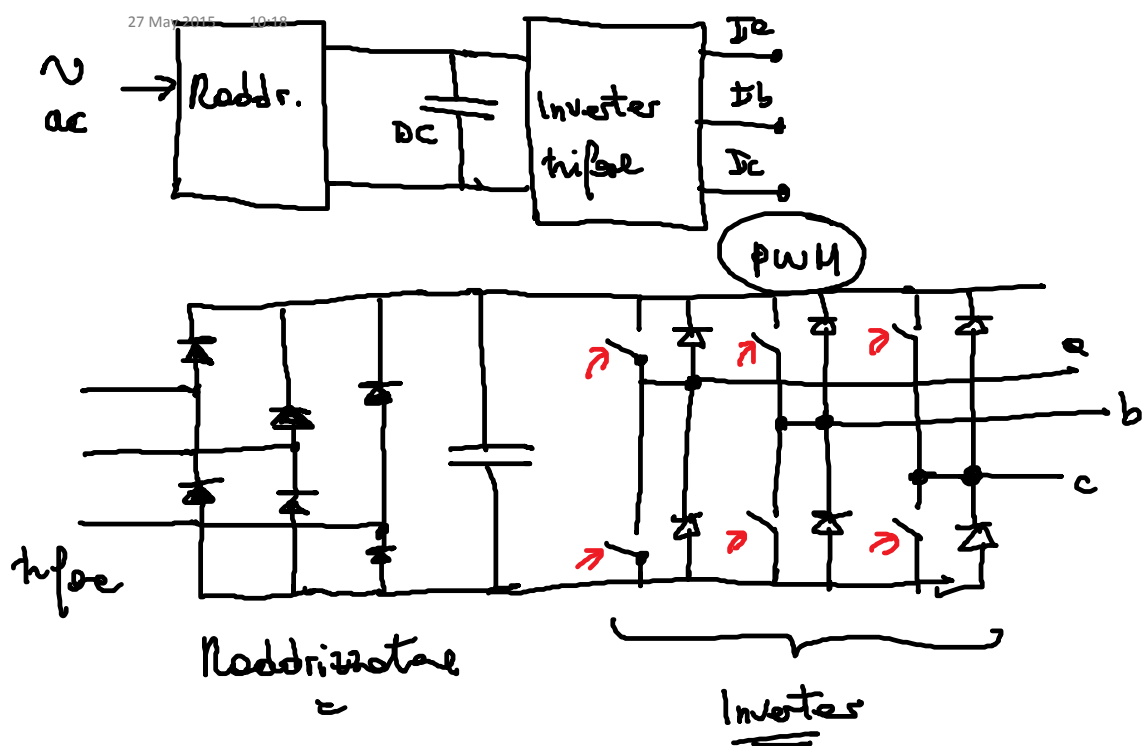
Motore Asincrono Pagina 134



Motore Asincrono Pagina 133



Motore Asincrono Pagina 136



Motore Asincrono Pagina 135